

ECOLE NATIONALE POLYTECHNIQUE

DEPARTEMENT : **genie civil**

المدرسة الوطنية المتعددة التقنيات
BIBLIOTHEQUE — المكتبة
Ecole Nationale Polytechnique

PROJET DE FIN D'ETUDES

SUJET

PONT A POUTRES

EN BETON

PRECONTRAIINT

4 PLANCHES

Proposé Par :
ENGOA

Etudié par :
A. TAGUINE

Dirigé par :
M. ZOUKH

PROMOTION : JUIN 1988

Dedicaces

A mon pere
A ma mere
A mes freres
A mes soeurs
A ma belle soeur
A mes beaux freres
A mes amis



Remerciements

Je tiens à remercier Monsieur ZOUKH, professeur à l'ENP pour ses conseils et sa présence durant toute la durée de l'élaboration de ce projet.

Je remercie également

A. Acharbou, F. Gani, Hamid, Mesbah
Belou et S. Djouadi.

A. TAGUINE

SOMMAIRE

	Introduction Présentation de l'ouvrage	
Chap I	Caractéristiques mécaniques des matériaux	1
Chap II	Caractéristiques géométriques de la poutre	4
Chap III	Calcul des efforts	8
Chap IV	Distribution des efforts dans les poutres	17
Chap V	Etude du plâtrage Etude de la poutre	18
Chap VI	Etude de la précontrainte	42
Chap VII	Pertes et chutes de tension	54
Chap VIII	Vérifications des contraintes normales	58
Chap IX	Vérifications des contraintes tangentes	64
Chap X	Vérification à la rupture	69
Chap XI	Etude de la zone d'about	73
Chap XII	Calcul des déformations	76
Chap XIII	Dimensionnement des appareils d'appuis	81
Chap XIV	Détermination des efforts horizontaux sur l'infrastructure	85
Chap XV	Vérification des appareils d'appuis	92
Chap XVI	Etude de la pile	95
Chap XVII	Etude de la culée.	104
Chap XVIII	Etude des fondations	116

INTRODUCTION ET PRESENTATION DE L'OUVRAGE

Le présent ouvrage dont je fais l'étude est un pont à poutres multiples en béton précontraint par post-tension. Il sera implanté à ANNABA. Il reliera ANNABA et BERRAHAL et permettra de desservir le village KHERRAZA.

Cet ouvrage est constitué de 2 travées. La longueur de la travée est 25,40 m. La largeur de la chaussée est 10,50 m, d'où on aura 2 voies de circulation de 3,50 m chacune et 2 trottoirs de 1,5 m de largeur chacun.

STRUCTURE DU PONT

Le tablier : Il est constitué par

Le platelage : forme d'un hourdis de 20 cm d'épaisseur recouvert d'une couche d'asphalte et d'une chape d'étanchéité d'épaisseur totale de 8 cm. L'hourdis étant coulé sur place et est prévu des barres d'armatures laissées en attente sur la table de la poutre pour la liaison poutre - dalle.

Poutraison : constitue le support du platelage et se compose de 6 poutres principales en béton précontraint d'entre axe 1,816 m

Les appuis

Les appuis sont constitués d'une pile et de 2 pile-culées. Ces éléments essentiels de l'ouvrage supportent les efforts transmis par le tablier et les transmettent à leur tour aux fondations.

Les fondations

Les résultats de l'étude du sol ont conduit à opter pour la solution des fondations profondes. Elles seront constituées par des pieux en béton armé de 1,20 m de diamètre forés dans le sol.

BETON

Le béton utilisé est en forme au CCBAGB. Le dosage est 400 kg/m³. La résistance nominale de compression est 270 bars.

Contrainte admissible de compression

$$\sigma'_b = \alpha \cdot \beta \cdot \gamma \cdot \delta \cdot \varepsilon \cdot \sigma'_{28} \quad \text{BA68 art. 9.4}$$

α : coefficient tenant compte de la vitesse de prise et par conséquent de la classe du ciment.

$$\alpha = 1 \quad \text{classe 325 du ciment}$$

β : coeff. dépendant de la nature du contrôle

$$\beta = 1 \quad \text{pour un contrôle strict}$$

γ : coeff. dépendant de l'épaisseur relative des éléments et de la grosseur des granulats

$$\gamma_{\max} = 1$$

δ : coeff. dépendant de la distribution de la contrainte dans la section étudiée.

$$\delta = 0,3 \quad \text{compression simple.}$$

$$\delta = 0,6 \quad \text{flexion simple.}$$

ε : coeff. dépendant de la forme de la section et de l'axe.

$$\varepsilon = 1 \quad \text{en compression simple quel que soit la forme de la section.}$$

$$\varepsilon = 1 \quad \text{en flexion simple pour les sections rectangulaires.}$$

D'où la contrainte admissible :

$$\overline{\sigma'_b} = 90b \quad \text{en compression simple.}$$

$$\overline{\sigma'_b} = 180b \quad \text{en flexion simple.}$$

Contrainte de reference de traction

$\bar{\sigma} = \alpha \cdot \beta \cdot \gamma \cdot \Theta \cdot \sigma'_{28}$ avec $\Theta = 0,018 + \frac{2,1}{\sigma'_{28}}$ art. 9.51.

Les coefficients α, β, γ ont meme signification que pour la compression

$\bar{\sigma}_b = 7,5 \text{ bars}$

ACIERS

Les aciers travaillent tout a la traction dans le beton arme. Dans le beton precontraint, ils ont un role de construction ou eventuellement de resistance aux excedant d'effort de traction repris par les cables.

Contrainte admissible de traction

$\bar{\sigma}_a = f \cdot \sigma_{en}$ σ_{en} : contrainte elastique nominale.

$f = \begin{cases} \frac{2}{3} & \text{pour les sollicitations du 1er genre} \\ 1 & \text{" " " " " 2eme genre.} \end{cases}$

Les aciers utilise sont des HA de classe FEF 40A

pour $\phi \leq 20 \text{ mm}$

$\sigma_{en} = 4200 \text{ kg/cm}^2$

$\bar{\sigma}_a = \frac{2}{3} \sigma_{en} = 2800 \text{ kg/cm}^2$

$\phi > 20 \text{ mm}$

$\sigma_{en} = 4000 \text{ kg/cm}^2$

$\bar{\sigma}_a = 2667 \text{ kg/cm}^2$

BETON PRECONTRAIT

Beton

Resistance nominale :

Compression: $\sigma'_n = \sigma'_{28} = 400 \text{ kg/cm}^2$

Traction: $\sigma_n = \sigma_{28} = 31 \text{ kg/cm}^2$

Contraintes admissibles

elles sont conformes aux dispositions de l'IP1

Compression

$\sigma_1 = \begin{cases} 0,42 \sigma'_n = 168 \text{ kg/cm}^2 & \text{au service} \\ 0,55 \sigma'_n = 220 \text{ kg/cm}^2 & \text{en construction} \end{cases}$

traction

$\bar{\sigma} = 0$

Module de déformation du béton

- Sous charge de courte durée: $E_L = 21000 \sqrt{f'_c} = 420000 \text{ kg/cm}^2$
- Sous charge de longue durée: $E_V = \frac{1}{3} E_L = 140000 \text{ kg/cm}^2$

Armature

La réalisation a recours au procédé DWVDAG. Les câbles utilisés sont de type FT15 TBR DWVDAG comportant 7 cordons. Ils sont tendus par les 2 extrémités (ancrage type actif-actif).
 Les caractéristiques données par les constructeurs sont:

Module d'élasticité	-----	$E_a = 21000 \text{ kg/cm}^2$
Contrainte de rupture garantie	-----	$R_g = 1830 \text{ kg/cm}^2$
Section utile d'un câble	-----	$w = 9,73 \text{ cm}^2$
Contrainte caractéristique de déformation garantie	-----	$T_g = 1615 \text{ kg/cm}^2$
Diamètre intérieur de la gaine	-----	$\phi_i = 6,0 \text{ cm}$
Diamètre extérieur de la gaine	-----	$\phi_e = 6,6 \text{ cm}$
Coeff. de frottement câble-gaine	-----	$f = 0,19$
Perte de tension relative / m	-----	$\psi = 0,018$
Rayon de courbure minimale du câble	-----	$R_{\min} = 500 \text{ cm}$
Relaxation à 1000 heures	-----	$\psi_{1000} = 0,03$
Relaxation à 3000 heures	-----	$\psi_{3000} = 0,036$

CHAPITRE II CARACTERISTIQUES GEOMETRIQUES DES POUTRES

chap II

Dimensionnement des poutres

Les conditions de dimensionnement à respecter pour la hauteur et l'épaisseur des poutres en béton précontraint ayant une l_{0m} sont :

$$\frac{l}{20} - 0,2 \leq h_t \leq \frac{l}{20} + 0,5 \quad [m]$$

Dans notre cas : $l = 25,4 m$ d'où $1,07 m \leq h_t \leq 1,77 m$

épaisseur de l'âme : $e \geq \frac{h_t}{10} + 9$

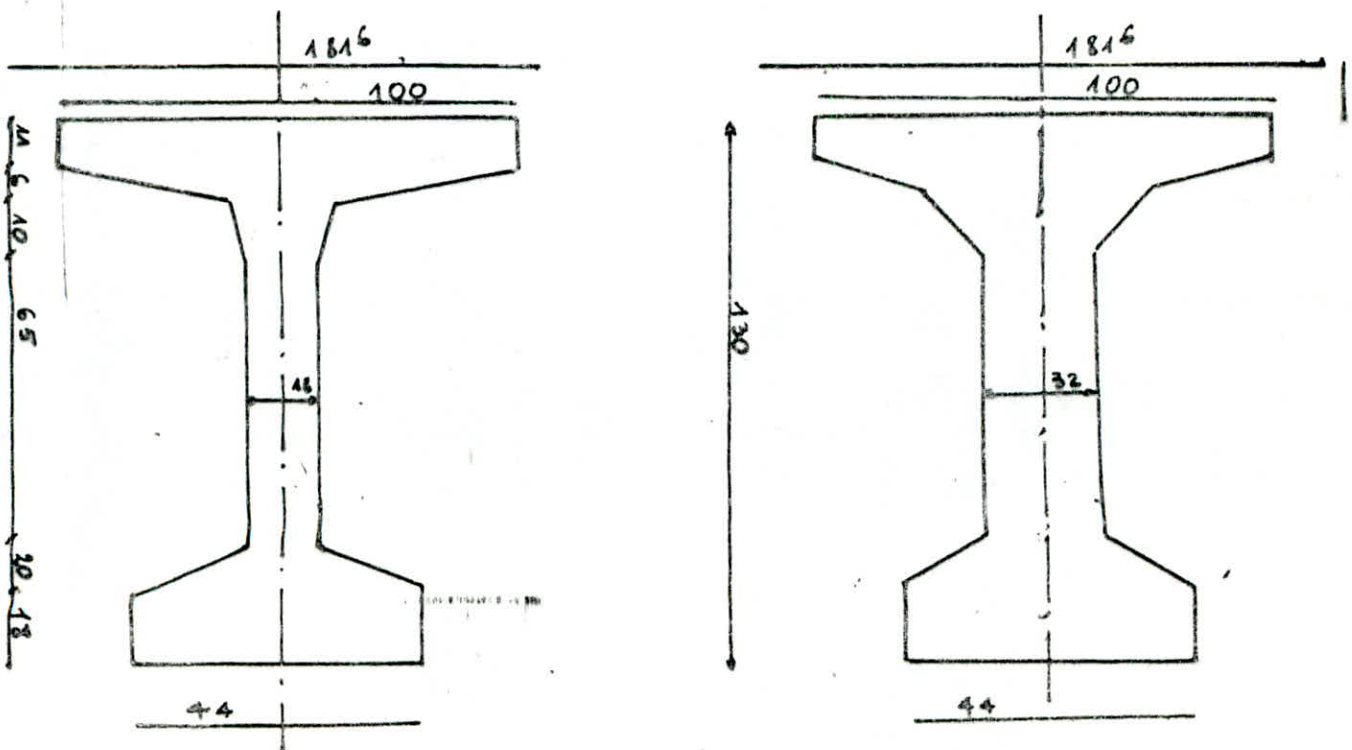
Les modèles métalliques existant au sein de l'entreprise et servant à la réalisation sont en harmonie avec les conditions sous-citées :

hauteur totale $h_t = 130 cm$
 largeur de la table $b = 100 cm$

Épaisseur de l'âme

• en travée $e = 18 cm$
 • à l'about $e = 32 cm$

Largeur de talon $b = 44 cm$



Caractéristiques des sections

On suppose que l'axe (O) passant par la fibre supérieure de la section coupe des et en appliquant les relations classiques des moments d'inerties et des moments statiques, on aura :

sections	POUTRE SEULE	
	mediane	about
B net (cm ²)	4152,2	5138,55
B brut (cm ²)	4376	5409
S net (cm ³)	227430,44	284850,4
PS brut (cm ³)	247206,99	309620
I net (cm ⁴)	20756693,58	19305560,25
I brut (cm ⁴)	23062092,81	21450622,5
Vs (cm)	54,70	55,44
Vc (cm)	75,30	74,56
I _G (cm ⁴)	8314656,72	9305560,25
I _z (cm ²)	1288,96	683,74
φ	0,31	0,16

Sections	POUTRE + DALLE	
	me diane	About
B brut (cm ²)	8008	9040,95
B net (cm ²)	7607,6	8588,9
S ₀ , brut (cm ³)	369186,88	454120
S ₀ , net (cm ³)	339651,93	417790,4
I ₀ , brut (cm ⁴)	35164659,16	42384096,83
I ₀ , net (cm ⁴)	31648193,63	38145687,15
V _s (cm)	44,65	48,64
V ₁ (cm)	105,35	101,36
I _g	16482734,96	17824361,69
α	2166,61	2075,26
ψ	0,46	0,42

Les 2 tableaux. avec decuts ont été calculés en ayant subdivisé chaque action (sans et avec dalle) en sections géométriques simples (rectangle ou triangle) et pour chacune d'elles, on applique les relations pertinentes et on fait la somme. Pour un rectangle dont la largeur est b et la hauteur est h, on a :

$$I_D = \frac{bh^3}{3}$$

$$S_D = \frac{bh^2}{2}$$

d'où : $I_D = S_D \cdot z'$
avec $z' = \frac{2}{3} h$

Pour les autres rectangles, on applique le théorème suivant

$$I_D = I_0 + B_0 \cdot z^2 \quad \text{avec} \quad \begin{array}{l} I_0: \text{moment d'inertie / c.d.g. du} \\ \text{rectangle ou triangle} \\ z: \text{distance de la section} \\ \text{considérée à l'axe (D)} \end{array}$$

Position du centre de gravité

$$v_s = \frac{S_D}{B}$$

$$v_k = h_k - v_s$$

$$I_G = I_D - S_D \cdot v_s$$

$$e = \frac{I_G}{B}$$

$$\varphi = \frac{e}{v_k \cdot v_s}$$

chap III

CALCUL DES EFFORTS

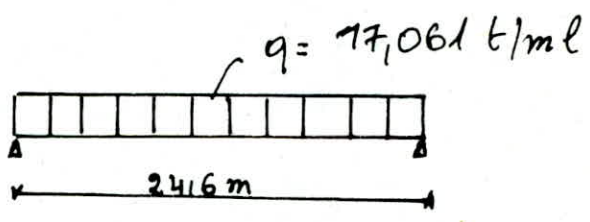
Calcul des efforts sous charge permanente G

poutre	$6 \cdot \frac{1}{2} (0,5409 + 0,4376) \cdot 2,5 \cdot 25,4 =$	186,404 t
dalle	$2,5 \cdot 10,5 \cdot 0,2 \cdot 25,4 =$	133,35 t
trottoirs + corniches	$2 \cdot 2,5 \cdot 25,4 \cdot 0,117 =$	52,927 t
Revetements	$700 \cdot 2,35 \cdot 0,08 \cdot 25,4 =$	37,426 t
glacis + garde-bords	$2 \cdot 0,15 \cdot 25,4 =$	7,62 t
entrebases	$5 \cdot 1,689 \cdot 25,4 =$	6,334 t

$G = 420,061 \text{ t}$

$q = \frac{G}{L} = \frac{420,061}{24,6} = 17,061 \text{ t/ml}$

Schema Statique



A une distance x :

$M_b(x) = q \frac{x}{2} (L - x)$
 $T_o(x) = q \left(\frac{L}{2} - x \right)$

Sections	0	48	144	348	"S"	242
$M_b \text{ (t.m)}$	0	565,12	968,78	1210,8	1276,72	1291,71
$T \text{ (t)}$	210,03	157,13	105,02	52,51	22,62	0

sous surcharge A

$A = a_1 a_2 A(L)$

$A(L) = 230 + \frac{36060}{L + 12}$

caractéristique du pont

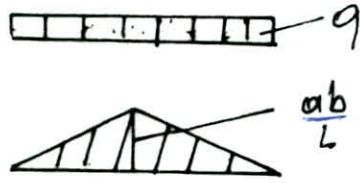
$l_1 = 7 \text{ m}$ l_2 : largeur route Ste

$N = \frac{E(l_1)}{s} = 27$ $n = 2$

$l_0 = \frac{7}{2} = 3,5 \text{ m}$ l_0 : largeur de la voie

le pont est de 1^{re} classe conformément au CPC du ministère des travaux publics fascicule 61 lettre II

Moment fleissant

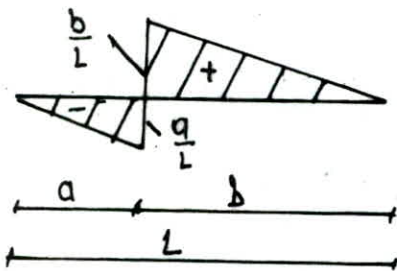


$$q = n \cdot A \cdot l_2$$

$$S = \frac{ab}{2}$$

$$M = qS$$

Effort tranchant
la ligne d'influence de l'effort tranchant pour une section distante de 'a' à partir de l'appui gauche



$$T = qS$$

$$q = n A l_2$$

$$S = \frac{b^2}{2L}$$

les résultats sont consignés dans ce tableau

SECTIONS		0	48	44	348	"S"	42
M (t.m)	1 voie	0	140,573	240,982	301,218	314,99	321,31
	2 voies	0	281,146	481,964	602,456	629,98	642,619
T (t)	1 voie	52,263	42,993	31,20	25,978	21,592	18,415
	2 voies	104,525	85,986	62,398	51,955	43,184	36,829

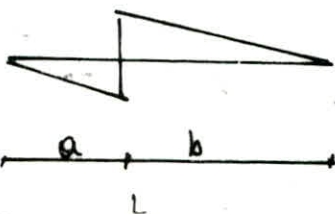
Surcharges de trottoirs

charge uniformément répartie $q = 0,15 \text{ t/m}^2$
 $q = 1,5 \cdot 0,15 = 0,225 \text{ t/ml}$ pour 1 trottoir charge.
 $q = 2 \cdot 1,5 \cdot 0,15 = 0,45 \text{ t/ml}$ pour 2 trottoirs charges.



$$S = \frac{a \cdot b}{2}$$

$$M = qS = q \frac{ab}{2}$$



$$S = \frac{b^2}{2L}$$

$$T = qS$$

Résultats numériques

Sections		0	48	4/4	3/8	1/2	2/2
M (t.m)	1 trot	0	3,19	12,765	15,957	16,684	17,019
	2 trot	0	6,381	25,53	31,914	33,37	34,039
T(t)	1 trot	2,767	2,12	1,557	1,08	0,9	0,697
	2 trot	5,535	4,239	3,114	2,161	1,8	1,383

Surcharge Bc

Le coefficient de majoration dynamique pour les ponts:

$$\delta = 1 + \frac{0,4}{1 + 0,2L} + \frac{0,6}{1 + 4 \frac{P}{S}}$$

$L = 24,6$ m
 P : poids total du tablier

S : surcharge maximale

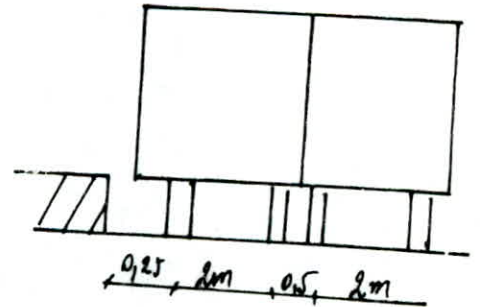
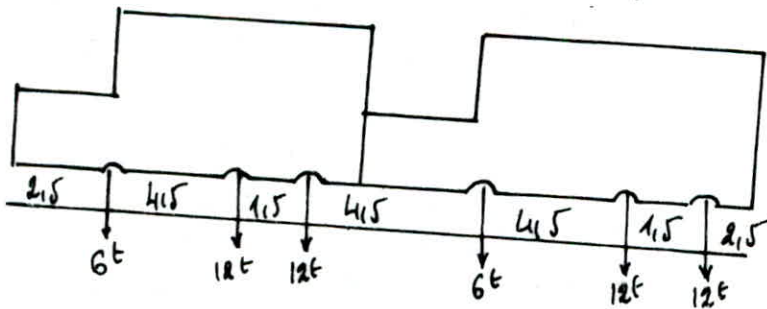
Pour 1 convoi:

$b_c = 1,2 \Rightarrow \delta = 1,04$

Pour 2 convois:

$b_c = 1,1 \Rightarrow \delta = 1,09$

On dispose dans le sens transversal autant de convois qu'il y a de voies de circulation sans le sens longitudinal le nombre de convois à disposer est limité à 2.



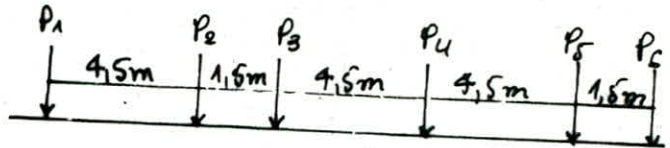
La charge P_k qui provoque le moment maximal répond à $\sum_{k=1}^n P_k \leq R/2 \leq \sum_{k=1}^n P_k$ où R est la résultante des charges $R = \sum_{k=1}^n P_k$

Détermination de la position de "s"

Pour cela considérons une file de voies de convoi Bc sur

Theoreme de Barre

Enonce du Theoreme : Le moment flechissant du aux charges mobiles sera maximum au droit d'une charge P_i lorsque cette charge et la resultant R de toutes les charges appliquees seront symetriques par rapport a l'axe de la travée.



P_1 :	$0 \leq 15 \leq 3$	non
P_2 :	$3 \leq 15 \leq 9$	non
P_3 :	$9 \leq 15 \leq 15$	OUI
P_4 :	$15 \leq 15 \leq 18$	OUI
P_5 :	$18 \leq 15 \leq 24$	non
P_6 :	$24 \leq 15 \leq 30$	non

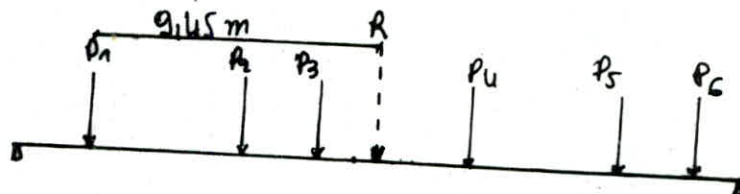
Les charges P_3 et P_4 peuvent produire le moment maximum.

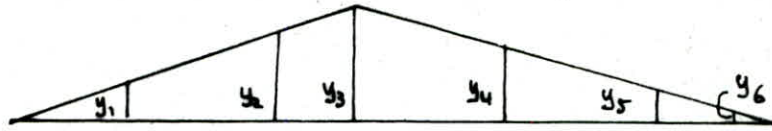
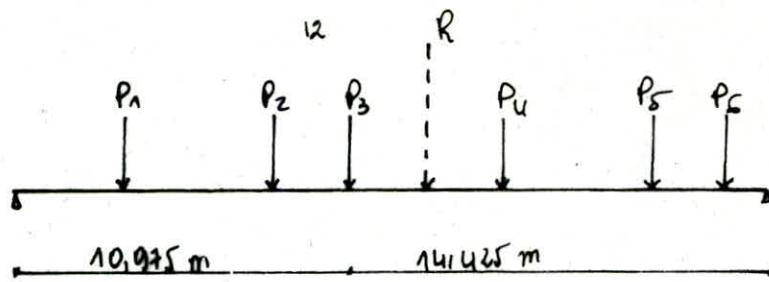
Cherchons le point d'application de la resultant R en prenant comme origine le point d'application de P_1 .

$$R \cdot x_R = \sum P_i \cdot x_i \quad \Rightarrow \quad x_R = \frac{1}{R} \sum P_i \cdot x_i$$

$$x = \frac{3 \cdot 0 + 6 \cdot 4,5 + 6 \cdot 6 + 3 \cdot 10,5 + 6 \cdot 15 + 6 \cdot 16,5}{30} = 9,45 \text{ m}$$

Plaçons les charges P_3 symétrique a la resultant R par rapport a la section médiane de la travée, et traçons la ligne d'influence du moment flechissant pour la section au droit de laquelle se situe P_3 .





$$\begin{aligned} y_1 &= 2,824 \\ y_2 &= 5,38 \\ y_3 &= 6,23 \\ y_4 &= 5,458 \\ y_5 &= 3,315 \\ y_6 &= 2,667 \end{aligned}$$

$$M = \sum P_i \cdot y_i \Rightarrow M = 119,58 \text{ t.m}$$

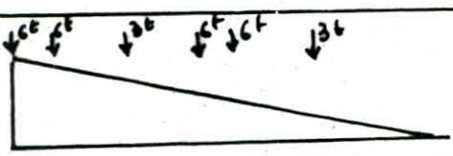
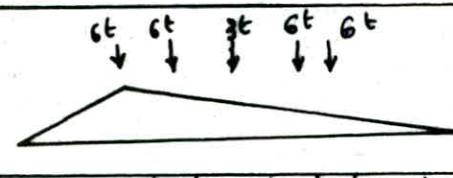
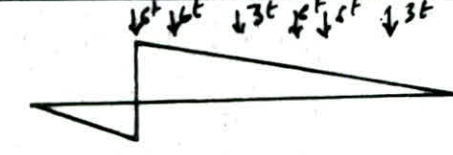
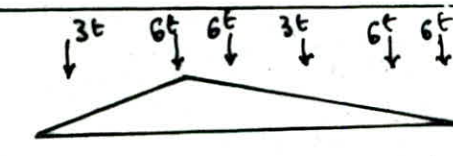
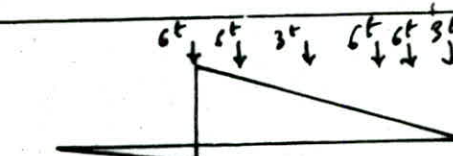
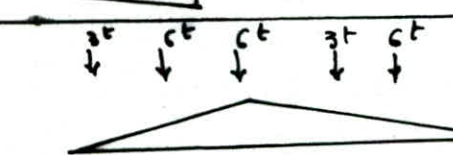
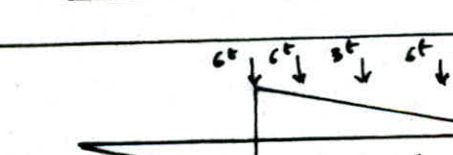
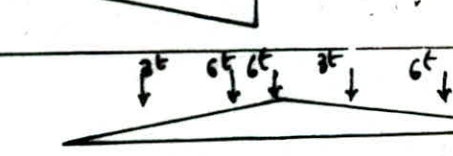
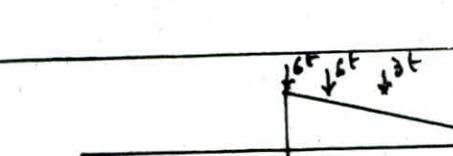
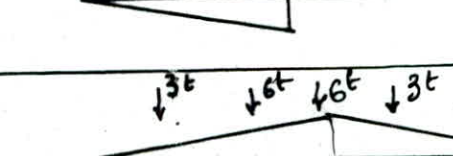
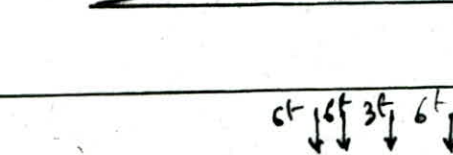
Pour P_4 , le moment obtenu est $M = 107,142 \text{ t.m}$. Donc la section dangereuse est sous P_3 et se trouve à une distance $10,975\text{ m}$ de l'appui gauche. Dans le tableau suivant, on résume les résultats obtenus ainsi que la disposition des charges comme pondantes et cela pour une file de roue B_c .

Moment flechissant

Le moment flechissant est maximum dans une section distante de a au droit de la charge P_n , en passant de gauche à droite de la section, vérifie les deux inégalités:

$$\left\{ \begin{aligned} \frac{1}{a} \sum_{i=1}^n P_i &> \frac{1}{b} \sum_{i=1}^n P_i \\ \frac{1}{a} \sum_{i=1}^{n-1} P_i &< \frac{1}{b} \sum_{i=1}^n P_i \end{aligned} \right.$$

Les résultats des moments flechissants maximums et les efforts tranchants au droit des différentes sections sont consignés dans le tableau suivant:

Section		Positions de favorables	Efforts
O	M		0
	T	 $y_1 = 1$ $y_2 = 0,041$ $y_3 = 0,764$ $y_4 = 0,581$ $y_5 = 0,521$ $y_6 = 0,35$	21,672 t
L/8	M	 $y_1 = 0$ $y_2 = 2,778$ $y_3 = 2,59$ $y_4 = 2,028$ $y_5 = 1,465$ $y_6 = 1,278$	54,75 t.m
	T	 $y_1 = 0,875$ $y_2 = 0,816$ $y_3 = 0,639$ $y_4 = 0,462$ $y_5 = 0,402$ $y_6 = 0,225$	17,922 t.m
L/4	M	 $y_1 = 4,387$ $y_2 = 4,762$ $y_3 = 4,387$ $y_4 = 3,262$ $y_5 = 2,737$ $y_6 = 1,762$	92,335 t.m
	T	 $y_1 =$ $y_2 =$ $y_3 =$ $y_4 =$ $y_5 =$ $y_6 =$	14,172 t
3L/8	M	 $y_1 = 2,203$ $y_2 = 5,016$ $y_3 = 5,953$ $y_4 = 4,265$ $y_5 = 2,778$ $y_6 = 2,016$	112,782 t.m
	T	 $y_1 = 0,625$ $y_2 = 0,556$ $y_3 = 0,389$ $y_4 = 0,212$ $y_5 = 0,152$ $y_6 = 0$	10,497 t
5/8	M	 $y_1 = 2,824$ $y_2 = 5,38$ $y_3 = 6,23$ $y_4 = 5,258$ $y_5 = 3,315$ $y_6 = 2,615$	119,58 t.m
	T	 $y_1 = 0,568$ $y_2 = 0,509$ $y_3 = 0,332$ $y_4 = 0,154$ $y_5 = 0,095$ $y_6 = 0$	8,952 t
L/2	M	 $y_1 = 3,35$ $y_2 = 5,6$ $y_3 = 6,35$ $y_4 = 4,1$ $y_5 = 1,85$ $y_6 = 1,1$	111,75 t.m
	T	 $y_1 = 0,5$ $y_2 = 0,441$ $y_3 = 0,264$ $y_4 = 0,087$ $y_5 = 0,027$ $y_6 = 0$	7,122 t

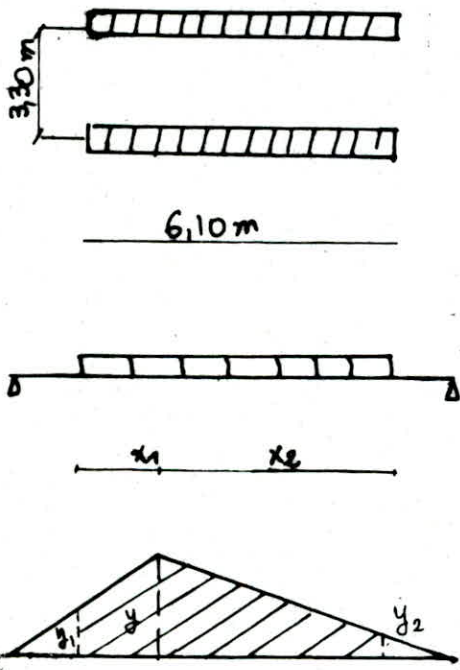
Dans le tableau suivant, on résume les efforts obtenus pour les différents cas de chargement (les résultats sont pondérés et majorés)

$$M = \delta \cdot b_c \cdot M_{\max}$$

$$T = \delta \cdot b_c \cdot T_{\max}$$

	Sections	0	L18	L14	3L18	6'	L12
160x101 $\delta = 1,04$ $b_c = 1,2$	M (t.m)	0	136,66	230,22	287,50	298,47	278,93
	T (t)	54,09	44,73	35,37	26,20	22,34	17,78
260x265 $\delta = 1,09$ $b_c = 1,1$	M (t.m)	0	262,58	442,36	540,90	573,51	535,75
	T (t.m)	108,94	88,95	67,97	50,34	42,93	34,16

Surcharge Militaire



$$q = \frac{110}{6,1} = 18,033 \text{ t/ml}$$

$$\delta = 1,03$$

$$s = \left(\frac{y_1 + y_2}{2} \right) \cdot x_1 + \frac{y_1 + y_2}{2} \cdot x_2$$

$$y = \frac{a \cdot b}{L} \quad y_1 = \frac{a - x_1}{a} \cdot y$$

$$y_2 = \frac{b - x_2}{b} \cdot y$$

$$d = x_1 + x_2$$

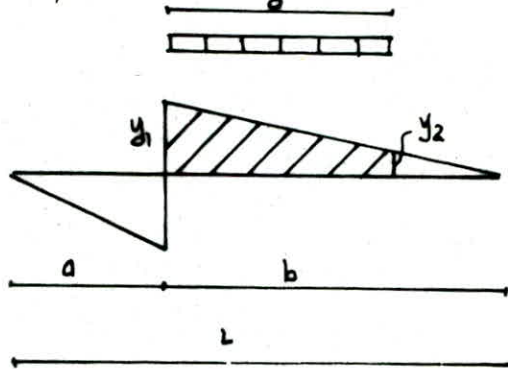
$$s \text{ max} \Rightarrow y_1 = y_2 \Rightarrow \frac{a - x_1}{a} = \frac{b - x_2}{b} \Rightarrow b x_1 = a x_2$$

$$\text{On détermine } x_1 \text{ et } x_2 \text{ à partir de } \begin{cases} b x_1 - a x_2 = 0 \\ x_1 + x_2 = d \end{cases}$$

On trouve $x_1 = a \frac{d}{L}$; $x_2 = b \frac{d}{L} \Rightarrow y_1 = y_2 = \frac{ab}{L} \left(1 - \frac{d}{L}\right)$

$R_{max} = \frac{ab}{L} d \left(1 - \frac{d}{L}\right)$ et $M_{max} = \delta q R_{max}$

Pour l'effet tranchant



$y_1 = \frac{b}{L}$ $y_2 = \frac{b \cdot d}{L}$

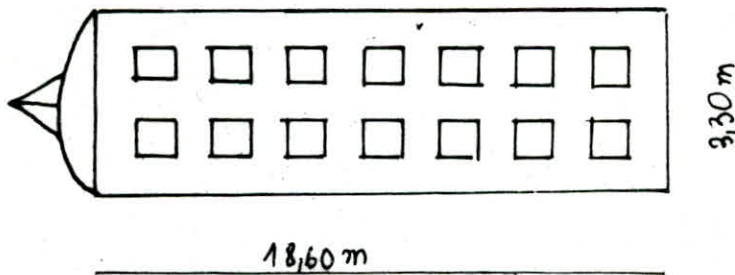
$S_{max} = \frac{d}{L} \left(b - \frac{d}{2}\right)$

$T_{max} = q S_{max}$

Tableau récapitulatif de moments flechissants et des efforts tranchants :

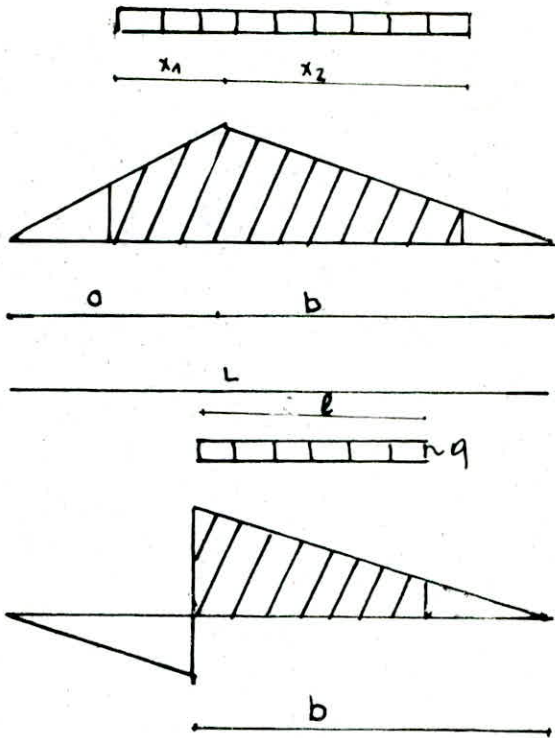
		0	4/8	4/4	32/8	25''	4/2
δ = 1,103	M (t.m)	0	296,598	508,458	635,568	665,432	674,94
	T (t)	0	91,596	76,429	61,263	54,336	46,096

Surcharge exceptionnelle Δ



$S = 240t$

$q = 12,903 t/mL$



$$\sigma_{\max} = \frac{abl}{L} \left(1 - \frac{l}{2L}\right)$$

$$M_{\max} = q \sigma_{\max}$$

$$\sigma_{\max} = l \left(\frac{b}{L} - \frac{l}{2L} \right)$$

$$T_{\max} = q \sigma_{\max}$$

	0	4,8	2,4	3,48	5"	42.
T(t)	125,123	122,124	92,124	62,192	48,464	32,125
M(tmm)	0	422,618	724,487	905,609	948,162	965,983

DISTRIBUTION DES EFFORTS DANS LES POUTRES

Le choix de la méthode de répartition des efforts dans les poutres de la rigidité (ou flexibilité) des entretoises. M. Guyon a défini la rigidité de flexibilité d'une entretoise par la relation :

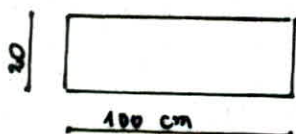
$$r = \frac{n \cdot b}{2 \cdot L} \sqrt[4]{\frac{I_p}{I_E}} \quad \text{avec}$$

n : nombre total de poutres principales
 b : distance entre 2 p. principales.
 L : portée des p. principales
 I_p : moment d'inertie de la p.p.
 I_E : moment d'inertie propre d'une entretoise.

Si $r < 0,3$ l'entretoise est considérée comme infiniment rigide, on ne tient pas compte de l'effet de la résistance du pont à la torsion. Dans ce cas on utilise la méthode de M. Courbon.
 Si $r > 0,3$, on tient compte de la rigidité réelle de l'entretoise, la méthode de M.M Guyon-Massonnet est l'une des méthodes actuellement disponibles pour le calcul des ponts en tenant compte de la résistance à la torsion.

Calcul de la rigidité de flexibilité de l'entretoise

On va prendre l'entretoise en l'hourdis qui va assurer le rôle d'entretoise. Pour le calcul de I_E , on considère une largeur de 1m d'hourdis



$$I_E = \frac{100 (20)^3}{12} = 66666,66 \text{ cm}^4$$

$$I_p = 26216638,57 \text{ cm}^4$$

$$\begin{aligned} n &= 6 \\ b &= 1,816 \text{ m} \\ L &= 24,6 \text{ m} \end{aligned}$$

$$r = \frac{6 \cdot 1,816}{2 \cdot 24,6} \sqrt[4]{\frac{26216638,57}{66666,67}}$$

$$r = 0,986 > 0,3$$

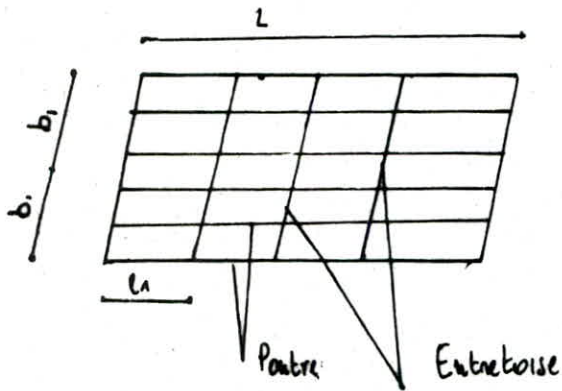
Par conséquent on utilise la méthode de M.M Guyon-Massonnet

Principe de la méthode M.M Guyon-Massonnet

- La méthode consiste essentiellement :
1. À substituer au pont réel un pont à structure qui a les mêmes rigidités moyennes à la flexion et à la torsion que l'ouvrage réel mais qui est analysable rigoureusement par le calcul différentiel.
 2. À analyser de manière approchée l'effet de la répartition transversale des charges en admettant que cette répartition est la même que la distribution des charges suivant

l'axe du pont est sinusoidale de la forme $p(x) = p \sin \frac{\pi x}{L}$
 avec p : constante
 L : portée du pont

des deux paramètres fondamentaux



Le pont est constitué de :

- n poutres principales espacées de b_1 mètres
- m entretoises espacées de L_1 mètres.

On désigne par

$B_p = E I_p$ la rigidité flexionnelle des poutres
 $B_E = E I_E$ la rigidité flexionnelle des entretoises
 E : Module d'élasticité longitudinal
 $C_p = G I_p$ rigidité à la torsion des poutres
 $C_E = G I_E$ rigidité à la torsion des entretoises.

Le pont à structure continue équivalent au pont réel a pour rigidité flexionnelle par unité de longueur :

$$J_p = \frac{B_p}{b_1} \quad J_E = \frac{B_E}{L_1}$$

et pour rigidité torsionnelle par unité de longueur

$$\gamma_p = \frac{C_p}{b_1} \quad \text{et} \quad \gamma_E = \frac{C_E}{L_1}$$

On montre que le comportement de la structure est complètement défini par :

le paramètre d'entretoisement

$$\theta = \frac{b}{L_1} \sqrt{\frac{J_p}{J_E}}$$

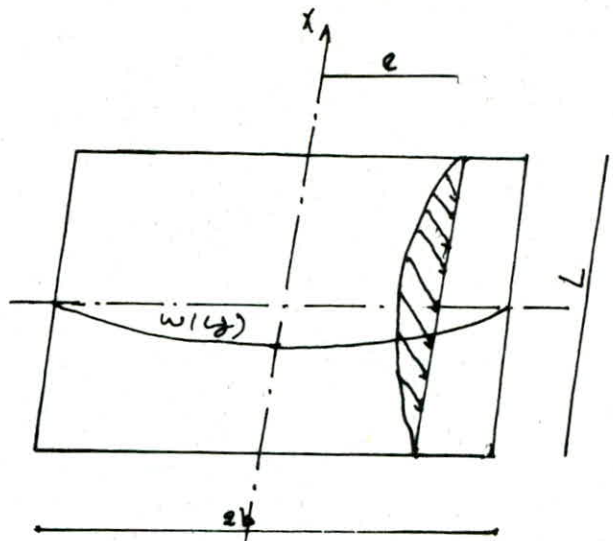
le paramètre de torsion

$$d = \frac{\gamma_p + \gamma_E}{2 \sqrt{\gamma_p \cdot \gamma_E}}$$

Coefficient de répartition transversale

Sous l'effet d'une charge linéaire répartie sur une parallèle à l'axe du pont d'excentricité e et suivant la loi sinusoidale $p = p_0 \sin \frac{\pi x}{L}$, on peut montrer que le pont prend une déformée de la forme $w(x, y) = w(y) \sin \frac{\pi x}{L}$.

si la charge p' au lieu d'être répartie sur une ligne est uniformément répartie sur $2b$ tout en restant sinusoidale dans le sens de l'axe x le pont prendrait une déformation cylindrique d'équation transversale le rapport sans dimension



$$k(y) = \frac{w(y)}{w_m}$$

Le coefficient k dépend de θ et α , de l'excentricité e de la charge et de l'ordonnée y du point considéré. Des tables numériques à doubles entrées donnant les valeurs des fonctions k_0 (correspondant à $\alpha=0$) et k_1 (correspondant à $\alpha=1$), pour les valeurs de θ sont présentées dans l'annexe de l'ouvrage Bétons - Maissonnet connaissant θ , on peut avoir les valeurs des fonctions k_0 et k_1 . Pour avoir les valeurs de k_α correspondant à notre paramètre de torsion α , on utilise la loi d'interpolation établie par M. SATLER

$$\begin{aligned} 0 < \theta < 1 & \quad k_\alpha = k_0 + (k_0 - k_1) e^{0,05\theta} \\ 0,1 < \theta < 1 & \quad k_\alpha = k_0 + (k_1 - k_0) \alpha^{1 - e^{0,065 - \theta}} \\ \theta > 1 & \quad k_\alpha = k_0 + (k_1 - k_0) \sqrt{\alpha} \end{aligned}$$

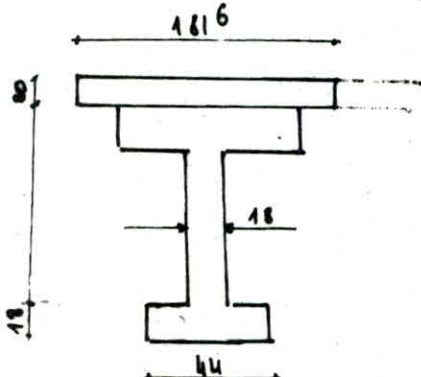
Calcul des paramètres α et θ

Rigidité flexionnelle S_p, S_E et rigidité torsionnelle δ_p, δ_E

$$S_p = \frac{EI_p}{b_1} \quad S_E = \frac{EI_E}{e_1}$$

La poutre est à inerte variable, on prend le moment d'inertie équivalent :

$$\bar{I} = I_0 + (I_m - I_0) \frac{\delta}{3\pi}$$



section d'appui :

$$I_0 = 38145687,15 \text{ cm}^4$$

section médiane

$$I_m = 26216638,57 \text{ cm}^4$$

$$\text{d'où } \bar{I} = 480199959,91 \text{ cm}^4$$

$$\delta_p = \frac{C_p}{b_1} \quad \text{et} \quad \delta_E = \frac{C_E}{e_1} \quad \text{avec}$$

$$C_p = 2b^3 \cdot h \cdot \frac{G}{3}$$

$$C_p = 4672008 \cdot \frac{0,435 E}{3}$$

$$G = \frac{E}{2(1+\nu)} = 0,435 E$$

$$\text{d'où } C_p = 677441,16 E$$

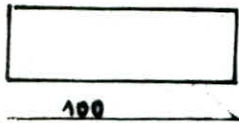
$$\text{Pour l'entretoise } C_E = \frac{G}{3} \frac{L}{2} \quad C_E = \frac{G}{6} \cdot 25^3 \cdot 100$$

$$C_E = 113224,64 E$$

$$\gamma_p = \frac{677441,16}{181,6} = 3730,6 E$$

$$\gamma_p = 3730,6 E \quad \gamma_E = 1134,24 E$$

Rigidite flexionnelle unitaire I_p, I_E



$$I_E = 130208,33 \text{ cm}^4$$

$$I_p = \frac{E I_p}{b_1} \Rightarrow I_p = 154295,13 E$$

$$I_E = \frac{E I_E}{L_1} \Rightarrow I_E = 1302,08 E$$

$$\theta = \frac{b}{L} \sqrt{\frac{I_p}{I_E}} = \frac{5,448}{24,6} \sqrt{\frac{154295,13}{1302,08}} \Rightarrow \theta = 0,73$$

$$\alpha = \frac{\gamma_p + \gamma_E}{2 (I_p \cdot I_E)^{1/2}} = \frac{3730,4 + 1132,246}{2 (154295 \cdot 1302,08)^{1/2}} \Rightarrow \alpha = 0,171$$

Les valeurs de k_0 et k_1 sont dans l'annexe de l'ouvrage BARE-Blasontet. Pour une inter polation, on determine k_0 .
des valeurs de k_0 ont cours dans le tableau :

e	-b	$-\frac{3}{4}b$	$-\frac{1}{2}b$	$-\frac{1}{4}b$	0	$\frac{1}{4}b$	$\frac{1}{2}b$	$\frac{3}{4}b$	b
P_1 $y=0,908$	0,0776	0,471	1,0063	1,2926	1,5543	1,50567	1,1673	0,8546	0,5861
P_2 $y=2,724$	-0,237	0,016	0,285	0,623	1,036	1,488	1,806	1,896	1,248
P_3 $y=4,154$	-0,7092	-0,1995	0,0599	0,1578	0,503	1,0634	1,7783	2,4046	4,1582

Calcul de k_1^{\max} sous charge localisee $k_1^{\max} = \frac{\sum P_i \cdot y_i}{\sum P_i}$

sous le seuil transversal : $k_1^{\max} = \frac{\sum y_i}{n}$

Sous charge et sur charge une forme : $k_0 = \frac{w}{e}$ une page :
cette aire est calculee par la methode de Simpson :
 $w = \frac{b}{n} [y_0 + 2(y_1 + y_2 + \dots + y_{n-1}) + y_n]$

Résultats récapitulatifs

charge et surcharge	mode de chargement	Poutre 1 $y=0,308$	Poutre 2 $y=2,724$	Poutre 3 $y=4,54$
G	toute la largeur	1,0774	1,1468	0,9579
Trottoirs	1 trottoir charge	0,77	1,88	2,83
	2 trottoirs charges	0,4816	0,9325	1,315
A(L)	une voie chargée	1,3707	2,235	1,356
	2 voies chargées	1,1649	1,46	0,729
Bc	1 voie	1,384	1,62	1,65
	2 voies	1,3575	1,292	1,179
MCI20		1,32	1,385	1,241
D		1,553	1,266	0,836

Calcul des moments fléchissants dans les poutres :

$$M_i = K_{xi} \cdot \frac{M_0}{n}$$

M_0 : moment fléchissant sollicitant chaque travée sous le chargement considéré

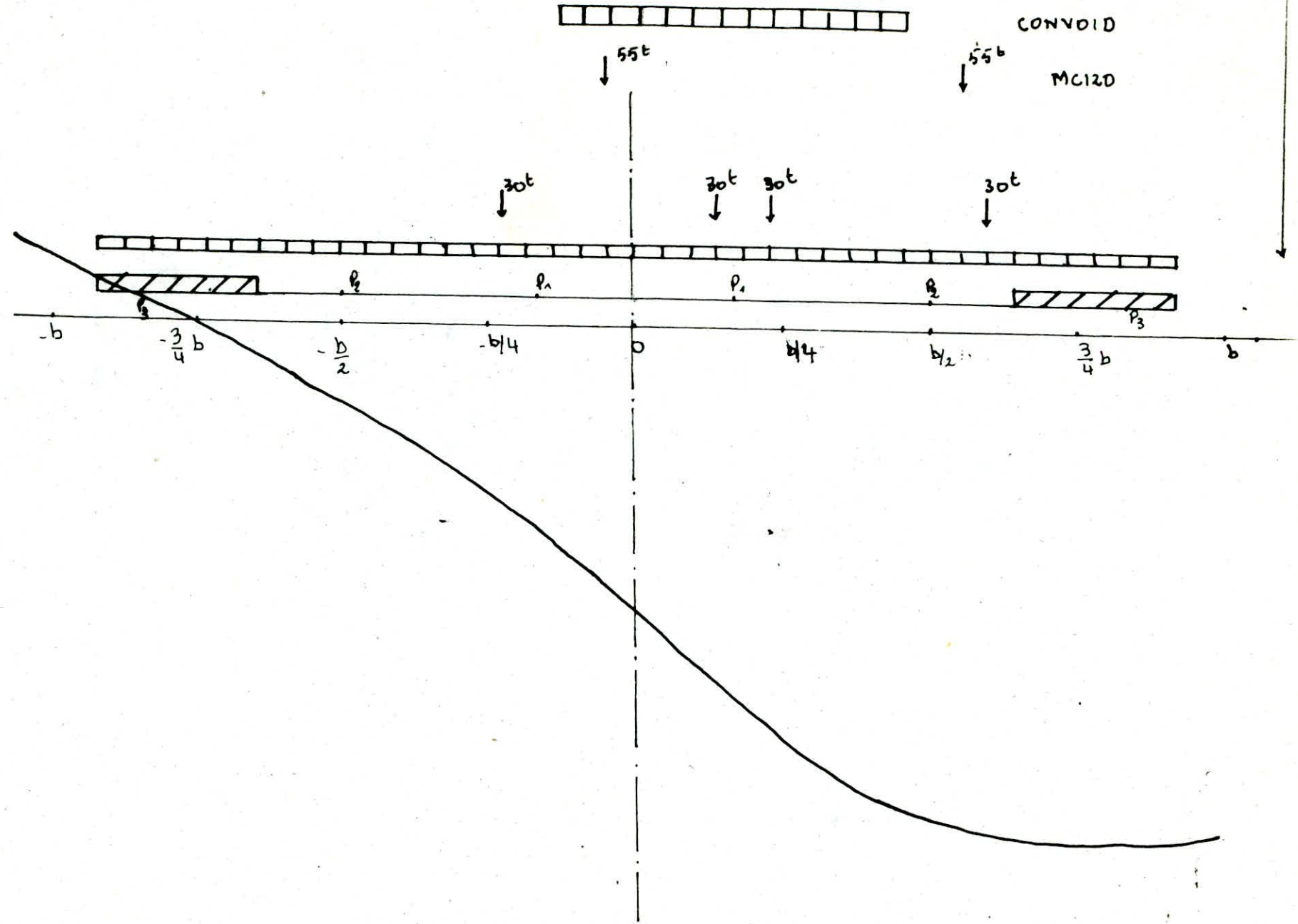
K_{xi} : coefficient de répartition (transverse) pour chaque poutre

n : nombre de poutres

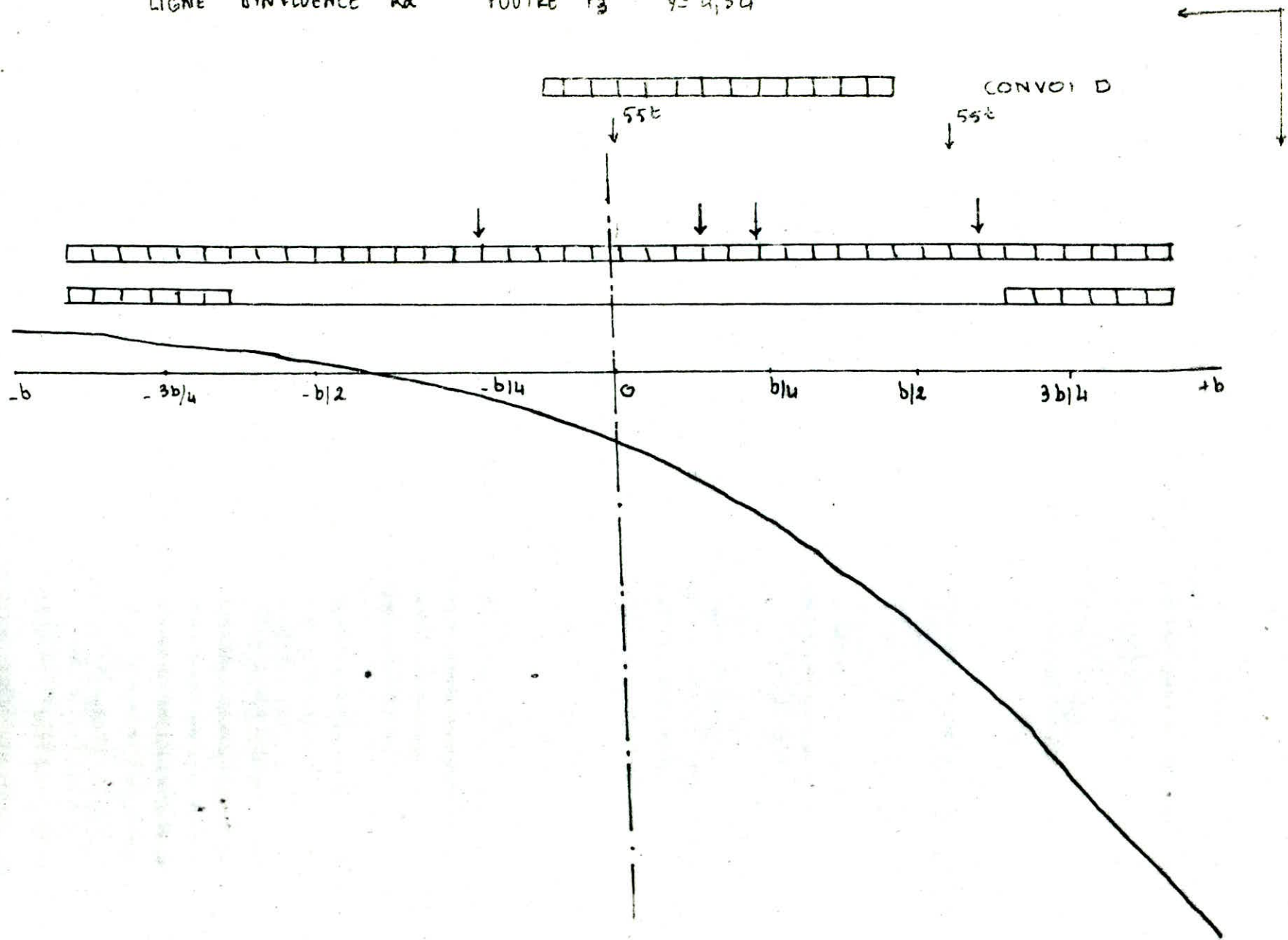
efforts tranchants dans les poutres

$$T_x = K_{xi} \cdot \frac{T_0}{n}$$

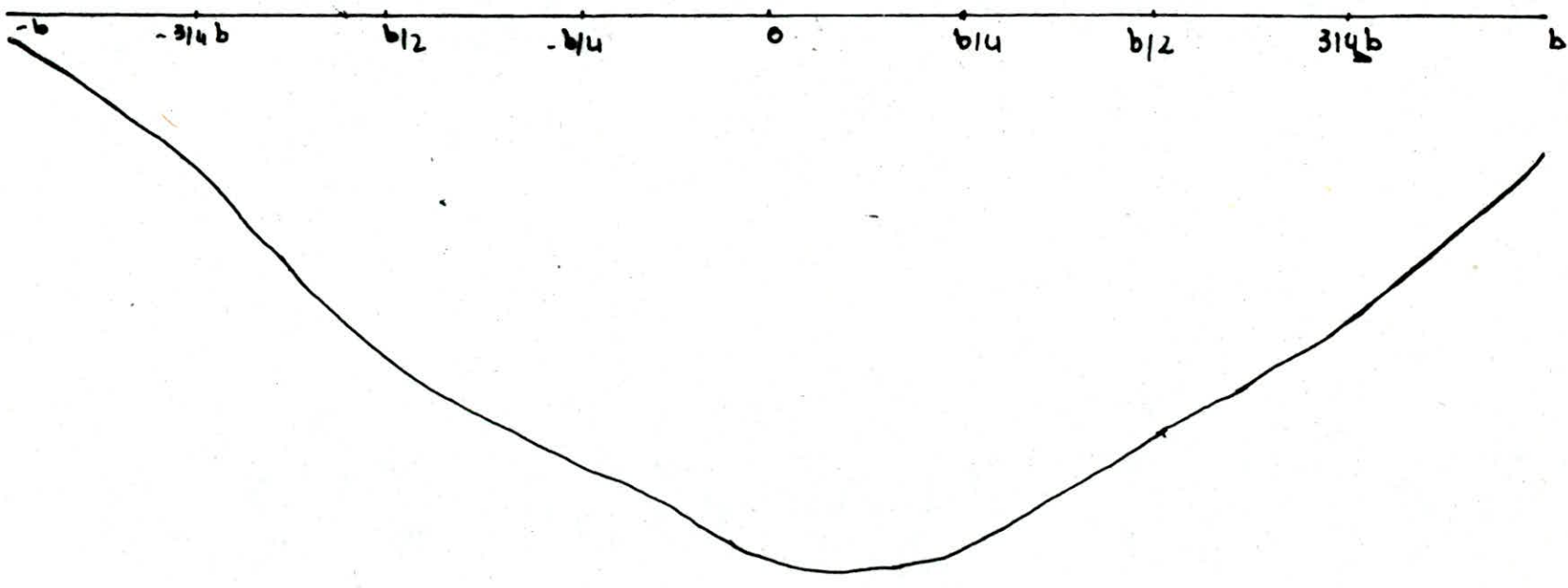
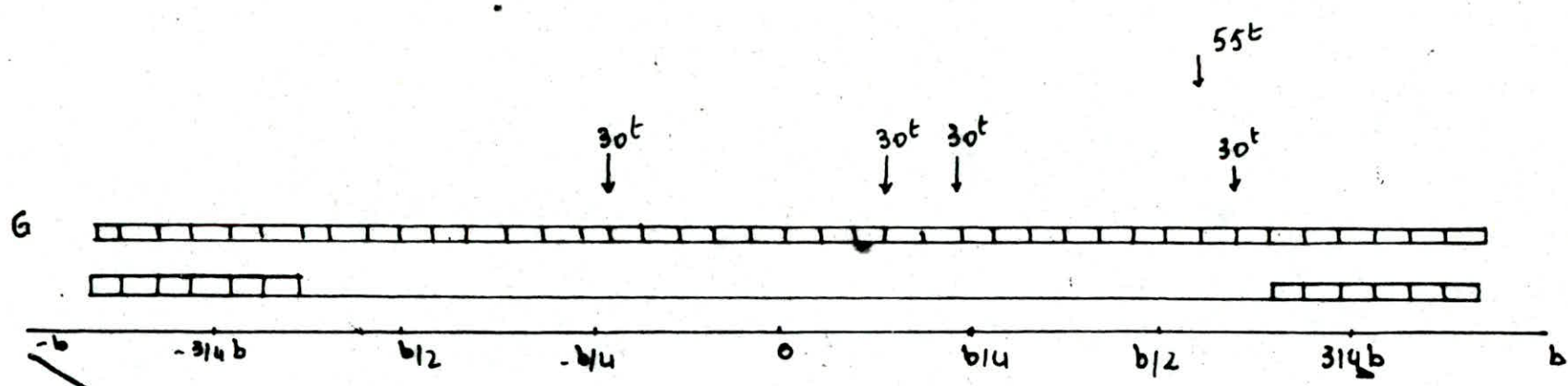
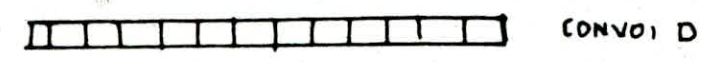
T_0 : effort tranchant sollicitant chaque travée du pont sous le chargement considéré.



LIGNE D'INFLUENCE KA POUTRE P_3 $\nu = 4,54$



WAVE SURFLOWS R.R. SURFACE $y = 0,508$



24

Moments fléchissants et efforts tranchants dans la poutre P₁: $g = 0,908$

Section			K _K	0	L/8	L/4	3/8	L/2	L/2
G		M(t-m)	4,0844	0	106,419	175,58	219,47	231,384	234,1
		T(t)		38,065	28,48	19,033	9,517	4,1	0
A(c)	1 voie	M(t-m)	1,371	0	32,121	55,064	68,831	71,975	73,419
		T(t)		11,942	9,824	7,129	5,936	4,934	4,208
	2 voies	M(t-m)	1,168	0	54,73	93,822	117,278	124,636	125,10
		T(t)		20,347	16,739	13,515	10,12	8,406	7,169
Bc	1 voie	M(t-m)	1,284	0	29,245	49,267	69,241	63,873	59,637
		T(t)		11,575	9,572	7,569	5,607	4,781	3,805
	2 voies	M(t-m)	1,397	0	61,157	102,976	125,74	133,532	124,741
		T(t)		24,201	20,012	15,826	11,721	9,95	7,954
Trottoirs	1 trot	M(t-m)	0,77	0	9,409	1,638	2,048	2,141	2,184
		T(t)		0,355	0,272	0,2	0,139	0,115	0,09
	2 trot	M(t-m)	0,482	0	0,513	4,051	2,564	2,681	2,755
		T(t)		0,445	0,34	0,25	0,173	0,145	0,111
Mc120	M(t-m)	1,32	0	21,355	111,861	139,825	146,39	149,147	
	T(t)		23,488	20,151	16,814	13,478	11,539	10,141	
Cours D	M(t-m)	1,553	0	109,888	187,521	234,401	245,416	250,03	
	T(t)		32,386	31,61	23,845	16,081	12,534	8,315	
G + 1,1(A+B)	M(t-m)		0	163,186	281,04	351,296	369,65	374,778	
	T(t)		60,936	47,267	33,954	20,839	13,506	8,008	
G + 1,1(B+C)	M(t-m)		0	170,234	291,132	360,824	381,218	374,324	
	T(t)		65,176	50,867	36,717	22,6	15,204	8,872	
G + M _{car}	M(t-m)		0	116,774	287,441	359,29	377,779	383,247	
	T(t)		61,553	48,631	35,847	22,995	15,639	10,141	
G + D	M(t-m)		0	211,807	363,101	453,871	476,8	484,129	
	T(t)		70,451	60,09	42,878	25,598	16,634	8,315	

Moments fléchissants et efforts tranchants pour la poutre $P_2: y=2,724$

Section		Kα	0	L/8	L/4	3/8	√S''	L/2	
G	M(t.m)	1,147	0	108,032	185,198	231,5	244,06	246,93	
	T(t)		49,15	39,04	20,076	10,038	4,324	0	
A(L)	1 Voie	M(t.m)	2,235	0	52,235	89,766	112,21	117,33	119,69
		T(t)		19,47	16,02	11,622	9,68	9,043	8,86
	2 Voies	M(t.m)	1,46	0	68,412	117,278	146,6	153,3	156,371
		T(t)		25,434	20,923	16,643	12,642	10,508	8,962
Bc	1 convoi	M(t.m)	1,62	0	36,90	62,16	76,01	80,587	75,511
		T(t)		14,604	12,077	9,55	7,074	6,032	4,801
	2 convois	M(t.m)	1,292	0	56,542	95,255	116,474	123,49	115,565
		T(t)		22,582	18,508	14,656	10,84	9,244	7,556
Trottoir	1 trottoir	M(t.m)	1,88	0	1,00	4,00	5,00	5,228	5,355
		T(t)		9,687	0,664	0,489	0,338	0,282	0,218
	2 trottoir	M(t.m)	0,933	0	0,992	3,97	4,963	5,19	5,293
		T(t)		9,861	0,66	0,484	0,336	0,28	0,215
Mezzo	M(t.m)	1,385	0	62,465	117,369	146,71	153,604	154,491	
	T(t)		24,644	21,143	14,642	14,142	12,545	10,441	
Convoi B	M(t.m)	1,266	0	89,172	152,867	191,084	200,042	203,822	
	T(t)		26,401	25,768	19,458	13,109	10,217	6,778	
G + 1/4(A+T)	M(t.m)		0	184,585	318,64	358,26	412,48	424,23	
	T(t)		69,081	53,786	38,921	24,316	16,195	10,098	
G + 1/4(B+T)	M(t.m)		0	171,328	294,373	365,121	385,662	379,72	
	T(t)		65,724	51,129	36,713	22,354	14,805	8,551	
G + Mezzo	M(t.m)		0	176,497	302,567	378,21	397,67	405,42	
	T(t)		64,794	51,183	37,718	24,18	16,867	10,641	
G + δ	M(t.m)		0	197,204	338,065	422,584	444,110	450,75	
	T(t)		66,511	57,208	39,514	23,147	14,561	6,778	

Moments de flexion et efforts tranchants dans la poutre P₃: $y = 4,54$

Section			K _{ca}	0	4/8	2/4	3/8	5/8	2/2
G	M(t.m)	0,959	0,959	0	90,325	154,84	195,55	204,06	206,46
	T(t)			33,57	25,115	16,782	8,593	3,615	0
A(L)	1 voie M(t.m)	1,356	1,356	0	31,77	54,66	68,077	71,188	74,616
	1 voie T(t)			11,812	9,716	7,051	5,871	4,88	4,162
	2 voies M(t.m)	0,729	0,729	0	34,16	58,56	73,198	76,546	78,978
	2 voies T(t)			12,7	10,447	8,51	6,312	5,247	4,475
Bc	1 convoi M(t.m)	1,65	1,65	0	37,782	63,51	77,412	82,087	86,706
	1 convoi T(t)			14,875	12,501	9,727	7,205	6,144	4,89
	2 convois M(t.m)	1,179	1,179	0	26,254	45,238	55,315	58,65	54,81
	2 convois T(t)			20,424	16,89	13,556	9,892	8,456	6,712
Trottoirs	1 trottoir M(t.m)	2,83	2,83	0	1,505	6,021	7,526	7,87	8,027
	1 trottoir T(t)			1,305	1,00	0,734	0,509	0,424	0,33
	2 trottoirs M(t.m)	1,715	1,715	0	1,14	5,6	6,994	7,514	7,46
	2 trottoirs T(t)			1,213	0,929	0,682	0,474	0,394	0,303
M _{ci20}	M(t.m)	1,24	1,24	0	61,297	105,081	131,351	137,523	140,107
	T(t)			22,064	18,93	15,775	12,667	11,229	9,526
Convoi D	M(t.m)	0,896	0,896	0	63,511	108,19	135,258	141,59	144,253
	T(t)			18,685	15,251	13,757	9,278	7,231	4,797
G + 1,1(A+T ₂)	M(t.m)			0	129,756	225,82	282,351	296,91	301,753
	T(t)			48,975	37,707	26,731	15,896	9,263	5,285
G + 1,1(B+T ₂)	M(t.m)			0	133,21	231,107	286,887	304,015	299,664
	T(t)			57,472	39,746	27,281	15,874	11,567	7,746
G + M _{ci20}	M(t.m)			0	151,622	259,324	324,806	341,085	346,565
	T(t)			55,854	44,005	32,577	21,054	14,804	9,256
G + D	M(t.m)			0	153,436	263,053	328,793	345,674	350,771
	T(t)			52,255	41,352	30,158	17,677	10,876	7,794

chap II

ETUDE DU PLATELAGE

Calcul des moments flechissants dans les entretoises
 Le moment flechissant par unite de longueur est donne par
 l'expression :

$$M_y(x,y) = \sum_{m=1}^{\infty} M_y(z,y) = \sum \alpha_m P_m \cdot b \cdot \sin \frac{m\pi x}{L}$$

avec

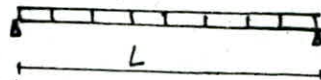
$$\alpha_m = P_0 + (P_1 - P_0) \frac{1 - e^{-\frac{0,065 \cdot \theta}{0,063}}}{0,063}$$

Comme la construction est tres chargee et que les charges dans le sens longitudinal le sont considerablement on doit tenir compte des trois premiers termes du developpement des charges en serie de Fourier qui sont :

$$\alpha_{m1} \rightarrow \theta, \quad \alpha_{m3} \rightarrow 3\theta, \quad \alpha_{m5} \rightarrow 5\theta$$

Cas d'une charge lineaire uniformement repartie (A1E), trottoirs)

$$P_m = \frac{4P}{\pi m} \sin^2 \frac{m\pi}{2}$$

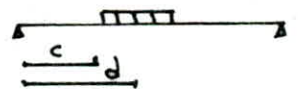


$$M_y = \sum \alpha_m \cdot \frac{4P}{\pi m} \cdot \sin^2 \frac{m\pi}{2} \cdot \Delta m \cdot \frac{m\pi x}{L}$$

$$\text{avec } x = \frac{L}{2}$$

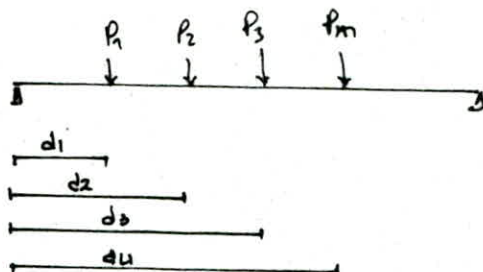
Cas d'une charge lineaire distante des appuis (Mc190, Convoi D)

$$P_m = \frac{4P}{\pi m} \sin \frac{m\pi c}{L} \cdot \sin \frac{\pi \cdot m \cdot d}{L}$$



Cas de charge concentrees

$$P_m = \frac{2P}{L} \sin \frac{m\pi d}{L}$$



Dans le sens longitudinal, la resultante de charge (pour Bc) doit passer par $x = L/2$.
 On ne tient pas compte de la charge permanente car elle n'influence pas de flexion transversale.

$m=1 \quad 10^{-4}$

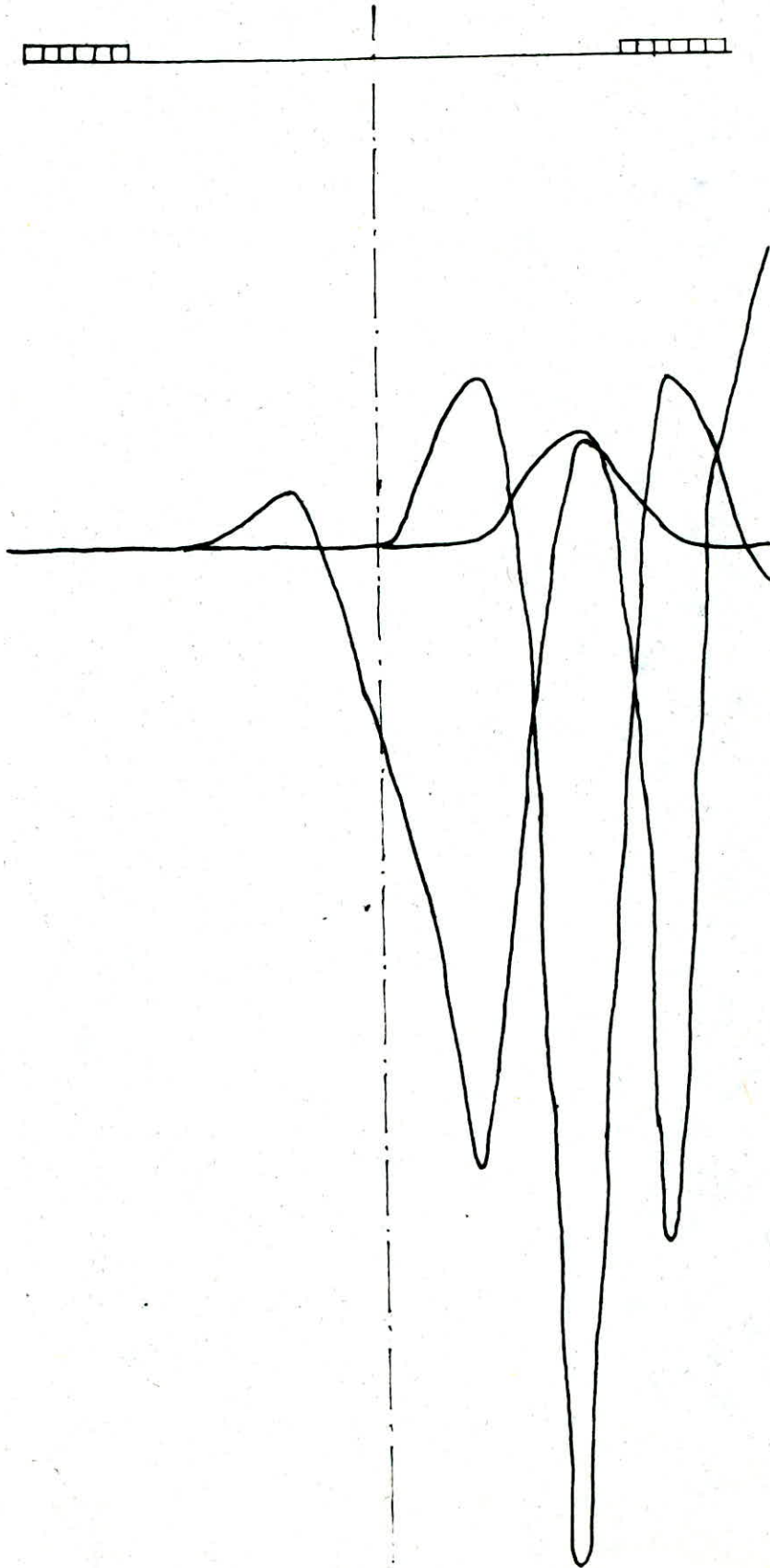
	$-b$	$-\frac{3}{4}b$	$-\frac{1}{2}b$	$-\frac{1}{4}b$	0	$\frac{1}{4}b$	$\frac{1}{2}b$	$\frac{3}{4}b$	b
P_1	-666,626	-457,54	-198,77	187,264	846,75	164,654	133,654	-559,09	1196,05
P_2	-256,20	-224,932	-181,122	-93,16	90,315	479,781	1166,616	-261,99	-1504,14
P_3	-52,155	-53,603	-53,327	-46,813	-21,069	45,106	177,463	431,927	-828,265

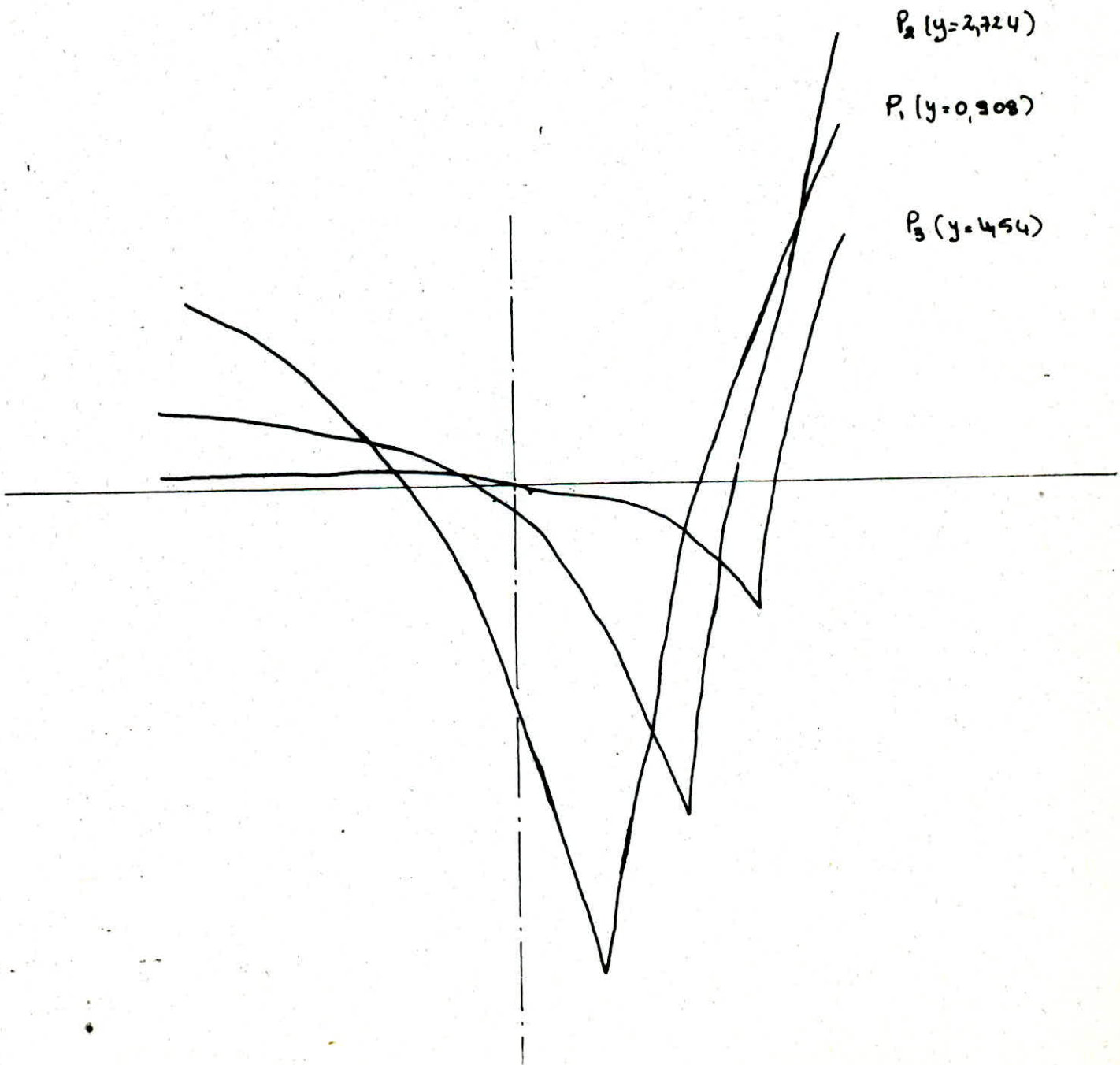
 $m=3 \quad 10^{-4}$

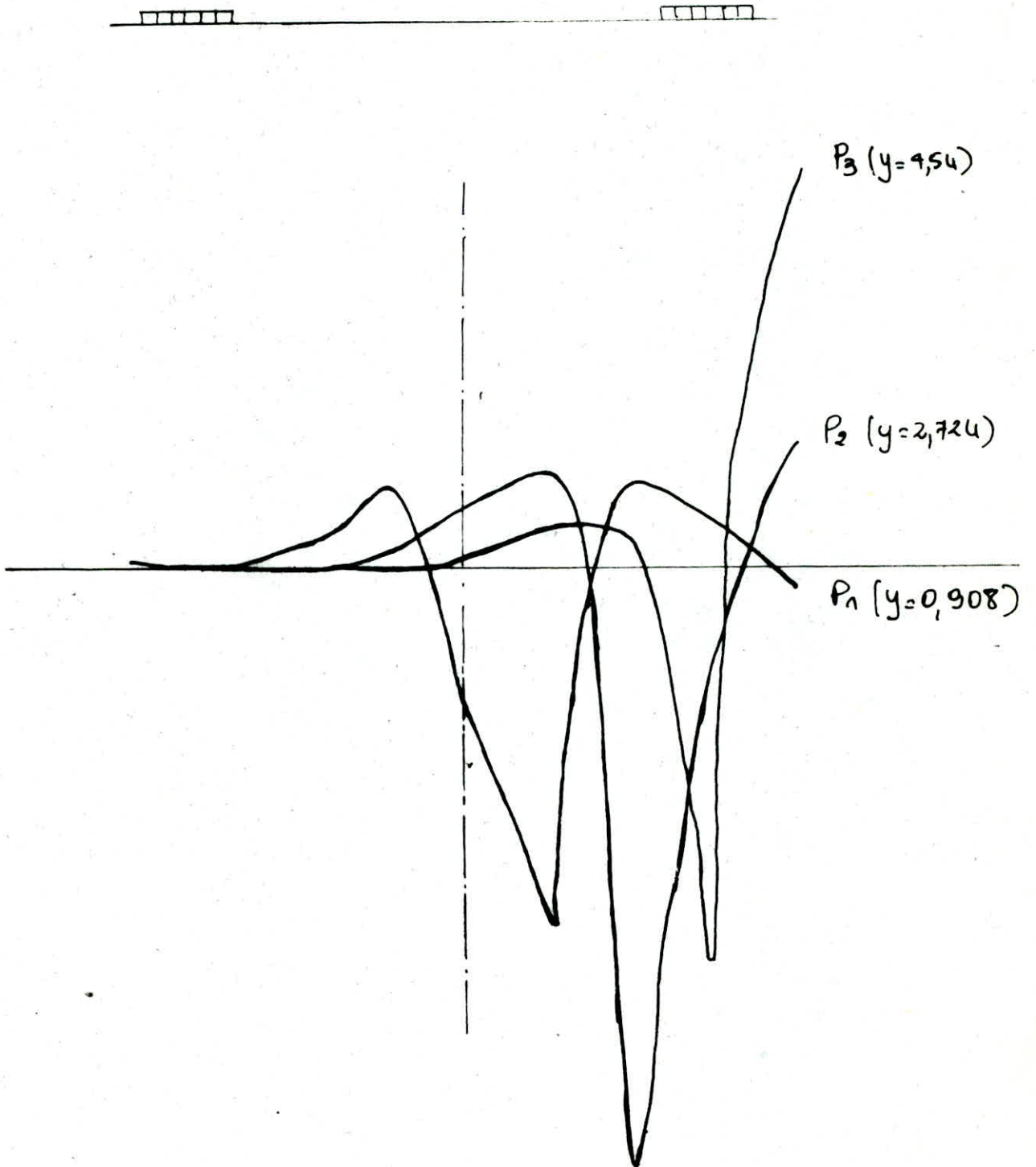
	$-b$	$-\frac{3}{4}b$	$-\frac{1}{2}b$	$-\frac{1}{4}b$	0	$\frac{1}{4}b$	$\frac{1}{2}b$	$\frac{3}{4}b$	b
P_1	4,363	0,538	-21,479	-65,365	106,945	296,054	-76,056	-40,27	16,827
P_2	-0,989	1,03	3,406	-5,502	-56,727	-81,795	488,105	88,8	-103,67
P_3	-0,169	-0,035	0,65	1,61	-4,772	-33,414	-32,125	324,588	-350,05

 $m=5 \quad 10^{-5}$

	$-b$	$-\frac{3}{4}b$	$-\frac{1}{2}b$	$-\frac{1}{4}b$	0	$\frac{1}{4}b$	$\frac{1}{2}b$	$\frac{3}{4}b$	b
P_1	-0,028	0,286	0,481	-16,245	64,986	179,017	-32,71	0,564	0,19
P_2	0	0	-0,097	0,645	0,155	-43,02	282,78	-50,631	10,54
P_3	0	0	0	-0,065	0,432	0,021	-32,515	199,168	-86,285

LIGNE D'INFLUENCE de U_x $m=5$ 

LIGNE D'INFLUENCE DE ψ_d $m=1$ 



Les moments flechissants transversaux sont determines a partir des positions de chargement dans le sens transversal de facon que y_c et w_x soient maximums.

$$\mu_{\alpha} = \frac{1}{n} \sum y_i \quad \text{charges concentrees}$$

$$\mu_{\alpha} = \frac{w}{l} \quad \text{charges reparties}$$

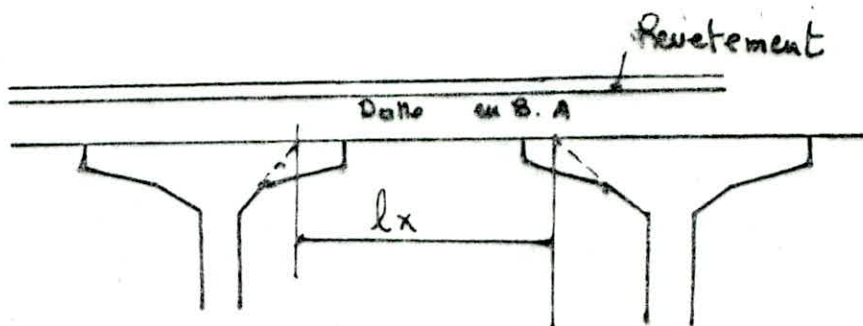
les resultats des differents chargements pour μ_{α} sont :

		$\mu_{\alpha 1}$		$\mu_{\alpha 3}$		$\mu_{\alpha 5}$	
		+	-	+	-	+	-
A(e)	1 voie	0,2838	0,089	0,0245	0,00635	0,0285	0,0024
	2 voies	0,0461	-	0,022	-	0,0288	-
Trottoirs	1 trottoir	0,0158	0,0942	0,007	0,0049	0,0042	0,0027
	2 trottoirs	0,0234	0,1674	0,008	0,0049	0,0021	0,0014
B _c	1 convoi	0,0505	0,013	0,0111	0,0035	0,00765	0,0007
	2 convois	0,0315	0,00175	0,0086	0,003	0,0066	0,0013
B _E	1 convoi	0,10	0,015	0,0095	0	0,0165	0,001
	2 convois	0,07025	0	0,0052	0	0,0051	0,0006
BR		0,165	0,036	0,0488	0,0082	0,0293	0,0049
MCIAD		0,039	0,002	0,0163	0,0032	0,0121	0,0014
Convoi D		0,3516	0,0037	0,0103	0,00122	0,078	0,00025

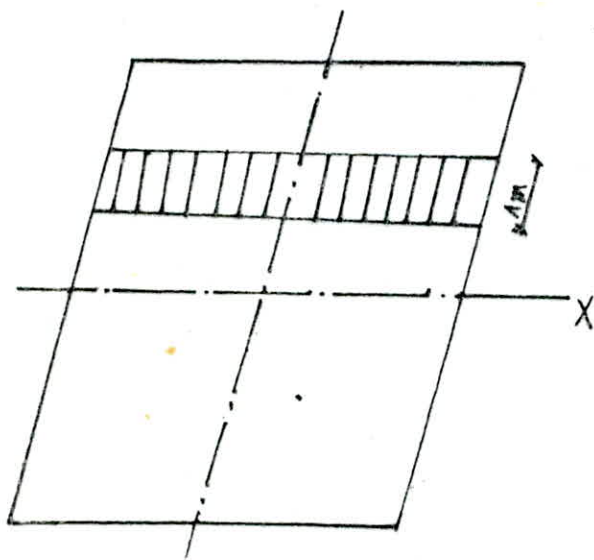
Les moments flechissant maximums sont :

		M^+ (t.m)	M^- (t.m)
A(l)	1 voie	2,3164	0,214
	2 voies	2,624	—
Trottoirs	1 trottoir	0,0224	0,145
	2 trottoirs	0,066	0,518
B _c	1 convoi	0,0376	0,00815
	2 convois	0,0477	—
B _e	1 convoi	0,0481	0,0077
	2 convois	0,0622	0,00116
B _R		1,0767	0,2175
M _{C120}		0,3495	0,03416
Convoi D		2,195	0,1783

Flexion locale



La dalle constituant le palétage sera assimilée à un ensemble de panneaux rectangulaires de dimensions l_x, l_y (l_x étant le plus petit des deux côtés). Ces panneaux seront appuyés sur les poutres principales suivant la direction l_y , libres suivant l_x . Ils seront considérés comme partiellement encastrés entre eux dans le sens l_y . Les dimensions l_x et l_y seront déterminées en conformité avec les indications de l'I.P.1.



transversalement :

$$l_x = 1,096 \text{ m}$$

longitudinalement :

$$l_y = 24,35 \text{ m}$$

Pour les charges uniformément réparties sur tout le panneau, on considérera une bande de longueur 1 m dans le sens de travail (l_x) ce qui reviendrait à calculer une poutre de longueur l_x , de largeur 1 m et d'épaisseur 20 cm supportant une charge uniforme sur toute la longueur l_x .

On calculera d'abord le moment isostatique en supposant la "poutre" simplement appuyée à ses extrémités, puis en supposant les panneaux semi-encastrés.

Le moment sur appui : $M_{ox} \geq (0,14 - 0,5) M_{ox}$

Le moment en travée : $M_{ox} \geq (0,75 - 0,85) M_{ox}$

M_{ox} : moment isostatique

Dans le sens y , on prendra un moment forfaitaire : $M_{o,y} = 0,25 M_{ox}$

Pour les charges concentrées, on appliquera la méthode de calcul de M. PIGEAUD en supposant la dimension ly infinie soit $\rho = \frac{lx}{2y} = 0$

CALCUL DES EFFORTS DUS AUX SURCHARGES

Charges permanentes

$$q_6 = 2,5 \cdot 1,02 + 2,2 \cdot 1,0,08 = 0,676 \text{ t/ml}$$

$$M_{0x} = \frac{q_6 \cdot lx^2}{8} = 0,102 \text{ t} \cdot \text{m/ml}$$

$$M_{bx} = 0,8 M_{0x} = 0,081 \text{ t} \cdot \text{m/ml}$$

$$M_{a,x} = 0,5 M_{0x}$$

Sens non parteur ly

$$M_{0y} = \frac{1}{4} M_{0x} = 0,020 \text{ t} \cdot \text{m/ml}$$

$$M_{ay} = M_{0y} = 0,05 \text{ t} \cdot \text{m/ml}$$

Efforts tranchants:

$$\text{Au milieu de } ly : T_x = \frac{q_6 \cdot lx \cdot ly}{2ly + lx} = 0,362 \text{ t}$$

$$\text{Au milieu de } lx : T_y = \frac{1}{3} q_6 \cdot lx = 0,247 \text{ t}$$

Surcharge A(L)

$$A = 1213,6 \text{ Kg/m}^2$$

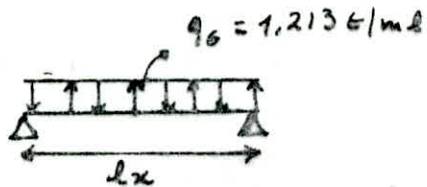
Moments fléchissants

$$M_{0x} = q \cdot \frac{lx^2}{8} = 0,182 \text{ t} \cdot \text{m/ml}$$

$$M_{bx} = 0,8 M_{0x} = 0,146 \text{ t} \cdot \text{m/ml}$$

$$M_{ax} = 0,5 M_{0x} = 0,091 \text{ t} \cdot \text{m/ml}$$

$$M_{0y} = 0,25 M_{0x} = 0,045 \text{ t} \cdot \text{m/ml}$$



Efforts tranchants

$$T_x = q \frac{lx \cdot ly}{2ly + lx} = 0,65 \text{ t}$$

$$T_y = q \frac{lx}{3} = 0,443 \text{ t}$$

Surcharge BR

Pour les charges concentrées, on appliquera la méthode de PIGEAUD en tenant compte de la diffusion dans le plan moyen de la dalle. Ainsi pour une charge s'appliquant sur une surface UV , après diffusion, on obtient dans le plan moyen une aire d'application $U'XV'$:

$$u' = u + h_0 + e \cdot e_r$$

h_0 : épaisseur de la dalle

$$v' = v + h_0 + e \cdot e_r$$

e_r : épaisseur de revêtement

Pour la roue BR : $u = 60 \text{ cm}$, $v = 30 \text{ cm}$ avec $u // lx$, $v // ly$

$$u' = 0,6 + 0,2 + 1,5 \cdot 0,08 = 0,92 \text{ m}$$

$$v' = 0,3 + 0,2 + 1,5 \cdot 0,08 = 0,62 \text{ m}$$

Moment fléchissant

Au milieu de l_x : $M_x = (M_1 + VM_2)P$

Au milieu de l_y : $M_y = (M_2 + VM_1)P$

$$\sigma = \frac{P}{u'v'} \quad \text{avec } P = 10 \text{ t}$$

σ : contraintes de répartition

P : poids total de la dalle

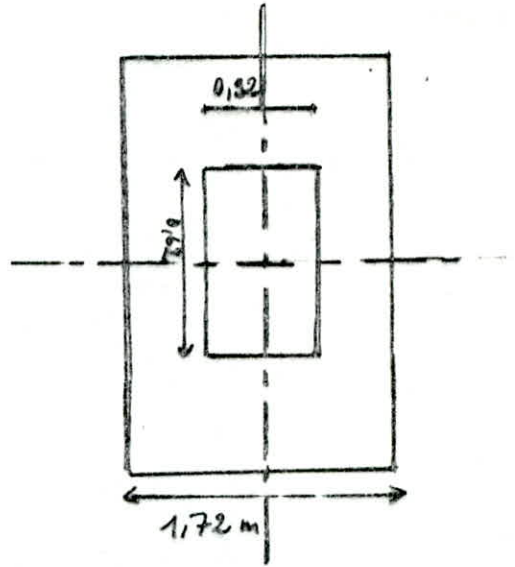
$S = u'v'$: aire de diffusion

M_1 et M_2 sont données par les abaques de PIGEAUD en fonction de :

$$r = \frac{l_x}{l_y} \cdot \frac{u'}{l_x} \cdot \frac{v'}{l_y}$$

On prendra : $\frac{v'}{l_x}$ car l_y est infinie

$$\left. \begin{array}{l} \frac{u'}{l_x} = 0,84 \\ \frac{v'}{l_x} = 0,57 \end{array} \right\} \begin{array}{l} M_1 = 10 \cdot 10^{-2} \quad M_2 = 4,6 \cdot 10^{-2} \\ \text{d'où :} \\ M_x = (M_1 + VM_2)P = 0,529 \text{ t.m/ml} \\ M_y = (M_2 + VM_1)P = 0,66 \text{ t.m/ml} \end{array}$$

Efforts tranchants

$$u' > v' \quad \text{Au milieu de } u' : T_u' = \frac{P}{2u'+v'} = \frac{10}{2 \cdot 0,92 + 0,62} = 4,06 \text{ t/ml}$$

$$\text{Au milieu de } v' : T_v' = \frac{P}{3u'} = \frac{10}{3 \cdot 0,92} = 3,623 \text{ t/ml}$$

Surcharge BC

Elle sera disposée de façon à avoir le moment fléchissant maximum c'est à dire 4 roues de 2 véhicules voisins au milieu de la plaque

$$u = 0,25 \Rightarrow u' = 0,57 \text{ m}$$

$$v = 0,25 \Rightarrow v' = 0,57 \text{ m}$$

Vérification de l'interférence :

α : interaxe de 2 roues voisines

Δ : zone d'interférence

on demande que :

$$\Delta = u' - \alpha$$

on a interférence si $u' - \alpha > 0$

Suivant l_x :

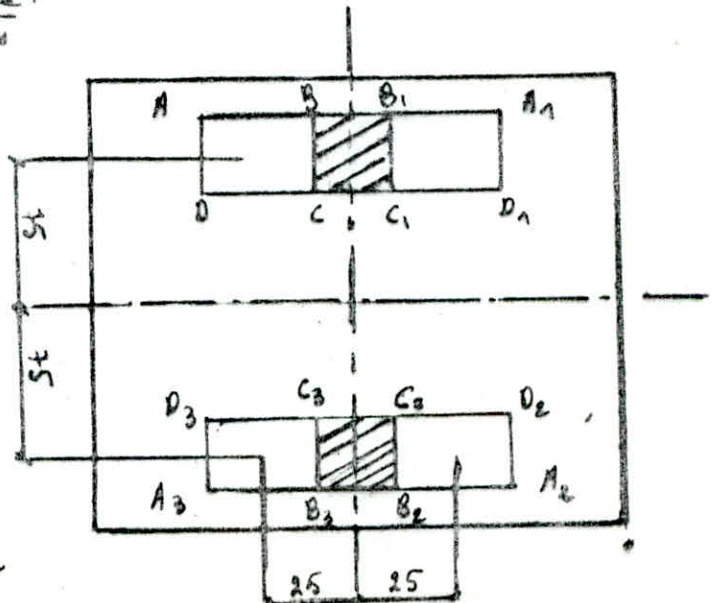
$$u' = 57 \text{ cm}$$

$$\alpha = 50 \text{ cm}$$

$u' > \alpha$ donc il y a interférence sur tout l_x

Zone d'interférence :

$$\Delta = 57 - 50 = 7 \text{ cm}$$



Suivant l_y :

$u' < a$ donc pas d'interférence dans ce sens
Calcul de la pression $\sigma = \frac{P}{u \cdot v} = 18,46 \text{ t/m}^2$

Calcul des efforts

Moment flechissant :

a. Surface $AA_1 A_2 A_3$:

$$u'_1 = 107 \text{ cm} \quad v'_1 = 207 \text{ cm} \quad P = \sigma \cdot u'_1 \cdot v'_1 = 41,65 \text{ t}$$

$$\left. \begin{aligned} \frac{u'_1}{l_x} &= 0,98 \\ \frac{v'_1}{l_x} &= 1,89 \end{aligned} \right\}$$

$$M_{11} = 5,9 \cdot 10^{-2} \quad M_{21} = 0,5 \cdot 10^{-2}$$

$$M_{x1} = (M_{11} + v M_{21}) P = 2,444 \text{ t.m}$$

$$M_{y1} = (M_{21} + v M_{11}) P = 0,57 \text{ t.m}$$

b. Surface $DD_1 D_2 D_3$:

$$u'_2 = 107 \text{ cm} \quad v'_2 = 93 \text{ cm} \quad P_2 = \sigma \cdot u'_2 \cdot v'_2 = 18,72 \text{ t}$$

$$\left. \begin{aligned} \frac{u'_2}{l_x} &= 0,98 \\ \frac{v'_2}{l_x} &= 0,85 \end{aligned} \right\}$$

$$M_{12} = 8,2 \cdot 10^{-2} \quad M_{22} = 2,8 \cdot 10^{-2}$$

$$M_{x2} = (M_{12} + v M_{22}) P = 1,68 \text{ t.m}$$

$$M_{y2} = (M_{22} + v M_{12}) P = 0,741 \text{ t.m}$$

$$M_x^I = M_{x1} \dots M_{x2} = 0,86 \text{ t.m}$$

$$M_y^I = M_{y1} \dots M_{y2} = -0,174 \text{ t.m}$$

c. Surface $BB_1 B_2 B_3$

$$u'_3 = 7 \text{ cm} \quad v'_3 = 207 \text{ cm} \quad P = 2,67 \text{ t}$$

$$\left. \begin{aligned} \frac{u'_3}{l_x} &= 0,06 \\ \frac{v'_3}{l_x} &= 1,08 \end{aligned} \right\}$$

$$M_{13} = 1,40 \cdot 10^{-2} \quad M_{23} = 0,95 \cdot 10^{-2}$$

$$M_{x3} = (M_{13} + v M_{23}) P = 0,309 \text{ t.m}$$

$$M_{y3} = (M_{23} + v M_{13}) P = 0,078 \text{ t.m}$$

d. Surface $DD_1 D_2 D_3$

$$u'_4 = 7 \text{ cm} \quad v'_4 = 93 \text{ cm} \quad P_4 = 1,202 \text{ t}$$

$$\left. \begin{aligned} \frac{u'_4}{l_x} &= 0,06 \\ \frac{v'_4}{l_x} &= 0,85 \end{aligned} \right\}$$

$$M_{14} = 18 \cdot 10^{-2} \quad M_{24} = 4,3 \cdot 10^{-2}$$

$$M_{x4} = (M_{14} + v M_{24}) P = 0,22 \text{ t.m}$$

$$M_{y4} = (M_{24} + v M_{14}) P = 0,084 \text{ t.m}$$

$$M_x^II = M_{x3} - M_{x4} = 0,085 \text{ t.m}$$

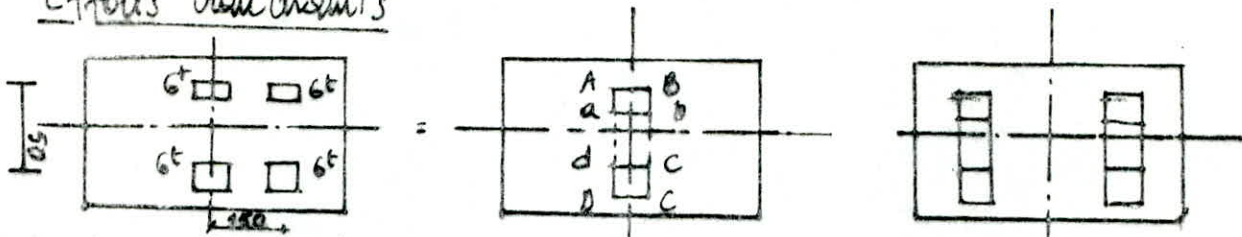
$$M_y^II = M_{y3} - M_{y4} = -0,013 \text{ t.m}$$

En définitif :

$$M_x = M_x^I + M_x^II = 0,945 \text{ t.m}$$

$$M_y = M_y^I + M_y^II = -0,187 \text{ t.m}$$

Efforts tranchants



Systeme I:

a. Surface ABCD

$u'_1 = 107 \text{ cm}$

$v'_1 = 57 \text{ cm}$

$P = u'_1 v'_1 \sigma' = 11,264 \text{ t}$

$u'_1 > v'_1$

$T_{u'_1} = 4157 \text{ kg/ml}$

$T_{v'_1} = 3509 \text{ kg/ml}$

b. Surface abcd

$u'_2 = 7 \text{ cm}$

$v'_2 = 57 \text{ cm}$

$P_2 = u'_2 v'_2 \sigma' = 0,737 \text{ t}$

$u'_2 < v'_2$

d'où

$T_{u'_2} = 431 \text{ kg/ml}$

$T_{v'_2} = 61 \text{ kg/ml}$

d'où $T_u^I = T_{u'_1} + T_{u'_2} = 4588 \text{ kg/ml}$

$T_v^I = T_{v'_1} + T_{v'_2} = 4120 \text{ kg/ml}$

Systeme II:

a. Surface AA₁A₂A₃

$u'_1 = 107 \text{ cm}$

$v'_1 = 357 \text{ cm}$

$P_1 = 70,95 \text{ t}$

$u'_1 < v'_1$

$T_{u'_1} = 6500 \text{ kg/ml}$

$T_{v'_1} = 8593 \text{ kg/ml}$

b. Surface BB₁B₂B₃

$u'_2 = 107 \text{ cm}$

$v'_2 = 243 \text{ cm}$

$P_2 = 40,02 \text{ t}$

$u'_2 < v'_2$

$T_{u'_2} = 6590 \text{ kg/ml}$

$T_{v'_2} = 8097 \text{ kg/ml}$

d'où

$T_u^{II} = 1/2(T_{u'_1} - T_{u'_2}) = 0$

$T_v^{II} = 1/2(T_{v'_1} - T_{v'_2}) = 248 \text{ kg/ml}$

Zone d'interférence:

SDD₁D₂D₃

$u'_3 = 7 \text{ cm}$

$v'_3 = 357 \text{ cm}$

$P_3 = 4,61 \text{ t}$

$u'_3 < v'_3$

$T_{u'_3} = 43 \text{ kg/ml}$

$T_{v'_3} = 64 \text{ kg/ml}$

Sec₁C₂C₃

$u'_4 = 7 \text{ cm}$

$v'_4 = 357 \text{ cm}$

$P_4 = 3,14 \text{ t}$

$u'_4 < v'_4$

$T_{u'_4} = 43 \text{ kg/ml}$

$T_{v'_4} = 64 \text{ kg/ml}$

d'où: $T_u^{II_1} = 1/2(T_{u'_3} - T_{u'_4}) = 0$

$T_v^{II_2} = 1/2(T_{v'_3} - T_{v'_4}) = 0$

Pour le système II: $T_u^{II} = T_u^{II_1} + T_u^{II_2} = 0$

$T_v^{II} = T_v^{II_1} + T_v^{II_2} = 248 \text{ kg/ml}$

Systeme en entier

$$T_{U'} = T_{U'}^I + T_{U'}^{II} = 4590 \text{ Kg/ml}$$

$$T_{V'} = T_{V'}^I + T_{V'}^{II} = 4370 \text{ Kg/ml}$$

En tenant compte de la majoration de 25%, on aura finalement pour le systeme Bc :

$$T_x = 1,25 T_{U'} = 5730 \text{ Kg/ml}$$

$$T_y = 1,25 T_{V'} = 5460 \text{ Kg/ml}$$

Surcharge Be moments flechissants

$$u' = 92 \text{ cm} \quad v' = 57 \text{ cm} \quad P = 8 \text{ t}$$

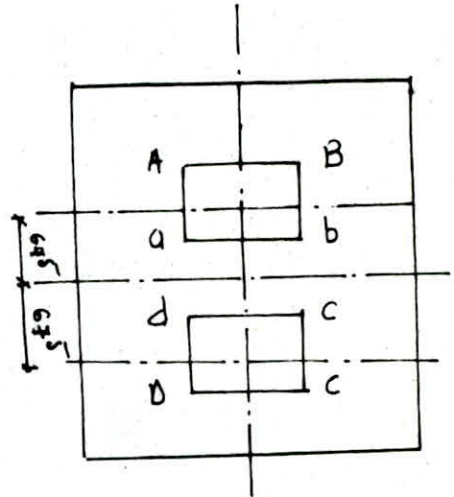
$$\left. \begin{array}{l} \alpha = 135 \text{ cm} \\ v' = 57 \text{ cm} \end{array} \right\} \Rightarrow v' < \alpha \text{ donc pas d'interference}$$

Surface ABCD

$$u'_1 = 92 \text{ cm} \quad v'_1 = 192 \text{ cm}$$

$$\sigma_1 = \frac{P}{u'v'} = 15,25 \text{ t/m}^2$$

$$\left. \begin{array}{l} \frac{u'}{l_x} = 0,839 \\ \frac{v'}{l_x} = 1,75 \end{array} \right\} \begin{array}{l} M_1 = \quad \quad \quad M_2 = \\ M_{x1} = (M_1 + \nu M_2) P = \\ M_{y1} = (M_2 + \nu M_1) P = \end{array}$$



Surface abcd

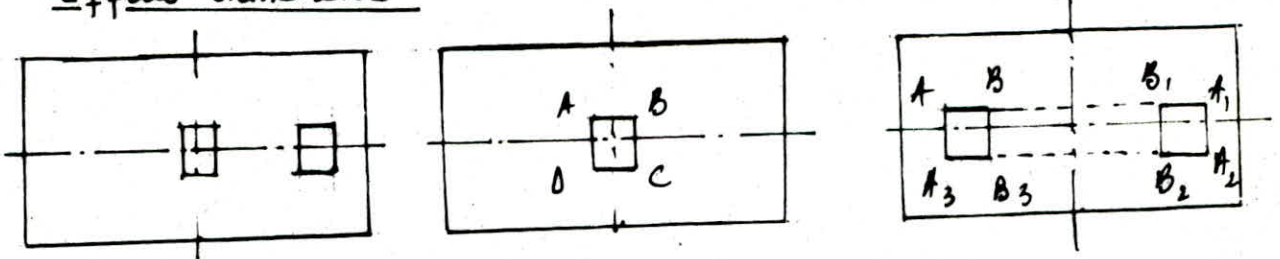
$$u'_2 = 92 \text{ cm} \quad v'_2 = 78 \text{ cm}$$

$$\left. \begin{array}{l} \frac{u'}{l_x} = 0,839 \\ \frac{v'}{l_x} = 0,712 \end{array} \right\} \begin{array}{l} M_1 = \quad \quad \quad M_2 = \\ M_{x2} = (M_1 + \nu M_2) P_2 = \\ M_{y2} = (M_2 + \nu M_1) P_2 = \end{array}$$

$$M_x = M_{x1} - M_{x2} =$$

$$M_y = M_{y1} - M_{y2} =$$

Efforts tranchants



L'effort tranchant est calculé de la même manière que BR

Systeme I

$$\left. \begin{array}{l} u' = 92 \text{ cm} \\ v' = 57 \text{ cm} \end{array} \right\} u' > v' \text{ d'où } T_{u'_1} = 3,319 \text{ t/ml}$$

$$T_{v'_1} = 2,898 \text{ t/ml}$$

Systeme II

Surface AA₁A₂A₃

$$\left. \begin{array}{l} u'_3 = 92 \text{ cm} \\ v'_3 = 327 \text{ cm} \end{array} \right\} u'_3 < v'_3$$

$$T_{u'_3} = 4,67 \text{ t/ml}$$

$$T_{v'_3} = 6,14 \text{ t/ml}$$

Surface BB₁B₂B₃

$$\left. \begin{array}{l} u'_4 = 92 \text{ cm} \\ v'_4 = 6,14 \text{ cm} \end{array} \right\} u'_4 < v'_4 \quad \begin{array}{l} T_{u'_4} = 4,67 \text{ t/ml} \\ T_{v'_4} = 5,76 \text{ t/ml} \end{array}$$

Pour le système II :

$$\begin{aligned} T_{u'_4}^{\text{II}} &= 1/2 (T_{u'_3} - T_{u'_4}) = 0 \\ T_{v'_4}^{\text{II}} &= 1/2 (T_{v'_3} - T_{v'_4}) = 0,197 \text{ t/ml} \end{aligned}$$

d'où :

$$\begin{aligned} T_{u'_4} &= T_{u'_4}^{\text{I}} + T_{u'_4}^{\text{II}} = 3,319 \text{ t/ml} \\ T_{v'_4} &= T_{v'_4}^{\text{I}} + T_{v'_4}^{\text{II}} = 3,088 \text{ t/ml} \end{aligned}$$

Finalement, les efforts tranchants engendrés par la surcharge Bt sont :

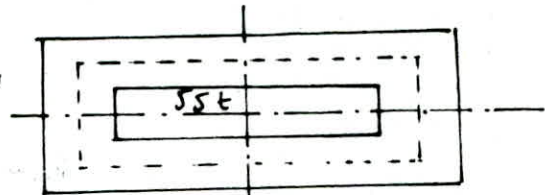
$$\begin{aligned} T_x &= 1,25 T_{u'_4} = 4,148 \text{ t/ml} \\ T_y &= 1,25 T_{v'_4} = 3,86 \text{ t/ml} \end{aligned}$$

Surcharge militaire MC120

$$\left. \begin{array}{l} u = 100 \text{ cm} \\ v = 610 \text{ cm} \end{array} \right\}$$

$$\left. \begin{array}{l} u' = 132 \text{ cm} \\ v' = 642 \text{ cm} \end{array} \right\}$$

$$\left. \begin{array}{l} \frac{u'}{u} = 1,00 \\ \frac{v'}{v} = 3 \end{array} \right\} \begin{array}{l} M_1 = 4 \cdot 10^{-2} \\ M_2 = 0,09 \cdot 10^{-2} \end{array} \quad \begin{array}{l} M_x = 1,657 \text{ t.m/ml} \\ M_y = 0,297 \text{ t.m/ml} \end{array}$$

Efforts tranchants

$$\left. \begin{array}{l} u' < v' \\ T_{u'} = 2,85 \text{ t/ml} \\ T_{v'} = 3,88 \text{ t/ml} \end{array} \right\} \Rightarrow \begin{array}{l} T_x = 3,56 \text{ t.m/ml} \\ T_y = 4,85 \text{ t.m/ml} \end{array}$$

Surcharge exceptionnelle D

C'est une surcharge dont la surface d'impact est $3,20 \times 18,60 \text{ m}$
Le procédé de calcul est le même pour les surcharges militaires

$$\left\{ \begin{array}{l} M_x = 2,08 \text{ t.m/ml} \\ M_y = 0,373 \text{ t.m/ml} \\ T_x = 5,29 \text{ t/ml} \\ T_y = 7,25 \text{ t/ml} \end{array} \right.$$

Coefficient de majoration dynamique

Les efforts dus aux surcharges B et militaires sont majorés par le coefficient de majoration dynamique δ défini par la formule suivante :

$$\delta = 1 + \frac{0,4}{1 + 0,2L} + \frac{0,6}{1 + 4P/5}$$

$L = \min(d_1, l)$ $d_1 = \max(l_n, l_p)$ l : portée des poutres principales

l_p = entre-axe des poutres principales

$$l_p = 9,08 \text{ m}$$

On trouve $L = l_p = 9,08 \text{ m}$

P: poids total du tablier à l'exception des poutres

S: surcharge totale que l'on peut disposer dans la distance L

Cas de Bc: $S = 1,1 \cdot 2 \cdot 30 = 66 \text{ t}$ (2 convois de 1 camion)

Cas de Bt: $S = 1,1 \cdot 2 \cdot 32 = 64 \text{ t}$ (2 tandems)

Tableau donnant les valeurs de S

Surcharge	BR	Bt	Bc	MC120
S	10	64	66	110
δ	1,16	1,238	1,241	1,29

A ces efforts seront ajoutés les efforts provenant de la flexion transversale, ainsi, on détermine le ferrailage.

Le panneau étant supposé semi-encasté $\rho = \frac{l_x}{l_y} < 0,4$

Suivant l_x :

$$M_{tx} = 0,18 M_x \quad M_{ax} = 0,5 M_x$$

Pour les surcharges uniformément réparties.

$$M_{tx} = 0,75 M_x \quad M_{ax} = 0,5 M_x$$

Pour les surcharges localisées.

Suivant l_y : $M_{ty} = 0,25 M_{tx}$ $M_{ay} = M_{ax}$

Les valeurs des moments fléchissants et efforts tranchants consignés dans ce tableau sont majorés par le coefficient de majoration dynamique et sont augmentés des moments de flexion transversale:

	G	A	Bc	BR	Bt	M120	D
$M_{tx} \text{ (tm/ml)}$	0,569	0,175	1,126	0,59	1,126	1,71	1,664
$M_{ty} \text{ (tm/ml)}$	0,142	0,044	0,281	0,147	0,281	0,427	0,416
$M_{ax} \text{ (tm/ml)}$	0,355	0,109	0,703	0,368	0,703	1,069	1,04
$T_x \text{ (t/ml)}$	0,653	0,798	8,533	7,073	0,798	4,596	5,29
$T_y \text{ (t/ml)}$	0,569	0,532	8,131	6,304	6,59	6,256	4,25

Etude des sollicitations maximalesSurcharge civile : $G + 1,2 S$ Surcharge militaire : $G + S$ Sens lx :

La combinaison la plus défavorable est occasionnée par MC120

$$M_{lx} = 2,279 \text{ t.m/ml}$$

$$M_{ax} = 1,424 \text{ t.m/ml}$$

Sens ly :La combinaison la plus défavorable est occasionnée par le convoi D en travée : $M_{ly} = 0,56 \text{ t.m/ml}$ tandis que MC120 à l'appui : $M_{ay} = 1,069 \text{ t.m/ml}$ Efforts tranchants :

La surcharge BC occasionne la combinaison la plus défavorable

$$T_x = T_{xG} + 1,2 T_{xBC} = 10,89 \text{ t/ml}$$

$$T_y = T_{yG} + 1,2 T_{yBC} = 10,326 \text{ t/ml}$$

Détermination du ferrailage :On a un hourdis d'épaisseur $h_t = 20 \text{ cm}$. Le diamètre ϕ des armatures à utiliser doit vérifier la relation $\phi \leq \frac{h_t}{10} = 20 \text{ mm}$ Suivant lx

$$\mu = \frac{15M}{\sigma_a \cdot b \cdot h^2} = \frac{15 \cdot 1,424 \cdot 10^5}{2800 \cdot 100 \cdot 17^2} = 0,0263 \quad \left\{ \begin{array}{l} \varepsilon = 0,9296 \\ k = 56 \end{array} \right.$$

$$A = \frac{M}{\sigma_a \cdot \varepsilon \cdot h} = \frac{1,424 \cdot 10^5}{2800 \cdot 0,9296 \cdot 17} = 3,92 \text{ cm}^2 \text{ soit } 6T10 = 4,71 \text{ cm}^2$$

$$\text{Ferrailage inférieur : } \mu = \frac{15M}{\sigma_a \cdot b \cdot h^2} = \frac{15 \cdot 2,27 \cdot 10^5}{2800 \cdot 100 \cdot 17^2} = 0,042 \quad \left\{ \begin{array}{l} \varepsilon = 0,9126 \\ k = 42,2 \end{array} \right.$$

$$A = \frac{M}{\sigma_a \cdot \varepsilon \cdot h} = \frac{2,27 \cdot 10^5}{2800 \cdot 0,9126 \cdot 17} = 6,78 \text{ cm}^2$$

Suivant ly

Ferrailage inférieur

$$\mu = \frac{15M}{\sigma_a \cdot b \cdot h^2} = \frac{15 \cdot 0,56 \cdot 10^5}{2800 \cdot 100 \cdot 15,6^2} = 0,0123 \quad \left\{ \begin{array}{l} \varepsilon = 0,9505 \\ k = 86 \end{array} \right.$$

$$A = \frac{M}{\sigma_a \cdot \varepsilon \cdot h} = 1,35 \text{ cm}^2 \text{ soit } 6T10 = 4,71 \text{ cm}^2$$

Ferrailage supérieur

$$\mu = \frac{15M}{\sigma_a \cdot b \cdot h^2} = \frac{15 \cdot 1,069 \cdot 10^5}{2800 \cdot 100 \cdot 15,6^2} = 0,0235 \quad \left\{ \begin{array}{l} \varepsilon = 0,9326 \\ k = 59,25 \end{array} \right.$$

$$A = \frac{M}{\sigma_a \cdot \varepsilon \cdot h} = \frac{1,069 \cdot 10^5}{2800 \cdot 0,9326 \cdot 15,6} = 2,62 \text{ cm}^2$$

Soit $6T10 = 4,71 \text{ cm}^2$

VerificationsVérification au cisaillement

$$\tau_b = \frac{T}{b \cdot z} \leq \bar{\tau}_b = 1,15 \bar{\sigma}_b = 8,8 \text{ Kg/cm}^2$$

Suivant l_x :

$$T_x = 10,89 \text{ t}$$

$$\bar{\tau}_b = 7,32 \text{ Kg/cm}^2$$

$$b = 100 \text{ cm}$$

$$z = 7/8 h = 14,87 \text{ cm}$$

$$\bar{\tau}_b < \bar{\tau}_b$$

Suivant l_y :

$$T_y = 10,326 \text{ t}$$

$$b = 100 \text{ cm}$$

$$z = 13,65 \text{ cm}$$

$$\bar{\tau}_b = 7,56 \text{ kg/cm}^2 < \bar{\tau}_b = 8,8 \text{ kg/cm}^2$$

$\bar{\tau}_b < 1,15 \bar{\sigma}_b$ il n'y a pas de discontinuité
On ne prévoit pas d'armatures transversales.

Verification au poinçonnement

Pour les charges localisées, une vérification au poinçonnement est nécessaire.

Condition de non poinçonnement

$$\tau_{max} = 1,5P/P_c \cdot h_0 < 1,2 \bar{\sigma}_b = 9,18 \text{ Kg/cm}^2$$

P: charge localisée

h₀: épaisseur de la dalle iP_c: périmètre du contour de diffusion sur le plan moyen de la dalle

charge	P _c = 2(u' + u'')	P (Kg)	h ₀ (cm)	$\frac{1,5P}{P_c \cdot h_0}$	conclusion
BR	308	10000	20	2,44	verifié
Roue avant Bc	208	3000	20	1,08	verifié
Roue arrière Bc	228	6000	20	1,97	verifié
Roue Bt	298	8000	20	2,01	verifié

Condition de non fragilité du béton

La section réelle A des armatures longitudinales tendues doit être égale ou supérieure à :

$$A = \text{Max}(A_0, \min(A_1, A_2)) \text{ avec :}$$

A₀: section d'armature au travée qui résiste aux sollicitationsA₁: section d'armature susceptible de résister aux sollicitations précédentes majorées de 20%

$$\text{Pour une dalle : } A_1 = 1,2 A_0 \quad \rho = l_x / l_y = 0,045$$

$$\text{Suivant l}_x : A_2 = 0,69 \bar{\sigma}_b / \sigma_{en} \cdot b h \cdot (e - e') / 2$$

$$\text{Suivant l}_y : A_2 = 0,69 \bar{\sigma}_b / \sigma_{en} \cdot b h \cdot (1 + e) / 4$$

$$\text{Suivant l}_x : A_0 = 6,78$$

$$A_1 = 1,2 A_0 = 8,14 \text{ cm}^2$$

$$A_2 = 2,04 \text{ cm}^2$$

$$A = \text{Max}(A_0, \min(A_1, A_2))$$

$$= 6,78 \text{ cm}^2$$

$$\text{Suivant l}_y : A_0 = 4,71 \text{ cm}^2$$

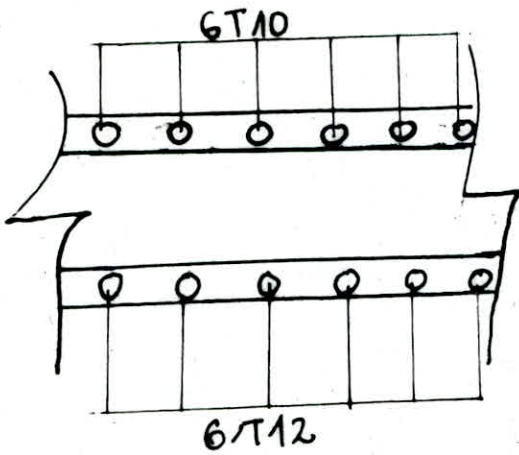
$$A_1 = 1,2A_0 = 5,65 \text{ cm}^2$$

$$A_2 = 0,50 \text{ cm}^2$$

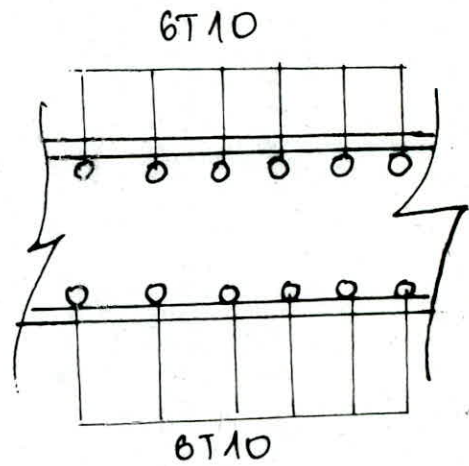
$$A = \text{Max}(A_0, \min(A_1, A_2))$$

$$A = 4,71 \text{ cm}^2$$

Schema de Ferrailage



suivant x

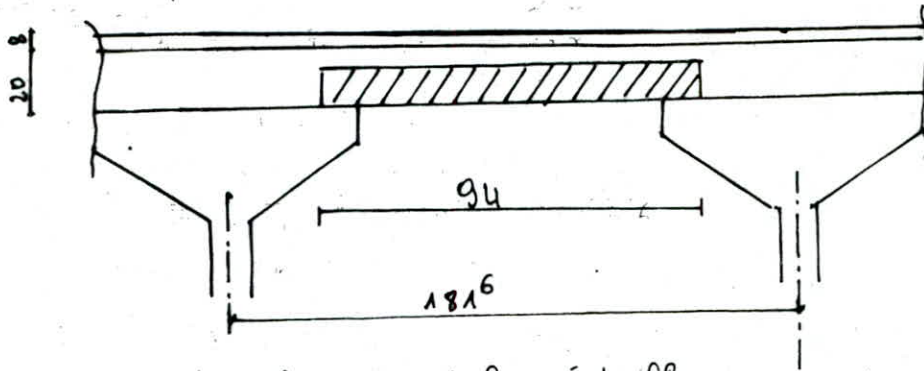


suivant y

ETUDE DE LA PREDALLE

Rôle de la prédalle

Le rôle essentiel de la prédalle est de servir comme coffrage de la dalle. Le coffrage ne sera plus récupérable (coffrage perdu). La prédalle permet aux ouvriers de circuler plus facilement pendant la mise en service du hourdis.



Charges et surcharges de la prédalle

Charges : revêtement et ancrage : $0,08 \cdot 2,35 = 0,188 \text{ t/m}^2$
 Poids propre du hourdis : $2,5 \cdot 0,2 = 0,5 \text{ t/m}^2$
 $G = 0,688 \text{ t/m}^2$

Surcharges : surcharge des ouvriers : $S = 150 \text{ Kg/m}^2$
 $G + 1,2 S = 0,868 \text{ t/m}^2$

La prédalle travaille dans un seul sens suivant sa largeur $L = 0,94 \text{ m}$

Elle se calcule comme une poutre simplement appuyée

$$M_0 = q \cdot l^2 / 8 = 0,868 \cdot 0,94^2 / 8 = 0,095 \text{ t} \cdot \text{m} / \text{ml}$$

Fermeture : méthode de charon

Acier $\Phi \leq \frac{h_t}{10} = 5 \text{ mm}$

$$h = h_t - d = 5 - 1,25 = 3,75 \text{ cm}$$

$$\mu = \frac{15 M}{\bar{\sigma}_a \cdot h^2 \cdot b} = \frac{15 \cdot 0,095 \cdot 10^5}{2800 \cdot 3,75^2 \cdot 0,816} = 0,044 \quad \left\{ \begin{array}{l} \epsilon = 0,911 \\ k = 41,2 \end{array} \right.$$

$$A_1 = M_0 / \epsilon h \cdot \bar{\sigma}_a = 0,993 \text{ cm}^2$$

$$\bar{\sigma}_b' = \frac{\bar{\sigma}_a}{k} = 67,96 < \bar{\sigma}_b = 90 \text{ kg/cm}^2$$

Soit 6T5/ml (A = 1,17 cm²)

L'autre sens :

$$A_2 = 0,25 A_1 = 0,25 \cdot 0,993 = 0,25 \text{ cm}^2$$

Soit 2T5 = 0,39 cm²

chap VI

ETUDE DE LA PRECONTRAINTE

Hypothèse de calcul

Tous les points d'une poutre qui se trouvent avant déformation dans une section plane perpendiculaire à l'axe se trouvent après déformation dans une section plane perpendiculaire à l'axe déformée (Hypothèse Navier-Bernoulli). En conséquence, la répartition des contraintes dans une section quelconque se fera suivant un diagramme linéaire. Les règles classiques de la R.D.M sont applicables. Le béton précontraint étant considéré comme matériau homogène non fissuré.

Notation:

- B : aire de la section droite
 I : moment d'inertie de la section droite
 i : Rayon de gyration
 V_s, V_i : distances respectives du C.D.G à la fibre supérieure et inférieure
 w_s, w_i : module de déformation
 e_0 : excentricité de la force précontrainte

Nombre de cables:

$$\begin{aligned} V_i &= 105,36 \text{ cm} & i^2 &= 2166,6 \text{ cm}^2 & I &= 16482734,96 \text{ cm}^4 \\ V_s &= 44,64 \text{ cm} & B &= 7607,6 \text{ cm}^2 & e &= 96 \text{ cm} \end{aligned}$$

Contrainte élémentaire dans le béton:

Sous charge permanente : $M_G = 234 \text{ t.m}$

fibre supérieure : $\sigma_G = (M_G/I_G) \cdot V_s = 63,40 \text{ Kg/cm}^2$

fibre inférieure : $\sigma_G' = (M_G/I_G) \cdot V_i = 149,64 \text{ Kg/cm}^2$

Sous charge exceptionnelle : $M_Q = 250 \text{ t.m}$

fibre supérieure : $\sigma_Q = M_Q \cdot V_s / I_G = 67,71 \text{ Kg/cm}^2$

fibre inférieure : $\sigma_Q' = M_Q \cdot V_i / I_G = 159,80 \text{ Kg/cm}^2$

La contrainte de traction dans la fibre inférieure

$$\sigma = \sigma_Q + \sigma_G = 309,44 \text{ Kg/cm}^2$$

La poutre est sollicitée en flexion composée sous l'action de l'effort précontraint P

fibre supérieure : $\sigma_p = \frac{P}{B_{net}} \left(1 + \frac{e V_s}{i^2} \right)$

fibre inférieure : $\sigma_p' = \frac{P}{B_{net}} \left(1 - \frac{e V_i}{i^2} \right)$

$$\sigma_p' = \frac{P}{B_{net}} \left(1 - e \frac{V_i}{i^2} \right) \geq \sigma \quad \text{d'où } P = 415,30 \text{ t}$$

Les pertes de tension sont estimées à 20%. L'intensité de force de précontrainte à donner est:

$$P_0 = 1,2P = 498,40 \text{ t}$$

L'additif IP1 limite la contrainte du câble de la mise en tension à l'origine (à l'ancrage) à:

$$\sigma_0 = \min(0,85 \text{ Kg} ; 0,95 T_g)$$

$$\sigma_0 = \min(0,85 \cdot 18490 ; 0,95 \cdot 15720)$$

$$\sigma_0 = 14934 \text{ kg/cm}^2$$

Le nombre de câbles est: $n = \frac{P_0}{w_0 \cdot \sigma_0} = \frac{498,4 \cdot 10^3}{9,73 \cdot 14934} = 3,5$

On prend 4 câbles type 7T15 TBR FREYSSINET

Trace des câbles

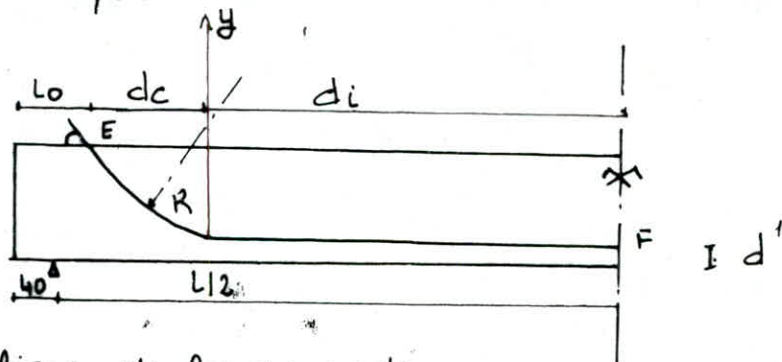
Le nombre de câbles qui assurent à l'about est $m = \left(\frac{1}{2} \sqrt{\frac{2}{3}}\right) n$
 Dans ce cas $m = 2$. Les deux autres câbles émergent au niveau de la surface.

Relevage des câbles

Vue la symétrie de la poutre et le type d'ouvrage utilisé, on fait une description sur une 1/2 portée

La zone de relevage des câbles est définie par la longueur L_0
 $L/4 \leq L_0 \leq L/3$

- L'angle des sortie des câbles émergents vaut $24^\circ 15'$
 - L'angle de sortie du câble d'about est tel que $0 < \alpha < 20^\circ$
 - Le rayon de courbure R des câbles $R > 800 \phi$
- Chaque câble présente une partie rectiligne et une partie parabolique



- OF : zone rectiligne de longueur d_i
 OE : zone parabolique d'équation $y = ax^2$
 d_i : distance comprise entre le milieu de la poutre et le commencement du relevage
 d_c : projection horizontale de la partie parabolique
 soit x l'abscisse d'un point de la partie parabolique
 O étant l'origine et y son ordonnée, on a :

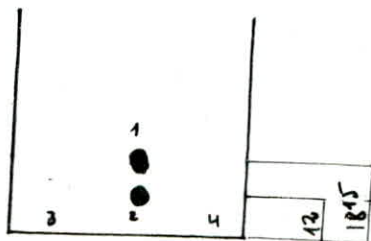
$$y = ax^2 \Rightarrow \frac{dy}{dx} = 2ax$$

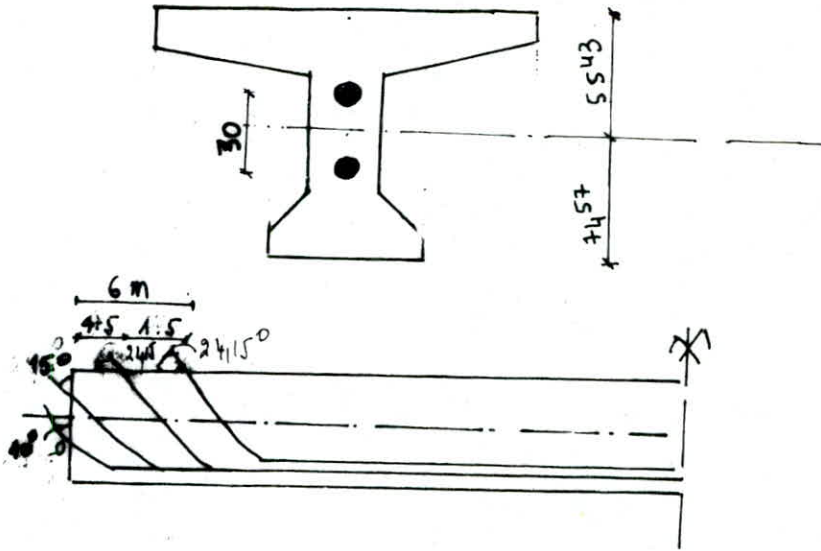
$$x = d_c \Rightarrow y = a d_c^2 \text{ et } \operatorname{tg} \alpha = \left(\frac{dy}{dx} \right)_{x=d_c} = 2a d_c$$

$$d'où : a = \frac{\operatorname{tg}^2 \alpha}{4y} \quad d_c = \frac{\operatorname{tg} \alpha}{2a}$$

Disposition des câbles à la section médiane

Médiane



A l'état

Valeur de d_i et d_c pour chaque câble

cables	$\alpha(0)$	$d'(cm)$	$Y(cm)$	$\alpha(m^{-1})$	$d_c(m)$	$d_i(m)$
1	24,15	18,15	111,85	0,045	4,98	1,72
2	24,15	12,05	117,95	0,043	5,21	2,59
3	15	12,05	77,52	0,023	5,82	6,02
4	10	12,05	47,52	0,016	5,51	7,19

Calcul des caractéristiques géométriques nettes des sections et des excentricités du câble équivalent dans chaque section :

Excentricité du câble équivalent dans une section :

L'effort de précontrainte totale a 2 composantes :

$$N = \sum P \cos \alpha_i = P \sum \cos \alpha_i$$

$$V = \sum P \sin \alpha_i = P \sum \sin \alpha_i$$

N : composante horizontale

V : composante verticale

P : effort de précontrainte d'un seul câble $P = 498,4/4 = 124,6t$

z_i : distance du point d'application du câble (i) à la fibre supérieure de la section

Z : distance du point d'application du câble équivalent à la fibre supérieure

On présente en présent décalent pour la section du quart :

$$L/4 = 6,15 \text{ cm}$$

$$X_i(L/4) = L/4 - d_i$$

$$Y_i(L/4) = \alpha_2 X_i^2$$

$$\alpha = \text{Arctg} (2 \alpha_i X_i)$$

$$z_i = h - (y_i + d_i)$$

cables	$\alpha(\circ)$	$y_i(\text{cm})$	z_i	$\cos \alpha_i$	$z_i \cos \alpha_i$	z_i^2
1	21,73	88,31	50,54	0,929	46,95	2554,3
2	15,20	42,94	102,01	0,965	98,44	10406,4
3	0	0	144,95	1	144,95	21010,5
4	0	0	144,95	1	144,95	21010,5
			Σ	3,894	435,39	54891,69

$$z = \frac{\Sigma z_i \cos \alpha_i}{\Sigma \cos \alpha_i} = 111,34 \text{ cm}$$

Caractéristique de la section nette (4/4)

Aire des troncs des cables : $B(\phi) = 116,89 \text{ cm}^2$

$$S_{\Delta}(\phi) = 116,89 \cdot 111,34 = 13014,53 \text{ cm}^3$$

$$I_{\phi}(\phi) = \frac{\pi \cdot 6,1^4}{64} + \frac{\pi \cdot 6,1^2}{4} = 54891,69 = 1606880,12 \text{ cm}^4$$

$$B_{\text{net}} = B_{\text{brut}} - B(\phi) = 8008 - 116,89 = 7891,11 \text{ cm}^2$$

$$S_{\text{net}} = S_{\text{brut}} - S(\phi) = 369186,88 - 13014,53 = 356172,33 \text{ cm}^3$$

$$I_{\text{net}} = I_{\text{brut}} - I(\phi) = 35764659,6 - 1606880,12 = 33557779,48$$

$$V_s = \frac{S_{\text{net}}}{B_{\text{net}}} = 45,21 \text{ cm} \quad V_i = 104,79 \text{ cm}$$

$$e = V_s - z = -66,10 \text{ cm}$$

$$I_G = I_{\text{net}} - S_{\Delta} \cdot V_s = 17430059,13 \text{ cm}^4 \quad i^2 = 2208,82 \text{ cm}^2$$

Résultats récapitulatifs

$$B_{\text{net}} = 7891,11 \text{ cm}^2$$

$$z = 111,34 \text{ cm}$$

$$S_{\Delta}^{\text{net}} = 356729,05 \text{ cm}^3$$

$$i^2 = 2208,82 \text{ cm}^2$$

$$I_{\Delta}^{\text{net}} = 33557779,48 \text{ cm}^4$$

$$V_s = 45,21 \text{ cm}$$

$$I_G = 17430059,13 \text{ cm}^4$$

$$V_i = 104,79 \text{ cm}$$

$$e = -66,13 \text{ cm}$$

Tableau donnant les caractéristiques géométriques des sections nettes et l'excentricité des cables correspondant.

	B (cm ²)	Ic (cm ⁴)	x^2 (cm ²)	v (cm)	v_c (cm)	e (cm)	$Z \cos \alpha$	z (cm)
L/2	7891,11	17019895,41	2156,85	44,66	105,34	-98,76	4	143,42
L/4	7891,11	17430059,13	2208,82	45,21	104,79	-66,11	3,894	171,34
About	7949,55	19684417,29	2177,25	49,74	100,26	-25,88	1,951	75,57
Avant cable 1	7891,11	16479916,98	2088,41	46,62	103,38	-65,87	3,635	112,48
Après cable 1	7920,3	17534057,56	2213,8	45,23	104,77	-79,64	2,95	124,87
Avant cable 2	7920,3	17186832,22	2169,97	45,46	104,53	-57,99	2,912	103,45
Après cable 2	7949,55	17346022,28	2182,91	45,75	104,25	-48,69	2,997	97,44

1^{er} fuseau limite

C'est le fuseau à l'intérieur duquel doit se trouver le câble équivalent pour qu'il n'y aurait pas de traction (quelque soit le cas de charges) sur l'une ou l'autre des fibres extrêmes.

$$e_1 = a' - M_G/N \quad e_2 = a - (M_G + M_Q)/N$$

$$\text{avec } a' = -i_1^2/v_s \quad a = i_2^2/v_a$$

a et a' sont les limites du noyau central

2^e fuseau limite

C'est le fuseau à l'intérieur duquel doit se trouver le câble équivalent pour que la contrainte maximale de compression reste inférieure ou égale à $\bar{\sigma}'$ (contrainte admissible de compression) sur l'une ou l'autre des fibres extrêmes et quel que soit le cas de charge.

Le fuseau défini par les 2 valeurs limites :

$$s = \left(\frac{\sigma_B}{N} - 1 \right) \frac{x^2}{v_s} - \frac{M_G + M_Q}{N}$$

$$s' = - \left(\frac{\sigma_B}{N} - 1 \right) \frac{x^2}{v_i} - \frac{M_G}{N}$$

Cable équivalent

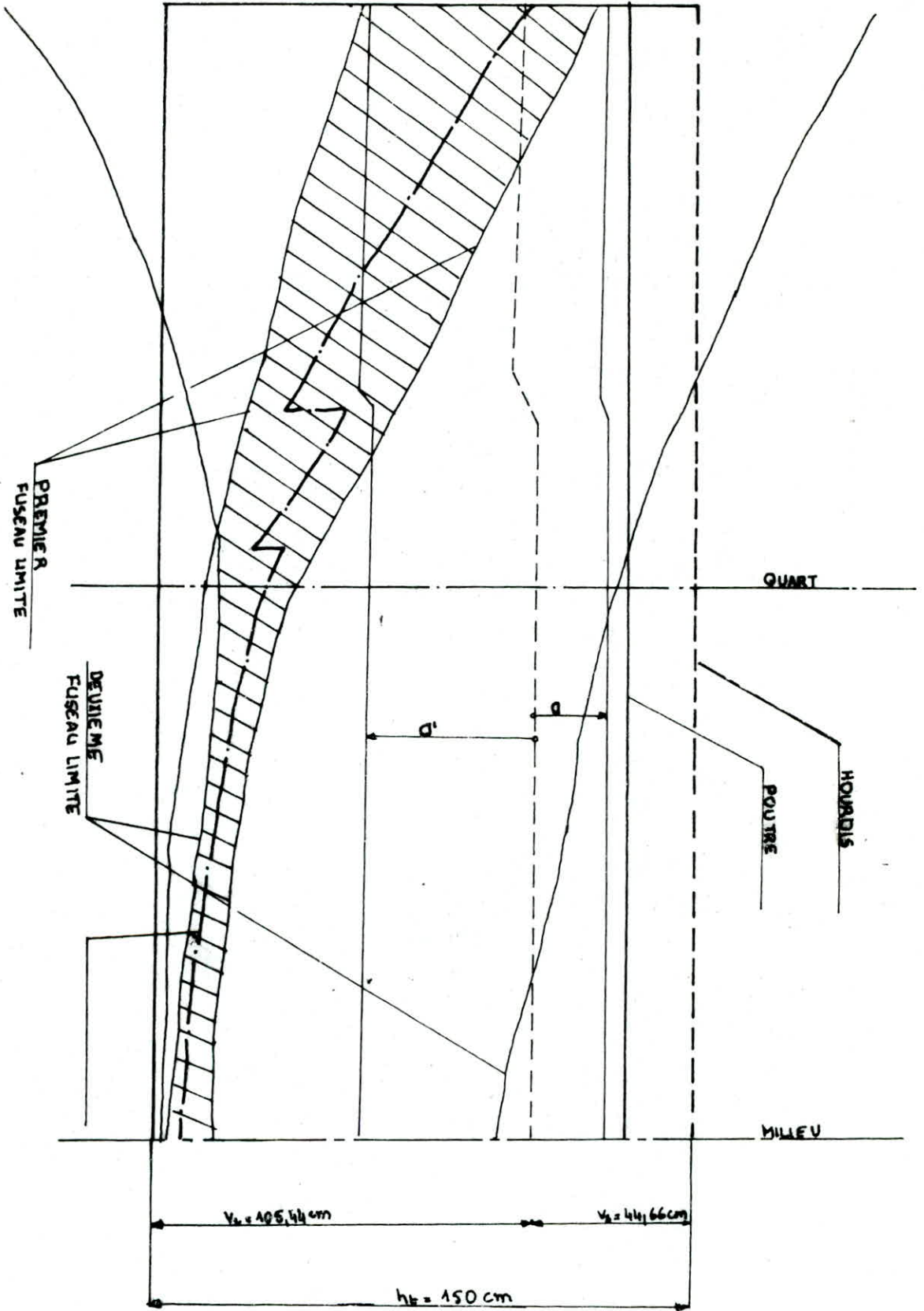
Dans une section de béton précontraint traversé par plusieurs câbles, on peut remplacer fictivement l'ensemble des forces de précontraintes pour leur résultante P appliquée en un point E . L'ensemble des câbles en question peut être donc assimilé pour la section considérée à un passant par E tangent à la ligne d'action des P et dont la tension au point E serait égale à P . Le lieu de tous les points E de la poutre donne le tracé dit "cable équivalent". Les valeurs e_1, e_2, e, s, s' pour les sections d'about, médiane et du quart sont regroupées

dans ces tableaux. Les valeurs vont servir pour tracer le fuseau limite
 limite 1^{er} fuseau limite

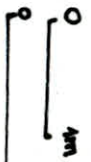
Section	$M_G(t.m)$	$M_Q(t.m)$	$N(t)$	M_G/N (cm)	$(M_G+M_Q)/N$ (cm)	a (cm)	a' (cm)	e_1 (cm)	e_2 (cm)
Mediane	234,10	250	415,3	56,34	116,54	20,47	48,29	104,63	96,07
Quart	175,58	187,52	404,3	43,42	89,6	21,08	48,86	92,28	68,6
About	0	0	202,56	0	0	21,27	43,77	43,77	21,27

2^e fuseau limite

Section	S (cm ²)	$N(t)$	a (cm)	a (cm)	$\frac{M_G}{N}$ (cm)	$\frac{M_G}{N}$ (cm)	$\frac{M_G+M_Q}{N}$ (cm)	s (cm)	s' (cm)
Mediane	7891,11	415,3	48,29	20,47	3,19	56,34	116,54	-10,78	-101,17
Quart	7891,11	404,3	48,86	21,08	3,28	43,42	89,6	21,79	-91,48
About	8982,5	202,56	43,77	21,27	7,45	0	0	282,32	-137,19



Échelles
 Longueur
 hauteur



CIVIL EQUIPMENT FOR FOREMAN LIMITS

Chap III

PERTES ET CHUTES DE TENSION

GENERALITES

La perte précontrainte est la différence entre la force exercée par le ver sur le câble lors de la mise en tension et la force qui s'exerce sur un pont donné.
Il existe deux sortes de pertes précontraintes dans le cas de la précontrainte par post-tension:

- Pertes instantanées :
 - Frottement
 - Recul d'ancrage
 - Raccourcissement instantané du béton
- Pertes différées :
 - Fluage
 - Retrait du béton
 - Relaxation des aciers

PERTES INSTANTANÉES

Frottement : Les pertes dues aux frottements peuvent être évaluées par : $\Delta\sigma_{fr} = \sigma_0 (f \cdot \alpha + eL)$ avec :

f : coefficient de frottement câble-gaine $f = 0,17 \text{ rd}^{-1}$

e : coefficient de perte de ligne ($e = 0,002 \text{ rd} \cdot \text{m}^{-1}$)

L : longueur du câble

Le tracé de la courbe du câble est parabolique d'équation $y = ax^2$ d'où $y = 2ax dx$. En effectuant un changement de variables, on obtient :

$$L_c = \frac{1}{4a} \left(L_n(2ax + \sqrt{1+(2ax)^2}) + 2ax \sqrt{1+(2ax)^2} \right)$$

Pertes par frottements entre la section d'about et la section médiane

Cable	$\alpha(0)$	$\alpha(\text{rd})$	$X(\text{m})$	$L_c(\text{m})$	$L_d(\text{m})$	$L(\text{m})$	$\Delta\sigma_{fr} \left(\frac{\text{kg}}{\text{cm}^2} \right)$
1	24,15	0,423	4,98	5,14	10,12	15,26	1529,69
2	24,15	0,423	5,21	5,66	10,87	16,53	1567,62
3	15	0,262	5,82	5,89	11,71	17,6	1190,84
4	10	0,174	5,51	5,54	11,05	10,69	937,26
							$\Delta\sigma_{\text{moy}} = 1306,35 \text{ kg/cm}^2$

Perte par frottement entre la section d'about et la section d'émergence du câble 1.

cable	$\alpha(\circ)$	$\alpha(\text{rd})$	$x(\text{m})$	$L_c(\text{m})$	$L_d(\text{m})$	$L(\text{m})$	$\Delta\sigma_{fr}(\frac{\text{kg}}{\text{cm}^2})$
1	17,7	0,308	3,71	3,72	0	3,72	83,05
2	0	0	0	0	0	0	0
3	0	0	0	0	0	0	0

$$\Delta\sigma_{\text{moy}} = 297,68 \text{ kg/cm}^2$$

Parte de frottements entre la section d'about et la section d'émergence du câble 2

cable	$\alpha(\circ)$	$\alpha(\text{rd})$	$x(\text{m})$	$L_c(\text{m})$	$L_d(\text{m})$	$L(\text{m})$	$\Delta\sigma_{fr}(\text{kg/cm}^2)$
3	3,63	0,063	1,32	1,32	0	1,32	199,37
4	1,85	0,032	1,01	1,01	0	1,01	111,41

$$\Delta\sigma_{\text{moy}} = 297,68 \text{ kg/cm}^2$$

Recul d'ancrage

Ces pertes sont dues à l'enfoncement de l'appareil d'ancrage.

Soit x la longueur de l'armature sur laquelle s'effectue la perte par recul d'ancrage (x est la même à partir de l'extrémité de la poutre).

$$x = \sqrt{\frac{g E_a}{\sigma_0 (2 + g \frac{L}{x})}} = \sqrt{\frac{g L E_a}{\Delta\sigma_{fr}}}$$

La perte par recul d'ancrage est donnée par la formule:

$$\Delta\sigma_{\text{recul}} = 2\sigma_0 (f\alpha + gL) = 2 \frac{g}{x} E_a$$

En un point quelconque de l'armature, l'abscisse x (origine prise à l'ancrage):

$$x < X \text{ on a: } \Delta\sigma(x) = \Delta\sigma_{\text{recul}} \cdot \frac{x-x}{x}$$

$$\Delta\sigma_x = 2g E_a \frac{x-x}{x}$$

Le tableau suivant donne les valeurs des pertes par recul d'ancrage pour quelques sections:

	$x(\text{m})$	Appui	4,5m	6,0m	L/2
1	10,23	—	—	848,81	—
2	10,52	—	1142,31	857,68	—
3	12,45	1686,75	1077,08	873,86	—
4	13,63	1540,72	1032,05	862,49	150,34

Raccourcissement instantané du béton

Les pertes par raccourcissement instantané du béton sont données par la relation :

$$\Delta \sigma_{\text{racc}} = 1/2 \cdot (E_2/E_c) \cdot \sigma'_{bj}$$

σ'_{bj} : contrainte probable du béton au niveau du centre de gravité des armatures de précontrainte dans la section considérée sous l'effet de toutes les longues durées.

$$\sigma'_b = \frac{N}{B} + \frac{N \cdot e^2}{I} + \frac{M_G \cdot e}{I}$$

A mi-travée: $\sigma'_b = \frac{415,3 \cdot 10^3}{789,11} + \frac{415,3 \cdot 10^3}{17019895,41} (98,76)^2 + \frac{234 \cdot 10^5 (-89,76)}{17019895,41}$

$$\sigma'_b = 167,21 \text{ Kg/cm}^2$$

A L/4 :

$$\sigma'_b = \frac{404,3 \cdot 10^3}{789,11} + \frac{404,3 \cdot 10^3}{17019895,41} (66,11)^2 + \frac{175,58 \cdot 10^5 \cdot 66,11}{17019895,41}$$

$$\sigma'_b = 86,85 \text{ Kg/cm}^2$$

$$\sigma'_{bj} = \sigma'_{b\text{moy}} = \frac{167,21 + 86,85}{2} = 127,03 \text{ Kg/cm}^2$$

$$E_2 = 2,1 \cdot 10^6 \text{ Kg/cm}^2 \quad E_c = 2,1 \cdot 10^4 \sqrt{\sigma'_{28}} \quad \sigma'_{28} = 400 \text{ Kg/cm}^2$$

$$\Delta \sigma_{\text{racc}} = 1/2 E_2/E_c \cdot \sigma'_{bj} = 317,57 \text{ Kg/cm}^2$$

Pertes différées

a. Fluage: $\Delta \sigma_{\text{fluage}} = 2 \cdot \frac{E_2}{E_c} \sigma'_{bj} = 1270,3 \text{ Kg/cm}^2$

b. Retrait: $\Delta \sigma_{\text{retrait}} = \epsilon_r \cdot E_2 = 3 \cdot 10^{-4} \cdot 2,1 \cdot 10^6 = 630 \text{ Kg/cm}^2$

c. Relaxation des aciers: D'après l'IPZ on a:

$$\Delta \sigma_{\text{rel}} = \text{Max} \left\{ \begin{array}{l} 2,4 \cdot \frac{P_{1000}}{100} \cdot \frac{\sigma_{pc} - 0,55 R_g}{0,25 R_g} \cdot \sigma_{pc} \\ \frac{(P_{2000} + 2,5) 10}{1000} \cdot \frac{\sigma_{pc} - 0,55 R_g}{0,25 R_g} \cdot \sigma_{pc} \end{array} \right.$$

$$P_{1000} = 2,5\% \quad P_{2000} = 6\% \quad R_g = 18480 \text{ Kg/cm}^2$$

$$\sigma_{pc} = \sigma_0 - \sum \Delta \sigma_{\text{inst}}$$

A l'about $\sigma_{pc} = 14934 - 1613,73 - 317,57 = 13002,7 \text{ Kg/cm}^2$

A la section d'émergence du câble 2 :

$$\sigma_{pc} = 14934 - 1083,81 - 317,57 - 155,39 = 13377,23 \text{ Kg/cm}^2$$

A la section d'émergence du câble 1 :

$$\sigma_{pc} = 14934 - 297,68 - 860,71 - 315,57 = 13459,04 \text{ Kg/cm}^2$$

A la section médiane

$$\sigma_{pc} = 14934 - 317,57 - 150,34 = 14466,09 \text{ Kg/cm}^2$$

La contrainte moyenne : $\sigma_{pc, moy} = 13576 \text{ Kg/cm}^2$
d'où

$$\Delta\sigma_{rel} = \max \begin{cases} 6,00 \text{ Kg/cm}^2 \\ 256,12 \text{ Kg/cm}^2 \end{cases}$$

$$\Delta\sigma_{rel} = 256,12 \text{ Kg/cm}^2$$

Les résultats obtenus sont adoptés pour toutes les sections ;
Toutefois, l'IP2 propose de prendre les pertes différenciées égales à :

$$\Delta\sigma_{diff} = \begin{cases} \Delta\sigma_{ret} + \Delta\sigma_{fe} - \Delta\sigma_{rel} - \frac{\Delta\sigma_{rel}(\Delta\sigma_{rel} + \Delta\sigma_{pe})}{\sigma_p - 0,55 R_g} \\ \text{si } \Delta\sigma_{ret} + \Delta\sigma_{fe} < \sigma_{pe} - 0,55 R_g \\ \Delta\sigma_{ret} + \Delta\sigma_{fe} \quad \text{sinon} \end{cases}$$

$$\Delta\sigma_{ret} + \Delta\sigma_{fe} = 1270,3 + 630 = 1900,3 \text{ Kg/cm}^2$$

$$\sigma_{pe} - 0,55 R_g = 13576 - 0,55 \cdot 18400 = 3406,5 \text{ Kg/cm}^2$$

On a : $\Delta\sigma_{ret} + \Delta\sigma_{fe} < \sigma_{pe} - 0,55 R_g$ d'où

$$\Delta\sigma_{diff} = 1900,3 + 256,12 - \frac{256,12 \cdot 1900,3}{3406,5}$$

$$\Delta\sigma_{diff} = 2013,54 \text{ Kg/cm}^2$$

chap VIII VERIFICATIONS DES CONTRAINTES NORMALES

Differentes phases d'exécution

Les vérifications se feront suivant les phases d'exécution ci-après :

Phase 1 : coulage de la poutre. Après durcissement suffisant du béton, on met en tension la première série de câbles (3,4). Les opérations seront exécutées au sol.

Les contraintes qui se développent au milieu de la section résistante (poutre seule) : poids propre de la poutre et la précontrainte de la première série de câbles.

Phase 2 : Exécution de la dalle et des entretoises coulés en place. Les contraintes qui apparaissent au cours de cette phase au niveau de la section de la poutre seule, le poids de la dalle, de l'entretoise et la précontrainte de la 1^{re} série de câbles.

Phase 3 : la dalle participe pleinement à la résistance de l'ensemble après avoir atteint le durcissement nécessaire. la section résistante est alors la section complète (poutre + dalle), mise en tension de la 2^e série de câbles (1,2).

Les contraintes à prendre en compte sont celles produites par le poids de la poutre, le poids de la dalle et les entretoises, la précontrainte de la 1^{re} série de câbles et la précontrainte de la 2^e série de câbles.

Phase 4 : Mise en place de la superstructure (trattoris, garde-corps, corniches, ...) la section résistante (poutre + dalle). Les contraintes à considérer sont celles produites par le poids de la superstructure, le poids de la dalle, et entretoises, le poids de la poutre et la précontrainte des 2 séries de câbles après consommation de toute les pertes.

Détermination de la contrainte initiale de calcul

On effectue les vérifications de contraintes au droit de la section médiane

CABLE	1	2	3	4
Contrainte de mise en tension (Kg/cm^2)	14934	14934	14934	14934
Perte par frottement $\Delta\sigma_{fr}$ (Kg/cm^2)	1529,69	1567,62	1190,84	937,26
Perte par raccourcissement (Kg/cm^2)	317,57	317,57	317,57	317,57
Perte par recul d'ancrage (Kg/cm^2)	0	0	0	150,34
Contrainte juste après mise en tension (Kg/cm^2)	13086,74	13048,81	13425,6	13528,52
$\sigma_{moy} = 13272,42 \text{ Kg/cm}^2$				

On prend comme contrainte initiale de calcul la moyenne des contraintes juste après la mise en tension :

$$\sigma_i = 11634,96 \text{ Kg/cm}^2$$

verification des contraintes normales

caracteristiques geometriques de la section mediane

	B (cm)	I (cm ⁴)	e ² (cm ²)	V _s (cm)	V _e (cm)	e (cm)
Poutre seule	4259,11	8559855,5	2010	51,65	75,35	-68,77
Poutre + dalle	7891,11	17019895,4	2156,95	44,66	105,34	-98,76

Phase 1

contrainte initiale dans chaque cable : $\sigma_i = 13272,42 \text{ kg/cm}^2$
 Effort de pretension des 2 cables d'about :

$$N = 2 \cdot 13272,42 \cdot 9,73 = 258281,3 \text{ kg}$$

Contraintes engendrees par l'effort de pretension

$$\text{P.S. } \sigma_{ps} = \frac{N}{B} \left(1 + \frac{eV_s}{I} \right) = -52,75 \text{ kg/cm}^2$$

$$\text{F.I. } \sigma_{pe} = \frac{N}{B} \left(1 - \frac{eV_e}{I} \right) = 216,98 \text{ kg/cm}^2$$

Contraintes engendrees par le poids propre de la poutre :

$$M_G = 95,53 \text{ t.m}$$

$$\text{Fibre superieure } \sigma_{G,S} = \frac{M_G \cdot V_s}{I} = 61 \text{ kg/cm}^2$$

$$\text{Fibre inferieure } \sigma_{G,I} = \frac{M_G \cdot V_e}{I} = -84,09 \text{ kg/cm}^2$$

contraintes effectives

$$\text{F.S. } \sigma_s = \sigma_{ps} + \sigma_{G,S} = 8,25 \text{ kg/cm}^2$$

$$\text{F.I. } \sigma_e = \sigma_{pe} + \sigma_{G,I} = 132,89 \text{ kg/cm}^2$$

à la fin de la 1^{ère} phase la 1^{ère} fibre de cables va subir une perte de tension estimée à $\frac{1}{3} \Delta \sigma_a$ ($\Delta \sigma_a$: perte totale différée)

la contrainte de service sera :

$$13272,42 - \frac{190,3}{3} = 12639 \text{ kg/cm}^2$$

l'effort de pretension des 2 cables sera :

$$12639 \cdot 2 \cdot 9,73 = 245954,70 \text{ kg}$$

Fibre	contrainte engendree par la pesanteur kg/cm^2	contrainte engendree par la poids propre kg/cm^2	contrainte effective kg/cm^2
F. superieure	-50,23	61	10,71
F. inferieure	206,62	-84,09	122,53

Phase 2

des cables vont avoir subis une perte estimee a $\frac{1}{3} \Delta \sigma$ de la contrainte de service sera:

$$12639 - \frac{1}{3} 19003 = 12005,54 \text{ kg/cm}^2$$

l'effort de precontrainte sera:

$$N = 12005,54 \cdot 2 \cdot 9,43 = 233628,33 \text{ kg}$$

$$\text{F.S } \sigma_{p,s} = \frac{233628,33}{4259,11} \left(1 - \frac{68,71 \cdot 54,65}{2010} \right) = -47,71 \text{ kg/cm}^2$$

$$\text{F.I } \sigma_{p,i} = \frac{233628,33}{4259,11} \left(1 + \frac{68,71 \cdot 75,35}{2010} \right) = 196,27 \text{ kg/cm}^2$$

Contrainte engendree par le poids propre de la poutre + dalle:

$$M = 177,51 \text{ t.m}$$

$$\text{F.S } \sigma_{g,s} = \frac{177,51 \cdot 10^5 \cdot 54,65}{1559855,5} = 113,35 \text{ kg/cm}^2$$

$$\text{F.I } \sigma_{g,i} = \frac{177,51 \cdot 10^5 \cdot 75,35}{1559855,5} = -156,26 \text{ kg/cm}^2$$

Fibre	contrainte engendree par la pesanteur kg/cm^2	contrainte du au poids propre kg/cm^2	contrainte effective kg/cm^2
F. superieure	-47,71	113,93	65,62
F. inferieure	196,27	-156,26	40,01

Phase 3

Ou met en tension les cables emergents 1 et 2 la contrainte de service sera $\sigma_s = 13272,42 \text{ kg/cm}^2$ de ces cables,

$$N = 13272,42 \cdot 2 \cdot 9,43 = 252281,15 \text{ kg}$$

la 1^{re}

la 1^{ère} zone de dalle va subir $\frac{1}{3} D S_2$
 $1200 \cdot 4,55 - \frac{1900,5}{3} = 1137,25$

l'effet de précontrainte total est :

$$221301,78 + 248251,3 = 467256,48 \text{ kg}$$

Contraintes engendrées par la précontrainte

F.S $\sigma_{p,s} = \frac{467256,48}{789,11} \left(1 - \frac{98,76 \cdot 44,66}{2156,85} \right) = -67,87$

F.I $\sigma_{p,i} = \frac{467256,48}{789,11} \left(1 + \frac{38,76 \cdot 105,35}{2156,85} \right) = 344,82 \text{ kg/cm}^2$

la contrainte engendrée par le poids propre de la poutre + dalle + entre-toises : $M_G = 180,02 \text{ t.m}$

F.S $\sigma_{g,s} = \frac{180,02 \cdot 105 \cdot 44,66}{17019895,41} = 47,23 \text{ kg/cm}^2$

F.I $\sigma_{g,i} = - \frac{180,02 \cdot 105 \cdot 105,34}{17019895,41} = -111,42 \text{ kg/cm}^2$

les contraintes effectives

F.S : $\sigma_s = \sigma_{ps} + \sigma_{gs} = -14,64 \text{ kg/cm}^2$

F.I : $\sigma_i = \sigma_{pi} + \sigma_{gi} = 233,40 \text{ kg/cm}^2$

à la fin de cette phase, la 2^{ème} zone de dalles va subir une perte $\frac{1}{3} D S_2$:

contrainte de juve de la dalle net <

$$\sigma = 13272,42 - \frac{1900,5}{3} = 12639 \text{ kg/cm}^2$$

l'effet précontraint devient :

$$12639 \cdot 2 \cdot 9,73 = 245956,70 \text{ kg}$$

l'état de précontrainte total est : $245956,7 + 187888,47 = 433843,17 \text{ kg}$

Contraintes engendrées par la précontrainte :

$$F.S : \sigma_{p,s} = -56,7 \text{ kg/cm}^2$$

$$F.I : \sigma_{p,i} = 372,11 \text{ kg/cm}^2$$

Fibre	contrainte engendree par la pression d'aide kg/cm ²	contrainte creee par le poids propre kg/cm ²	contrainte effective kg/cm ²
F. superieure	-57,39	113,33	46,63
F. inferieure	320,16	111,42	408,44

Phase 4

On met en place la superstructure (travertins + revêtement + fond de cuve) $M_G = 215,1 \text{ t.m}$

Contraintes engendrees par les charges permanentes

$$F.S : \sigma_{p,s} = \frac{215,1 \cdot 10^5 \cdot 44,66}{17019895,41} = 56,44 \text{ kg/cm}^2$$

$$F.I : \sigma_{p,i} = \frac{215,1 \cdot 10^5 \cdot 105,54}{17019895,41} = -133,13 \text{ kg/cm}^2$$

La 1^{ere} travée de tables a subi toute les pertes, l'effort de pression d'aide des tables 3 et 4 est

$$P = 221301,65 \text{ kg}$$

La 2^{eme} travée de tables a subi une perte estimee a $\frac{1}{3} D \sigma_d$

$$\sigma = 12639 - \frac{1}{3} 1900,3 = 11372,13 \text{ kg/cm}^2$$

l'effort de pression d'aide total est

$$221301,65 + 221301,65 = 442603,3 \text{ kg}$$

Contrainte engendree par la pression d'aide

$$F.S : \sigma_{p,s} = \frac{442603,3}{7881,11} \left(1 - \frac{98,76 \cdot 44,66}{2156,85} \right) = -58,61 \text{ kg/cm}^2$$

$$F.I : \sigma_{p,i} = \frac{442603,3}{7881,11} \left(1 - \frac{98,76 \cdot 105,66}{2156,85} \right) = 326,63 \text{ kg/cm}^2$$

Fibres	contrainte engendrée par la pression (kg/cm ²)	contrainte due au poids propre (kg/cm ²)	contrainte effective kg/cm ²
F. Supérieure	56,44	56,44	17,05
F. Inférieure	326,63	-133,13	193,5

Phase 5 : c'est la phase de service en charge. On applique les surcharges dans notre cas, c'est le cas D qui est le plus défavorable.

$$F.S \quad \sigma_{(g+q)S} = \frac{484 \cdot 10^5 \cdot 44,66}{17019895,41} = 127 \text{ kg/cm}^2$$

$$F.I \quad \sigma_{(g+q)I} = \frac{484 \cdot 10^5 \cdot 105,44}{17019895,41} = -299,56 \text{ kg/cm}^2$$

Tous les calculs ont subi toutes les pertes.

Contraintes engendrées par la pression

$$\sigma_{p,s} = -39,39 \text{ kg/cm}^2$$

$$\sigma_{p,i} = 326,63 \text{ kg/cm}^2$$

Fibres	contrainte engendrée par la pression (kg/cm ²)	contrainte due au poids propre (kg/cm ²)	contrainte effective kg/cm ²
F. Supérieure	-39,39	127	87,61
F. Inférieure	326,63	299,56	27,07

Chap IX

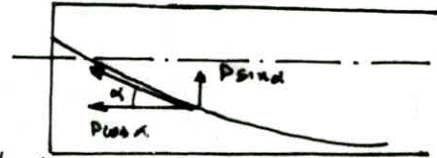
VERIFICATIONS DES CONTRAINTES TANGENTES

Effort tranchant réduit

l'effort tranchant peut se décomposer en deux composantes:

$$N = \sum P \cos \alpha_i$$

$$V = \sum P \sin \alpha_i$$



Soit T_g l'effort du aux sollicitations extérieures, l'effort tranchant réduit s'écrit:

$$T_r = T_g - V = T_g - \sum P \sin \alpha_i$$

Contrainte de cisaillement

Elle est donnée par la formule de R.D.M

$$\tau = \frac{T_r}{b_0 \cdot z}$$

avec T_r : effort tranchant réduit
 b_0 : largeur nette
 z : bras de levier.

Contrainte de cisaillement admissible

Elle se détermine par la formule de Chabo

$$\tau^a = \frac{\bar{\sigma}}{\bar{\sigma}'_1} (\sigma'_1 - \sigma'_g) (\bar{\sigma} + \sigma'_g)$$

$\bar{\sigma}$ et $\bar{\sigma}'_1$ sont respectivement les contraintes admissibles de traction et de compression.

σ'_g : contrainte au niveau du centre de gravité de la section.

En phase de construction

$$\bar{\sigma}'_1 = 0,55 \cdot \sigma'_{28} = 220 \text{ kg/cm}^2$$

$$\bar{\sigma} = 0,55 \cdot \sigma_{28} = 17,05 \text{ kg/cm}^2$$

Voir fonctions

Caractéristiques géométriques section d'about

	B (cm)	I (cm ⁴)	V _s (cm)	A ² (cm ²)	e (cm)	$\sum \cos \alpha$	$\sum \sin \alpha$	V _i (cm)
Poutre	5350,5	10145929	57,26	1296,28	169	1,951	0,43	72,74
Poutre dalle	1969,5	19654447	49,74	2177,25	-25,83	1,957	0,43	100,26

Phase 1 $N = \sum P_{\text{load}} = 120352,96 \cdot 1,951 = 234808,62 \text{ kg}$
 $V = \sum P_{\text{dead}} = 120352,96 \cdot 0,43 = 51751,77 \text{ kg}$

$$T_R = T_G - V = 15,5 - 51,75 = -36,22 \text{ kg}$$

$$b_0 = 32 - \phi = 25,9 \text{ cm}$$

$$z = \frac{I}{S} = 100 \text{ cm} \quad S = 101373,85 \text{ cm}^3$$

$$\tau = - \frac{36,22 \cdot 10^3}{25,9 \cdot 100} = -13,98 \text{ kg/cm}^2$$

Calcul de $\bar{\tau}$

contrainte produite par N

$$F.S \quad \frac{234808,62}{5350,5} \left(1 + \frac{1,69 \cdot 57,26}{1896,26} \right) = 46,12 \text{ kg/cm}^2$$

$$F.I \quad \frac{234808,62}{5350,5} \left(1 - \frac{1,69 \cdot 72,74}{1896,26} \right) = 41,04 \text{ kg/cm}^2$$

contrainte au niveau du centre de gravité :

$$\sigma_g = 46,12 + (46,12 - 41,04) \frac{57,26}{130} \Rightarrow \sigma_g = 48,36 \text{ kg/cm}^2$$

$$\text{d'où } \tau^2 = \frac{\sigma}{\sigma_1} (\sigma_1 - \sigma_3) (\sigma + \sigma_3)$$

$$\tau^2 = \frac{17,05}{220} (220 - 48,36) (17,05 + 48,36) \Rightarrow \bar{\tau} = 29,5 \text{ kg/cm}^2$$

$$\tau = 13,98 \text{ kg/cm}^2 < \bar{\tau} = 29,5 \text{ kg/cm}^2$$

Phase 2

la première série d'armatures va subir une perte estimée à $\frac{1}{3} \Delta \sigma_s$:
 la contrainte sur dalle : $12369,27 - \frac{1}{3} \cdot 1900,7 = 11735,8 \text{ kg/cm}^2$
 la contrainte par table : $11735,84 \cdot 39,73 = 114189,72 \text{ kg}$

$$N = \sum P_{\text{load}} = 114189,7 \cdot 1,951 = 222784,1 \text{ kg}$$

$$V = \sum P_{\text{dead}} = 114189,7 \cdot 0,43 = 49101,57 \text{ kg}$$

$$T_R = T_{\text{(poutre edalle)}} - V = 33,11 - 49,10 =$$

$$T_R = -16 \text{ t}$$

$$\tau = - \frac{16 \cdot 10^3}{25,9 \cdot 100} = -6,17 \text{ kg/cm}^2$$

$$\text{Contrainte produite par } N \quad F.S \quad \frac{222784,09}{5350,5} \left(1 + \frac{1,69 \cdot 57,26}{1886,26} \right) = 43,76 \text{ kg/cm}^2$$

$$F.S \quad \frac{222784,09}{5350,5} \left(1 - \frac{1,69 \cdot 7274}{1886,26} \right) = 38,94 \text{ kg/cm}^2$$

$$\sigma_g = 63,76 + (43,76 - 38,94) \frac{51,26}{180} = 45,88 \text{ kg/cm}^2$$

$$\tau_2 = \frac{17,05}{220} (220 - 45,88) (17,05 + 45,88) \Rightarrow \bar{\tau} = 29,57 \text{ kg/cm}^2$$

$$\tau_{\text{max}} < \tau_{\text{lim}} = 6,17 \text{ kg/cm}^2 < \bar{\tau} = 29,57 \text{ kg/cm}^2$$

Phase 3

$$\text{Contrainte résiduelle : } 11735,84 - \frac{1}{3} 1900,3 = 11102,41 \text{ kg/cm}^2$$

$$\text{Contrainte par poids : } 11102,41 \cdot 9,73 = 108026,42 \text{ kg}$$

$$N = \sum P \cos \alpha = 210759,56 \text{ kg}$$

$$V = \sum P \sin \alpha = 46451,36 \text{ kg}$$

$$S = 19684417,3 \text{ cm}^3$$

$$z = 109,11 \text{ cm}$$

$$T_k = -13,34 \text{ t}$$

$$\tau = \frac{13,34 \cdot 10^3}{25,9 \cdot 109,11} = -4,72 \text{ kg/cm}^2$$

Contraintes produites par N

$$F.S \quad \frac{210759,54}{7949,55} \left(1 - \frac{25,83 \cdot 49,74}{2174,25} \right) = 10,87 \text{ kg/cm}^2$$

$$F.S \quad \frac{210759,54}{7949,55} \left(1 + \frac{100,26 \cdot 25,83}{2174,25} \right) = -4,77 \text{ kg/cm}^2$$

$$\bar{\tau} = 14,62 \text{ kg/cm}^2$$

$$\tau = 4,72 \text{ kg/cm}^2 < \bar{\tau} = 14,62 \text{ kg/cm}^2$$

Phase 4 Toutes les poutres ont été déjà travaillées
 $11102,41 - \frac{1}{3} 1900,3 = 10468,98 \text{ kg/cm}^2$

67

contrainte par câble : $10468,98 \cdot 9,43 = 101863,14 \text{ kg}$

$$N = 101863,14 \cdot 1,95 = 198735 \text{ kg/cm}^2$$

$$V = 101863,14 \cdot 0,43 = 43901,15 \text{ kg/cm}^2$$

$$T_G = 13,23 + 26,66 = 39,89 \text{ t}$$

$$T_K = 39,89 - 43,8 = -3,91 \text{ t}$$

$$\tau = \frac{3,91 \cdot 10^3}{25,9 \cdot 109,11} = 1,83 \text{ kg/cm}^2$$

contraintes max par N :

$$\frac{198735}{7949,55} \left(1 - \frac{25,83 \cdot 49,74}{2177,25} \right) = 10,26 \text{ kg/cm}^2$$

$$\frac{198735}{7949,55} \left(1 + \frac{100,26 \cdot 25,83}{2177,25} \right) = 54,73 \text{ kg/cm}^2$$

Phase 5

$$N = 198735 \text{ kg/cm}^2$$

$$V = 43901,15 \text{ kg/cm}^2$$

$$T_G = 32,39 + 38,89 = 71,28 \text{ t}$$

$$T_K = 28,48 \text{ t}$$

$$\tau = \frac{28,48 \cdot 10^3}{25,9 \cdot 109,11} = 10,09 \text{ kg/cm}^2$$

$$\tau = 10,09 \text{ kg/cm}^2 < \bar{\tau} = 14,72 \text{ kg/cm}^2$$

Cable d'urgence no 1

	Phase 1	Phase 2	Phase 3	Phase 4	Phase 5
τ (kg/cm ²)	5,07	12,88	21,34	15,98	23,22
$\bar{\tau}$ (kg/cm ²)	31,96	28,56	30,53	29,46	28,96

Cable d'urgence no 2

	Phase 1	Phase 2	Phase 3	Phase 4	Phase 5
τ (kg/cm ²)	17,52	14,73	13,45	12,56	11,48
$\bar{\tau}$ (kg/cm ²)	31,46	27,14	26,13	24,17	20,12

Chap I

Vérification à la rupture

Les ouvrages en béton présentant un caractère particulier ou le fait d'adopter des contraintes limitées pour les charges extrêmes ne garantissent pas la sécurité vis-à-vis d'une augmentation de charges.
 d'I.P.I. prévoit une majoration de la surcharge seule dans le rapport 80%

Sécurité à la rupture en flexion
 moment de rupture par le béton,
 ou vérifie $M_G + 1,8 M_Q \leq 0,7 M_{rb}$

$$M_G = 134 \text{ t.m}$$

$$M_Q = 250 \text{ t.m}$$

$$M_{rb} = M_{rb1} + M_{rb2} \text{ (moment de rupture du béton)}$$

Calcul M_{rb}

$$M_{rb1} = 0,35 \cdot b_0 \cdot h^2 \cdot \sigma'_n \text{ (relatif à l'âme)}$$

$$M_{rb2} = \min \left\{ \begin{array}{l} 0,8 (b-b_0) \cdot h_0 \cdot \left(h - \frac{h_0}{2} \right) \cdot \sigma'_n \\ 0,35 \cdot (b-b_0) h^2 \cdot \sigma'_n \end{array} \right.$$

$$h_0 = 20 \text{ cm}$$

$$h = 150 - 15 = 135 \text{ cm}$$

$$\sigma'_n = 400 \text{ kg/cm}^2$$

$$b = 181,6 \text{ cm}$$

$$b_0 = 18 \text{ cm}$$

$$M_{rb1} = 459,27 \text{ t.m}$$

$$M_{rb2} = 1308,8 \text{ t.m}$$

$$M_{rb} = 1768,07 \text{ t.m}$$

$$M_G + 1,8 M_Q = 684 \text{ t.m} < 0,7 M_{rb} = 1237,65 \text{ t.m}$$

Moment de rupture par les aciers

Ou vérifie :

$$M_G + 1,8 M_Q \leq \begin{cases} 0,9 M_{RA} & \text{si } M_f < M_{RA} \\ 0,8 M_{RA} & \text{si } M_f \geq M_{RA} \end{cases}$$

avec

$$M_{RA} = 0,9 \cdot h \cdot w \cdot R_G \text{ (moment de rupture de l'acier)}$$

$$M_f = \sigma \frac{I}{y}$$

$$w = 38,92 \text{ cm}^2$$

$$R_G = 18490 \text{ kg/cm}^2$$

$$M_{RA} = 874,35 \text{ t.m}$$

Pour M_f : $\sigma = \sigma'_p + 2\sigma_n$ pour la fibre inférieure
 σ'_p : contrainte de précontrainte.
 σ_n : contrainte de traction
 $\sigma_n = 37 \text{ kg/cm}^2$

$$\sigma'_p = \frac{N}{B} \left(1 - \frac{eV^2}{L^2} \right) = \frac{415,3 \cdot 10^3}{789,11} \left(1 + \frac{38,76 \cdot 105,54}{2156,85} \right) = 306,41 \text{ kg/cm}^2$$

$$\text{d'où } \sigma = 368,41 \text{ kg/cm}^2 \quad M_G + 1,8M_Q = 684 \text{ t.m}$$

$$\begin{aligned} \sigma &= 368,41 \text{ kg/cm}^2 \\ I &= 17019895,41 \text{ cm}^4 \\ V &= 105,54 \text{ cm} \end{aligned}$$

$$M_f = 595,24 \text{ t.m} < M_{RA} = 874,35 \text{ t.m}$$

$$M_G + 1,8M_Q = 684 \text{ t.m} < 0,9M_{RA} = 786,92 \text{ t.m}$$

Sécurité à la rupture par effort tranchant

On vérifie la condition: $\sigma = \frac{2T}{5m2\delta} \leq 0,5 \cdot \sigma'_{28}$

l'effort tranchant réduit est $T_R = T_G + 1,8T_Q - V$

$$T_G = 30,065 \text{ t} \quad T_Q = 32,59 \text{ t} \quad V = 46,45 \text{ t} \rightarrow T_R = 49,92 \text{ t}$$

$$\tau = \frac{T_R}{b_0 z} \quad \text{avec} \quad b_0 = 25,9 \text{ cm}$$

$$z = \frac{I}{S} = \frac{19684417,29}{180404,62} = 109,11 \text{ cm}$$

$$\tau = \frac{49,92 \cdot 10^3}{25,9 \cdot 109,11} = 17,66 \text{ kg/cm}^2$$

$$\tan 2\alpha = \frac{2T}{\sigma'_{28}} = \frac{2 \cdot 17,66}{25,51} = 1,38 \rightarrow 2\alpha = 52,4^\circ$$

$$\sigma = \frac{2T}{5m2\delta} = \frac{2 \cdot 17,66}{5m52,4} = 24,16 \text{ kg/cm}^2 < 0,5 \sigma'_{28} = 200 \text{ kg/cm}^2$$

Pour la contrainte des armatures transversales, on prend:

$$\gamma = 26,35^\circ \quad \sigma'_a = \frac{t \cdot T_R}{A'_t} \cdot \frac{\tan \gamma}{t}$$

$$t = 15 \text{ cm} \quad \tan \gamma = 0,495 \quad A'_t = 1,57 \text{ m}^2 (2\pi 10) \quad T_R = 49,92 \text{ t}$$

$$z = 109,11 \text{ cm}$$

$$\sigma'_a = 214,88 \text{ kg/cm}^2 < 1,2 \sigma_{en} = 5040 \text{ kg/cm}^2$$

Armatures Transversales

Les armatures transversales ont essentiellement pour rôle de limiter les fissures qui peuvent être produites par le retrait et le gonflement du bétonnage.

Espacement des armatures transversales t

Soit n le nombre de cadres de section $A't$ espacés de t

$$n = \frac{L}{t} = \frac{z}{t \cdot \gamma \cdot \sigma_g} \quad \text{on doit avoir} \quad \frac{T_R}{n A't} \leq \sigma'_{at}$$

$$\sigma'_{at} = \sigma_a \cdot \sigma_{en} \quad \text{avec} \quad \sigma_a = \begin{cases} \frac{2}{3} & \text{s'il y a reprise de bétonnage} \\ 1 - \frac{1}{3} \left(\frac{\tau}{\tau_c} \right)^2 & \text{sinon} \end{cases}$$

toutefois t doit vérifier $t < E$

$$E = \inf \begin{cases} h \left(1,25 - 0,95 \frac{\tau}{\tau_c} \right) \\ b \left(5 - 2 \frac{\tau}{\tau_c} \right) \\ 4b_0 \end{cases}$$

Section d'about

$$T_R = 36220 \text{ kg}$$

$$\sigma_g = 48,36 \text{ kg/cm}^2$$

$$z = 100 \text{ cm}$$

$$\tau = 13,98 \text{ kg/cm}^2$$

$$\tau_c = 23,5 \text{ kg/cm}^2$$

$$\sigma_a = 1 - \frac{1}{3} \left(\frac{13,98}{23,5} \right)^2 = 0,78 \quad \text{pas de reprise de bétonnage.}$$

$$\sigma'_{at} = 0,92 \cdot 4200 = 3256,8 \text{ kg/cm}^2$$

$$\gamma \cdot \sigma_g = \frac{\tau \cdot z}{\sigma_g} = \frac{2 \cdot 13,98}{48,36} = 0,58 \rightarrow \gamma = 15^\circ \rightarrow \gamma \cdot \sigma_g = 0,27$$

$$t \leq \frac{3256 \cdot 1,57 \cdot 100}{36220 \cdot 0,27} = 52,8 \text{ cm}$$

$$t \leq \begin{cases} 150 \left(1,25 - 0,95 \frac{13,98}{23,5} \right) = 119,87 \text{ cm} \\ 25,9 \left(5 - 2 \frac{13,98}{23,5} \right) = 104,95 \text{ cm} \\ 4 \cdot 25,9 = 103,6 \text{ cm} \end{cases}$$

$$\frac{\text{pourcentage minimum}}{w_t = 0,25} \frac{A't}{h + 3b_0} = 0,25 \frac{130}{130 + 3 \cdot 25,9} = 16\%$$

$$0,1\% \leq w_t < 0,2\% \quad t = \frac{A't}{w_t \cdot b_0} = \frac{1,57 \cdot 100}{0,16 \cdot 25,9} = 37,88 \text{ cm}$$

72

Section d'urgence du table (1)

$$\left. \begin{aligned} T_R &= 46,65 \text{ t} \\ \bar{E} &= 28,96 \text{ kg/cm}^2 \\ c &= 23,22 \text{ kg/cm}^2 \\ \sigma_g &= 26,8 \text{ kg/cm}^2 \end{aligned} \right\}$$

$$\sigma'_{at} = \left[1 - \frac{1}{3} \left(\frac{23,22}{28,96} \right)^2 \right] 4200 = 3296,23 \text{ kg/cm}^2$$

$$\lg \alpha = \frac{2 \cdot 23,22}{26,8} = 1,73 \Rightarrow \alpha = 30^\circ$$

$$t \leq \frac{3296,23 \cdot 1,57 \cdot 105,66}{46,65 \cdot 10^3 \cdot 0,577} = 20,31 \text{ cm}$$

$$\bar{E} = 1nF \begin{cases} 160 \left(1,25 - 0,35 \frac{23,22}{28,96} \right) = 73,24 \text{ cm} \\ 18 \left(5 - 2 \cdot \frac{23,22}{28,96} \right) = 61 \text{ cm} \\ 4 \cdot 18 = 72 \text{ cm} \end{cases}$$

$$\sigma_{cu} = 4200 \text{ kg/cm}^2$$

$$A_t = 1,13 \text{ cm}^2$$

$$\sigma_{28} = 31 \text{ kg/cm}^2$$

$$b_t = 6,1 \text{ cm}$$

Section moyenne

$$c = 1 \Rightarrow 1,0 < c \leq 1,3 D$$

$$t \leq \frac{\bar{w}_t \cdot \sigma_{cu}}{c \cdot \sigma'_{28}} = \frac{1,13 \cdot 4200}{7 \cdot 31}$$

$$t \leq 21 \text{ cm}$$

Section d'about

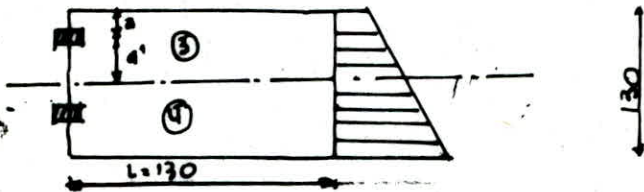
$$D > 1,5 D = 7,93 \text{ cm} \Rightarrow t \leq 21 \text{ cm}$$

$$\text{on prend } t = 15 \text{ cm}$$

ETUDE DE LA ZONE D'ABOUT

Introduction

Au niveau de la zone d'about, la poutre n'a pas son plein effet qu'à une certaine distance de son point d'application. Cette distance est appelée zone de régularisation qui est le siège de efforts complexes.



- L: zone de régularisation de contrainte: supposée égale à la hauteur de la poutre
 a, a': distances de l'encrage aux bords du prisme qui lui est associé
 ③: prisme associé à l'encrage en (3)
 ④: " " " " " (4)

Effet de surface T_s et calcul des frettes

L'effet de surface est donné par la formule établie selon la théorie de M. Guyon:

$$T_s = \left[0,04 + 0,2 \left(\frac{a-a'}{a+a'} \right)^3 \right] F \quad \text{avec}$$

F: force utile du câble dans la zone d'encrage (même ou majeure F de 10% à l'about), la contrainte est σ_c .

$$\sigma_c = 1169,35 \text{ kg/cm}^2 \quad F = 1,1 \cdot 1169,35 \cdot 9,73 = 125126 \text{ kg}$$

Les valeurs de T_s sont regroupées dans le tableau suivant

	a	a'	F	0,04 F	$0,2 \left(\frac{a-a'}{a+a'} \right)^3 F$	F (kg)
3	42,26	15	125186	5007,44	2700,23	7707,67
4	15	57,74	125186	5007,44	-5076,46	-69,02

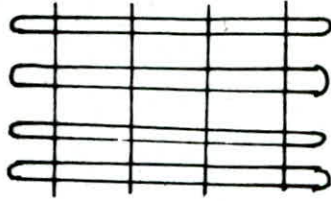
Calcul des frettes

$$T_s = 2,71 \text{ t} \quad \sigma_a = \frac{2}{3} 2400 = 1600 \text{ kg/cm}^2$$

$$A = \frac{T_s}{\sigma_a} = 4,81 \text{ cm}^2$$

On adopte une frette verticale $\phi 14$ formée de 4 branches. Cette frette commune aux ancrages est placée le plus près possible de la face d'about.

tout en respectant les conditions d'uroberge. On ajoute également une frette horizontale formée de 4 branches.



Effort d'éclatement T_e

Notation

a : longueur de l'ancrage
 $2a$: longueur du prisme fictif avec $a < a'$.
 Si $a > a' \Rightarrow 2a'$
 k : coeff. de réduction
 F : force utile du câble
 b : surface du prisme fictif
 P : contrainte moyenne d'éclatement
 $\sigma_{y,max}$: contrainte maximum d'éclatement

On pose: $y = \frac{a'}{2a}$ $\sigma_{y,max} = 0,65P(1-y)$ (kg/cm²)

$$P = \frac{F}{S} \quad k = 1 - \left(\frac{8}{\sigma_{y,max}} \right)^2$$

T_e : valeur à partir des règles des prismes symétriques (prisme fictif)

$$T_e = \frac{F}{3} (1-y) k$$

les dimensions à prendre en compte

	$2a$	y	$\frac{F}{3}(1-y)$	$2a \times a$ (cm ²)	$P = \frac{F}{S}$	$\sigma_{y,max}$	T_e (t)
(3)	0,30	0,8	8,33	1267,8	98,74	12,84	3,14
(4)	0,30	0,8	8,33	450	278,2	36,17	7,92

$$T_e^{max} = 7,92t$$

des armatures nécessaires pour reprendre cet effort sur une section:

$$A = \frac{7,92 \cdot 10^3}{1600} = 4,95 \text{ cm}^2 \quad \text{On adopte } 5T12 = 5,65 \text{ cm}^2$$

On prévoit des armatures pour reprendre la poussée au vide: $w = 0,3\%$

75

$$B_{\text{ame}} = 82 \cdot 130 = 4160 \text{ cm}^2 \quad A_t = \frac{0,3 \cdot 4160}{100} = 13 \text{ cm}^2$$

Soit 6 cadres T14 ($A = 13,57 \text{ cm}^2$)

Contrainte maximale sous l'ancrage

Le règlement admet comme contrainte admissible de compression sous l'ancrage la valeur

$$\sigma'_{b,m} = \frac{1}{1,6} \sigma'_j \cdot k \quad \text{avec} \quad k = 1 + \left(3 - \frac{a_1}{b_1} - \frac{a_2}{b_2}\right) \sqrt{\left(1 - \frac{a_1}{b_1}\right) \left(1 - \frac{a_2}{b_2}\right)}$$

a_1 et a_2 : dimensions de la plaque d'ancrage
 b_1 et b_2 : dimensions de la section du poutre ayant même centre de gravité que la plaque.

Vérification des contraintes

Dans notre cas, les plaques d'ancrage sont circulaires de diamètre $\phi = 24 \text{ cm}$, le diamètre de la gaine de armatures est $\phi = 6,1 \text{ cm}$. la section nette est: $S = \frac{\pi}{4} (2,4^2 - 6,1^2) = 423,16 \text{ cm}^2$

contrainte admissible de compression

$$\sigma'_b = \frac{1}{1,6} \cdot 400 \text{ k} \quad (\text{kg/cm}^2)$$

$$a_1 = a_2 = 24 \text{ cm}$$

$$b_1 = 32 \text{ cm}$$

$$b_2 = 30 \text{ cm}$$

$$k_3 = 1 + \left(3 - \frac{24}{32} - \frac{24}{30}\right) \sqrt{\left(1 - \frac{24}{32}\right) \left(1 - \frac{24}{30}\right)}$$

$$k_3 = 1,64$$

$$\bar{\sigma}'_b = 410 \text{ kg/cm}^2$$

$$\sigma'_3 = \sigma'_4 = \frac{F}{S} = \frac{125,137}{423,16} = 295,86 \text{ kg/cm}^2 < \bar{\sigma}'_b = 410 \text{ kg/cm}^2$$

Flechtes et contre fleches

Les fleches sont comptees positivement vers le bas et negativement vers le haut.

A. Fleche du poids propre

$$f_g = \frac{5}{384} \frac{q_g \cdot l^4}{EI}$$

$$q_g = 2,84 \text{ t/ml}$$

$$l = 24,6 \text{ m}$$

$$E = E_v = \frac{1}{3} E_c = 1,4 \cdot 10^6 \text{ t/m}^2$$

$$I = 17019895,41 \text{ cm}^4$$

$$f_{g1} = 5,69 \text{ cm}$$

B. Fleche de precontrainte

$$f_p = \frac{1}{2} \int_0^{l/2} \frac{M \cdot x}{EI} dx + \frac{1}{2} \int_{l/2}^l \frac{M}{EI} (l-x) dx$$

Pour un diagramme des moments symetrique par rapport a l'axe de la poutre, l'expression de la fleche a mi-travée s'écrit :

$$f_p = \int_0^{l/2} \frac{Mx}{EI} dx$$

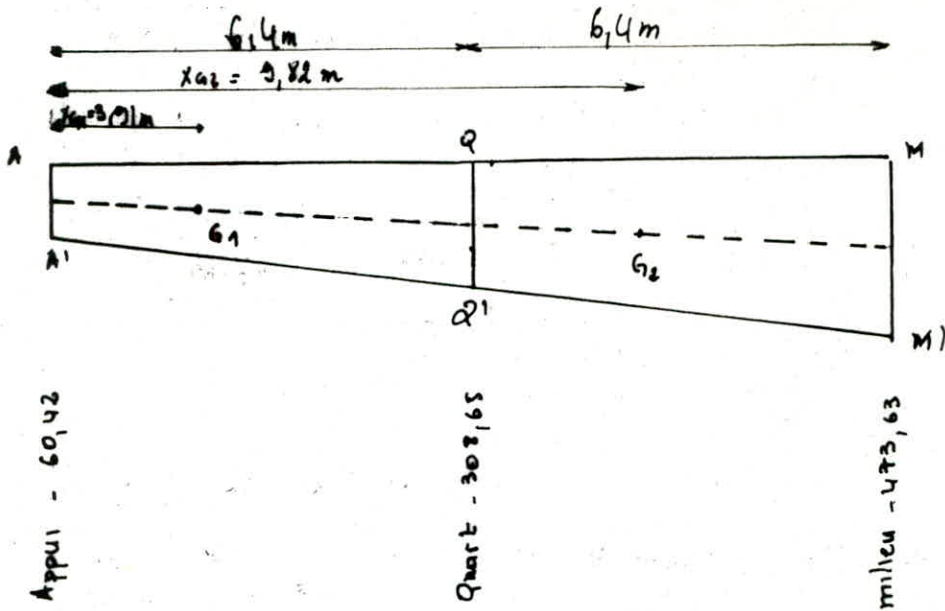
Cette valeur represente le moment statique a EI pris de l'axe limitee par par le diagramme des moments de precontrainte dans chaque section et l'axe horizontale de reference au la demi-longueur par rapport a l'appui-pente.

On trace le diagramme des moments de precontrainte a partir des 3 valeurs de moments ($x=0$; $x=l/4$; $x=l/2$) de contrainte initiale de mise en tension: $13272,42 \text{ kg/cm}^2$ de contrainte de service: $11372,13 \text{ kg/cm}^2$ ou prend comme valeur de precontrainte:

$$\sigma_m^i = \frac{13272,42 + 11372,13}{2} = 10905,5 \text{ kg/cm}^2$$

la precontrainte par laite: $P = 119,89 \text{ t}$

Sections	Zcos α	N (t)	e (10 ² m)	Mp (t.m)
Mediane	4	479,58	-98,76	473,63
Quart	3,894	466,87	-66,11	308,65
About	1,951	233,92	-25,83	60,42



AIRE	Aire du trapèze	distance de G $G = \frac{\sum Bx_i}{\sum B_i}$	Moment Statique
AQQ'A'	-1181,03	5,31	-4617,83
AMM A'	-2503,3	9,82	-24582,4
$\int_0^{12,8} Mx dx = -29200,63$			

$$f_p = \int_0^{12,8} \frac{Mx dx}{EI} = \frac{29200,63}{140000 \cdot 170 \cdot 19895,41} = 12,26 \text{ cm}$$

$$f_p = -12,26 \text{ cm}$$

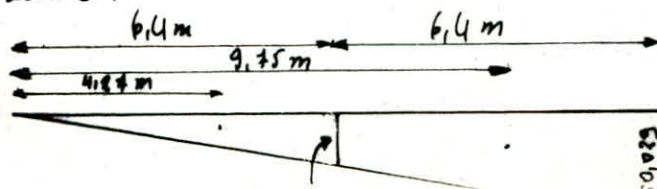
C. Flèche de construction

On adopte pour le fond de coffrage une flèche de construction f_c qui est la plus défavorable. On utilise la même méthode que celle utilisée pour le calcul de la flèche de précontrainte.

$$f_c = \frac{3}{4} (f_p - f_a) = \frac{3}{4} (12,26 - 5,6) \Rightarrow f_c = 4,99 \text{ cm}$$

1. Flèche de surcharge

La surcharge D qui est la plus défavorable n'est pas uniforme. Pour cela on va utiliser la même méthode que celle utilisée pour le calcul de la flèche de précontrainte.



AIRE		Distance de G	Moment Statique
OAB	600,064	4,27	2562,27
A'B'B'	1400,16	9,75	13651,53
$\int M \cdot dx = \dots$			16213,8

$$f = \frac{16213,8}{140000 \cdot (7019895,4)} = 6,80 \text{ cm}$$

$f_g = 6,80$, ou e finalement :

$$f = f_g + f_u + f_p = 5,63 - 12,26 + 4,99$$

$$f = -1,58 \text{ cm}$$

En Suisse en charge

$$f = f_p + f_e + f_u + f_g = 5,22 \text{ cm}$$

Rotation d'appui

Rotation d'appui sous poids propre
l'expression de la rotation d'appui est :

$$\beta = \int_0^l \frac{M \cdot x}{EI} dx$$

Pour un diagramme symétrique : $\beta = \frac{1}{EI} \int_0^l \frac{M \cdot x}{2} dx = \frac{1}{2EI} \int M dx$

Sous charge uniformément répartie q_0 , le diagramme des moments est une parabole (valeur maximale e_0 au milieu $q_0 \cdot \frac{l^2}{8}$) et on a alors :

$$\beta = \frac{q_0 \cdot l^3}{24 EI}$$

$$\beta = 0,0074$$

$$q_0 = 2,843 \text{ t/m}$$

$$E = 140000 \text{ kg/cm}^2$$

$$I = 17019895,4 \text{ cm}^4$$

Rotation d'appui sous poutre

Sur feu AMM A' (cf. diagramme de la flèche due à la poutre rante)

$$\beta_p = \frac{1}{2EI} \int_0^l M dx$$

$$\int_0^l M dx = 2(-1181,03 - 2503,3)$$

$$= -7368,66$$

$$\beta_p = 0,015$$

Rotation d'appui sous surcharge

$$\beta_q = \frac{1}{2EI} \int_0^L M dx \quad \int_0^L M dx = 2(600,064 + 1400,16) = 4000,16$$

$$\beta_q = 0,0024$$

En définitive, on a :

au service a vide : $b = \beta_G + \beta_P = 0,0024 + (-0,015) = -0,0076$

au service en charge : $b = \beta_G + \beta_P + \beta_Q = 0,0008$

Déplacement d'appui
au service a vide la rotation :

$$\Delta\beta = \beta \frac{h_t}{2} \quad \text{avec } \beta = 0,0026 \quad h_t = 1,50 \text{ m} \Rightarrow \Delta\beta = 0,0057$$

Déplacement du au retrait
 $\Delta r = 3 \cdot 10^{-4} \frac{L}{2}$ avec $L = 24,6 \text{ m}$

$$\Delta r = 0,0037 \text{ m}$$

Déplacement du au fluage

Recapitulation des contraintes de compression sur la fibre inférieure

au service	σ'_A a l'appui	σ'_m au milieu
à la mise en service	58,45	193,5
valeur moyenne	58,45	208,74

la valeur moyenne de la contrainte sur la fibre inférieure est :

$$\sigma'_m = \frac{\sigma'_A + \sigma'_m}{2} = \frac{58,45 + 208,74}{2} = 130 \text{ kg/cm}^2$$

le déplacement du au fluage est : $\Delta f = \frac{L}{2} \frac{\sigma'_m}{E}$

$$L = 24,6 \text{ m}$$

$$E = 140000 \text{ kg/cm}^2$$

$$\sigma'_m = 130 \text{ kg/cm}^2$$

$$\Delta f = 0,011$$

Déplacement du a la variation de température

$$\Delta t = \frac{L}{10000} \quad \text{avec } L = 24,6 \text{ m} \quad \text{d'où } \Delta t = 0,0024$$

En définitive, on a :

$$\Delta_{\text{max}} = \frac{2}{3} (\Delta\beta + \Delta r + \Delta f) + \Delta t$$

$$\Delta_{\text{max}} = \frac{2}{3} (0,0057 + 0,0037 + 0,011) + 0,0024$$

$$\Delta_{\text{max}} = 1,6 \text{ cm}$$

$$\Delta_{\text{min}} = 2,4 \text{ mm}$$

JOINTS DE CHAUSSEE

Les joints sont réalisés pour assurer la continuité de surface de circulation entre deux éléments d'un ouvrage en dépit de leurs déplacements relatifs dus au effet des écarts de température, aux retraits différentiels et aux rotations

Choix du joint

D'après les limites de déformations, on a :

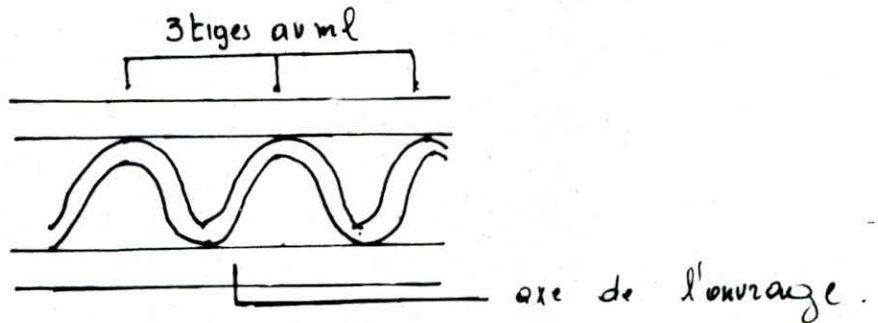
$$\delta_{\max} = 1,6 \text{ cm} = 16 \text{ mm}$$

$$\delta_{\min} = 2,4 \text{ mm}$$

On met le joint uniquement aux appuis (culées) d'où on aura :

$$\delta_{\max} = 3,11 \cdot (16) = 49,76 \text{ mm}$$

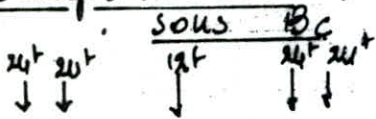
$$0 < \delta < 50 \text{ mm}$$



A	B	C	D
$111 \pm \frac{\Delta l}{2}$	$285 \pm \frac{\Delta l}{2}$	$185 \pm \frac{\Delta l}{2}$	$35 \pm \frac{\Delta l}{2}$

INTRODUCTION

Les appareils d'appuis utilisés sont des appuis enrobés d'élastomère, l'aspect extérieur est celui d'un bloc de béton ou de maçonnerie. Le maçonnerie constituant, les appareils d'appuis sont peu compressibles mais d'autre part très déformables par cisaillement ou (distorsion). Ils permettent la dilatation ainsi que la torsion de la section d'appui dans toutes les directions.

Charges sollicitant l'ensemble de l'ouvrageCharges verticales

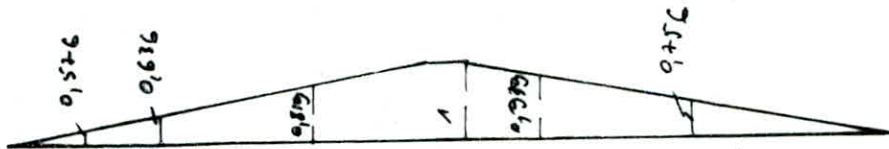
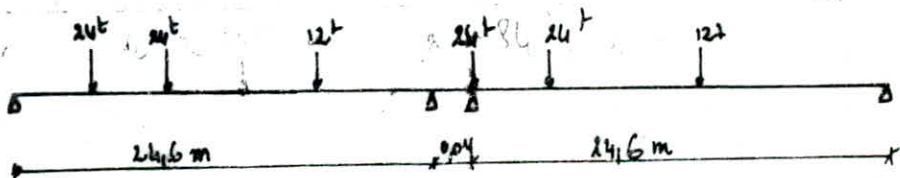
Reaction maximale revenant à une Culée :



$$R_0^c = 24(1 + 0,939 + 0,573 + 0,572) + 12(0,756 + 0,329)$$

$$R_0^c = 85,60 \text{ t}$$

$$R_c = 8 R_0^c = 1,1 \cdot 1,1 \cdot 85,6 = 103,58 \text{ t}$$

Reaction maximale revenant à la pile

$$R = 24(1 + 0,939 + 0,636 + 0,575) + 12(0,756 + 0,319)$$

$$R = 94,5 \text{ t}$$

De même pour les charges permanentes et les surcharges les valeurs de efforts maximaux sont indiquées dans le tableau qui suit :

	$B_c(t)$	Trottoirs (t)	A(l) (t)	G(t)	Sisme (t)
Culée	85,6	3	107,92	210,03	14,7
Pile	114,24	6	117,84	420,06	29,4

Les accélérations verticales et horizontales sont prises égales à $\epsilon_v = 0,04$ et $\epsilon_H = 0,1$ conformément aux recommandations du C.P.S.

charges horizontales

Vent:

Le vent souffle dans une direction normale à l'axe longitudinal de la charpente. Il développe sur toute la surface frappée normalement une pression P de valeur $P = 0,25 \text{ t/m}^2$ (C.P.S. Art. 14).
L'effort horizontal du vent est :

$$H_V = P \cdot L_p \cdot h$$

h : hauteur du tablier
 L_p : portée du pont

$$H_V = 23 \text{ t}$$

$$P = 0,25 \text{ t/m}^2 \quad h = 1,83 \text{ m} \quad L_p = 50 \text{ m}$$

Freinage

Les surcharges $A(e)$ et B_c sont susceptibles de développer des réactions de freinage. On suppose que l'effort de freinage se situe au centre de l'axe longitudinal de la charpente.

L'effort de freinage développé par $A(e)$:

$$F_A = \frac{A}{20 + 0,0035 \Omega}$$

Calcul de la surface Ω

$$\Omega = L_p \cdot L_s \quad \text{avec} \quad L_p = 50 \text{ m} \quad L_s = 7 \text{ m} \Rightarrow \Omega = 350 \text{ m}^2$$

$$A = 1214 \text{ kg/m}^2 \quad \text{donc}$$

$$F_A = 20 \text{ t}$$

L'effort de freinage développé par B_c
On suppose que l'effort de freinage est égal à son poids

$$F_{Bc} = 30 \text{ t}$$

Séisme $H_s = S_H \cdot G = 0,1 (50 \cdot 17,07) = 85,35 \text{ t}$

Variations linéaires du tablier

Ce sont des déformations dues au fluage, au retrait et aux variations de températures. Ces déformations affectent les appuis de l'ouvrage et provoquent sur ces appuis des efforts H et V considérables.

Fluage $\frac{\Delta L_f}{L_p} = E_{c\infty}$ avec $E_{c\infty}$ = déformation relative des aciers au fluage

$$\frac{\Delta L_f}{L_p} = E_{c\infty} = \frac{\sigma'_{b,m}}{E_{c28}} \varphi_{28} \quad \text{avec} \quad \sigma'_{b,m} = 127,03 \text{ kg/cm}^2$$

$$E_{c28} = 14 \cdot 10^4 \text{ kg/cm}^2$$

$$\varphi_{28} = 3$$

$$E_{c\infty} = 0,0027$$

$$\Delta L_f = 5,43 \text{ cm}$$

Retrait

On admet que 60% du retrait s'est produit avant la mise en place des pontes préfabriquées.

$$\frac{\Delta L_r}{L_p} = - \left[\frac{100 - 60}{100} \varepsilon_r \right] \rightarrow \Delta L_r = 6 \text{ mm}$$

$$\varepsilon_r \text{ estimée } \approx 8 \cdot 10^{-4}$$

Température

$$\Delta L_t = \pm 8 \Delta t \cdot L_p \quad \text{avec} \quad \Delta t \text{ estimée } \approx 3\%$$

$$\Delta L_t = \pm 15 \text{ mm}$$

Bilan des variations linéaires dues au fluage, au retrait et aux variations de températures :

Allongement : $\Delta l^+ = 15 \text{ mm}$

Raccourcissement : $\Delta l^- = - (6 + 15 + 5,43) = -26,43 \text{ mm}$

Détermination des appareils d'appuis

Sous charge permanente $210,05 = 35 \text{ t}$

Sous charge défavorable I : $\frac{6}{6} 125,12 = 20,85$

Réaction maximale sur chaque appui : $55,85$

Réaction minimale sur chaque appui : 35 t

Choix des appareils d'appuis

Le type d'appareil d'appui a été donné par l'entrepreneur.
 d'appareil d'appui pour les piles et les consoles et
 400-500-209 (11.9)

La fixation des contraintes normales

L'appareil d'appui choisi admet une contrainte de :

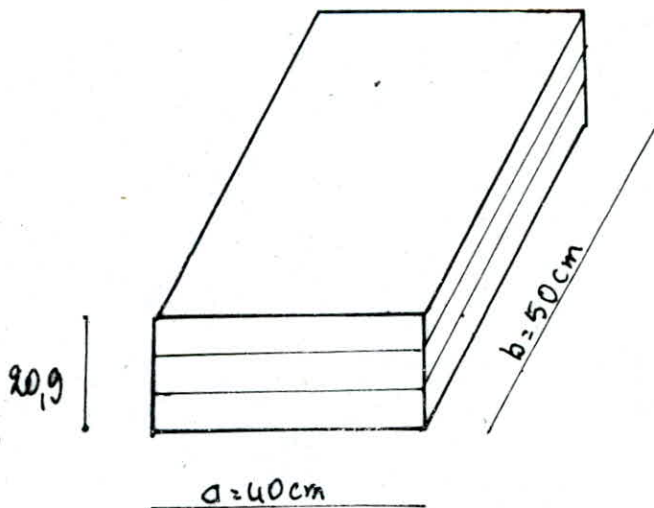
$$\sigma_m = \frac{300 \cdot 10^3}{40 \cdot 50} = 150 \text{ kg/cm}^2$$

$$\sigma_{\max} = \frac{R_{\max}}{a \cdot b} = \frac{55,85 \cdot 10^3}{40 \cdot 50} = 27,925 \text{ kg/cm}^2$$

$$\sigma_{\min} = \frac{R_{\min}}{a \cdot b} = \frac{35 \cdot 10^3}{40 \cdot 50} = 17,5 \text{ kg/cm}^2$$

$$\sigma_{\max} = 27,925 \text{ kg/cm}^2 < \bar{\sigma}_m = 150 \text{ kg/cm}^2$$

Les contraintes normales peuvent être prises pour les appuis choisis.



Calcul des rigidites

Pour la repartition des efforts horizontaux sur l'infrastructure, on assimile la structure a portique. Le tablier est suppose infiniment rigide. L'effort horizontal sera donc reparti entre les appuis : pile et culées en fonction de leurs rigidites. Les rigidites de ces appuis sont calculées a partir des constantes de ressort ou (simplement) des elements constituant ces appuis (appareils d'appuis, fûts, fondations).

On appelle par δ la deformation d'un element d'appui sous l'action d'un effort $H \equiv$ unitaire ($H=1$).

C'est cette valeur δ qu'on designe sous le nom de constante de ressort. La deformation d'une pile ou d'une culée sous l'effet d'un effort $H \equiv$ unitaire est

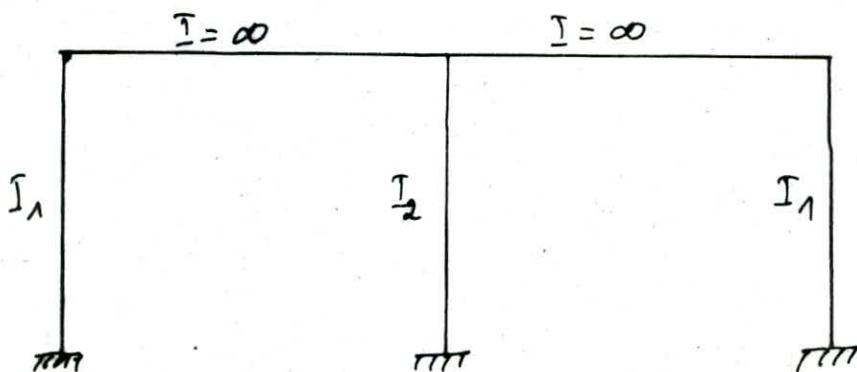
$$\sum \delta = \delta_1 + \delta_2 + \delta_3$$

δ_1 : deformation de l'élastomère

δ_2 : deformation de fût de la pile ou de la culée

δ_3 : deformation des fondations

On designe par k la rigidite d'un appui (pile ou culée) dans par $k = \frac{1}{\sum \delta_i}$

Schema statiqueApplication au projet

Deformation de l'élastomère

$$\delta_1 = \frac{T_2}{nGA}$$

G : module de cisaillement de l'élastomère
 T_2 : hauteur de l'élastomère
 $A = a \cdot b$ (aire de l'élastomère)
 n : nombre d'appareils d'appuis
 $A = 40 \times 50 = 2000 \text{ cm}^2$ $G = 10 \text{ kg/cm}^2$

Appareils d'appuis au niveau de la culée

$$n = 6$$

$$T_2 = 20,9 \text{ cm}$$

$$\delta_{10} = \delta_{12} = 17,4 \cdot 10^{-5} \text{ m} = 0,017 \text{ cm}$$

Appareils d'appuis au niveau de la pile

$$n = 12$$

$$T_2 = 20,9 \text{ cm}$$

$$\delta_{11} = 34,8 \cdot 10^{-5} \text{ m} = 0,035 \text{ cm}$$

Déformation de la culée et de la pile
 les rigidités des voiles de la culée sont assez grandes par conséquent on peut admettre que la déformation est nulle (Rigidité infinie)
 où $\delta_{20} = \delta_{22} = 0$

Déformation d'un fut de la pile

$$\delta_{21} = \frac{h^3}{3EI n}$$

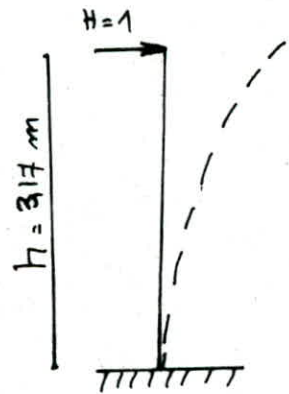
I : moment d'inertie d'un fut
 E : module d'élasticité du béton
 n : nombre de futs
 h : hauteur de la pile

$$E = 21000 \sqrt{\text{N/cm}^2} = 3,84 \cdot 10^6 \text{ t/m}^2$$

$$D = 1,25 \text{ m} \quad I = \frac{\pi D^4}{64} = 0,1198 \text{ m}^4$$

$$h = 3,17 \text{ m}$$

$$\delta_{21} = 2,08 \cdot 10^{-5} \text{ m} = 0,002 \text{ cm}$$



Déformation de la fondation

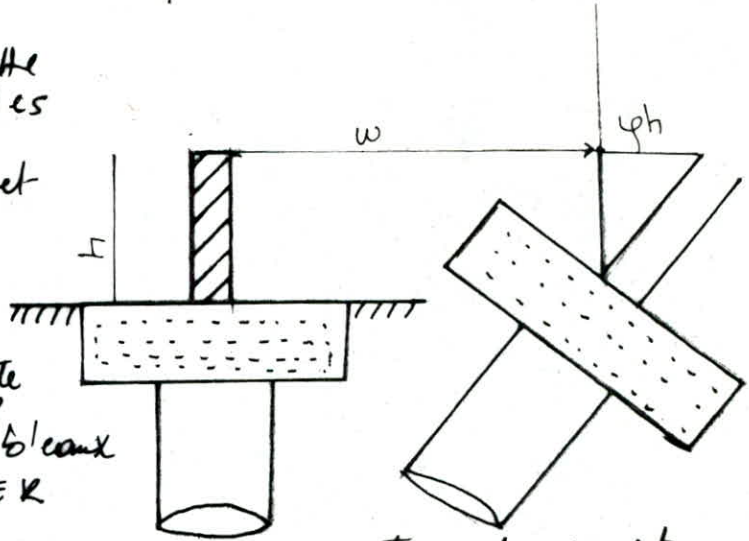
la déformation d'une fondation sur une file de piles est comme illustrée dans la figure ci-contre. les déformations se traduisent par :

w : déplacement en tête de pile
 ϕh : déplacement de la fondation à la rotation w

Le déplacement et cette rotation dépendent des caractéristiques de la fondation sur pieu et aussi de la réaction du sol les pieux sont plantés.

Le déplacement et cette rotation sont évalués à l'aide de tableaux de HEINRICH-WERNER dans l'ouvrage

"BETON UND STAHLBETONBAU" qui prennent compte des caractéristiques du sol. des déformations en tête de pieu



$$EI w = \frac{X_{wM^*}}{\lambda^2} M^* + X_{wP^*} \frac{P^*}{\lambda^3}$$

$$EI \varphi = X_{\varphi M^*} \frac{M^*}{\lambda} + X_{\varphi P^*} \frac{P^*}{\lambda^2}$$

P^* : effort tranchant en tête de pieu en gendré par la charge unitaire. Pour une fondation de n pieux, ou a pour chaque pieu: $P^* = \frac{1}{n} (t)$

M^* : Moment fléchissant en tête de pieu en gendré par la charge unitaire. Pour chaque pieu ou ancre: $M^* = \frac{1}{n} (t \cdot m)$

λ : paramètre de pénétration du module de réaction du sol C_u et des caractéristiques de pieux.

$$\lambda = \frac{1}{\alpha} = \sqrt{\frac{b \cdot C_u}{4 \cdot EI}}$$

α : longueur caractéristique du pieu

$$\alpha = \sqrt{\frac{4EI}{b \cdot C_u}}$$

b : diamètre du pieu
 C_u : module de réaction du sol de la fondation
 I : moment d'inertie du pieu
 E : module de déformation instantanée du béton

Quant au coefficient X_{wM^*} , $X_{\varphi M^*}$, X_{wP^*} , $X_{\varphi P^*}$, ils sont données par les tables de Werner en fonction de paramètres λ de la longueur du pieu

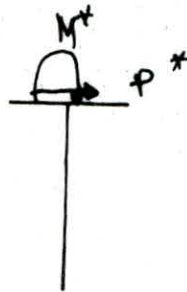
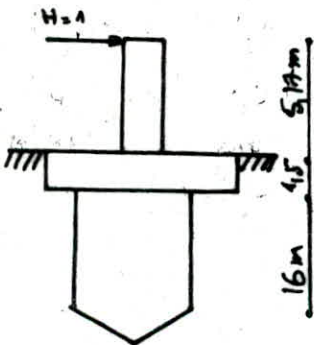
du module de réaction du sol C_u ainsi que la forme de la variation de ce module de réaction du pieu (libre ou articulation simple)

Application

Deformation de la fondation de la pile
 la semelle de fondation d'appui sur 2 files de 3 pieux ($h=6$) de longueur $l=16\text{ m}$ d'où $p^* = \frac{1}{6} = 0,166\text{ t}$. Pour une

$$M: 1. \frac{h}{n} = 0,528\text{ t.m}$$

de module de réaction C_u est estimée à $C_u = 6000\text{ t/m}^3$ la variation le long du pieu est prise entre celle d'un sol très sapeux (variation linéaire $C_u(x) = C_u \cdot \frac{x}{l}$ à la profondeur x du sol et celle d'un sol présent antérieurement (variation parabolique de C_u le long du pieu)



Le pied du pieu est suppose libre

$$\lambda = \left(\frac{D \cdot C_u}{4EI} \right)^{1/4}$$

$$D = 1,2\text{ m} \quad C_u = 6000\text{ t/m} \\ E = 3,54 \cdot 10^6\text{ t/m}^2 \quad I = 0,1078\text{ m}^4$$

$$\lambda = 0,375 \quad \Rightarrow \quad \lambda l = 6$$

Les tableaux de M^r KERNER donnent

$$X_{wM^*} = -1,45$$

$$X_{wp^*} = -2,09$$

$$X_{\varphi M^*} = 1,65$$

$$X_{\varphi p^*} = 1,45$$

En calculant avec les formules précédentes, on obtient

$$w = 3,53 \cdot 10^{-5}\text{ m}$$

$$\varphi = 1,12 \cdot 10^{-5}\text{ m}$$

Soit le déplacement de la fondation de la pile

$$\delta_{31} = w + \varphi h = 9,12 \cdot 10^{-5} \text{ m} \approx 0,01 \text{ cm}$$

Deformation de la fondation de la culée

La semelle de liaison est appuyée sur 2 piles de 3 piles chacune (n=6). On peut considérer que la rotation en tête de pile est nulle ($\varphi=0$) d'où $p^* = 0,166t$ pour une longueur $l=16\text{m}$ et en cas de réaction de sol et la mode d'appui en pied que pour

$$X_{w p^*} = -2,09 \quad X_{w M^*} = -1,45$$
$$X_{\varphi p^*} = 1,45 \quad X_{\varphi M^*} = 1,65$$

La rotation en tête de pile est empêchée. On pose $\varphi=0$ d'où le moment fléchissant du sol par la réaction du sol

$$M^* = - \frac{X_{\varphi p^*} \cdot p^*}{X_{\varphi M^*} \cdot \lambda} = 0,389 \text{ t.m}$$

Soit le déplacement en tête de pile :

$$w = \delta_{30} = \delta_{32} = 0,03 \text{ cm}$$

Repartition des efforts horizontaux

Les efforts horizontaux agissant sur la superstructure seront répartis sur les différents appuis en fonction de leur rigidité. Ainsi pour chaque appui reçoit

$$H_i = \frac{K_i}{\sum K_i} H$$

Les rigidités pour les différents appuis et les charges horizontales sont connues et l'effort sur chaque appui sera :

$$H_i = \frac{K_i}{\sum K_i} \cdot H$$

	abscisse x_c (m)	elast δ_{21} (cm)	Pon C δ_{22} (cm)	Fond δ_{21} (cm)	δ_c def (ax)	Rigid K_c	$K_c x_c$	$H_c \%$	$H_{Fr}(t)$	H_{seu} (t)
Culee(0)	0	0,017	0	0,003	0,02	50	0	41,25	12,375	35,20
Pile(1)	25	0,035	0,002	0,01	0,047	21,28	53191	17,5	5,25	14,95
Culee(2)	50	0,017	0	0,003	0,02	50	25000	41,25	12,375	35,20
$\Sigma \rightarrow$						121,28	303191	100%	30	85,35

Efforts sur des appuis resultants des variations lineaires du tablier

Les déplacements du tablier sont comptés à partir du centre de déplacement. Ce dernier est défini comme étant la position de la section du tablier du pont qui subit aucun déplacement. La position du centre de déplacement est donnée par :

$$X_0 = \frac{\sum K_c x_c}{\sum K_c} = 25m$$

La pile n'est pas affectée par un déplacement linéaire. La variation linéaire d'un point d'abscisse x_c s'écrit :



Δl_{max} = déplacement maximal de au flange, température et retrait
 $\Delta l_{max} = 26,43 \text{ mm}$

Cette variation linéaire engendre un effort sur l'appui $H_{VL} = \frac{n \cdot G \cdot U_c \cdot a \cdot b}{T}$ (a, b, T) sont les caractéristiques de appareils d'appuis et n leur nombre.

Sur la pile $X_1 = 0$ $U_{lp} = 0$; $H_{VL,p} = 0$
 Sur la culee $X_1 = 25,00m$ $U_{lc} = \frac{\Delta l_{max}}{L}$ $X_c = 13,21 \text{ mm}$

avec $\Delta l_{max} = 26,43 \text{ mm}$ $L = 50m$ $X = 26m$

$$H_{Vlc} = \frac{n \cdot G \cdot U_c \cdot a \cdot b}{T} = 7,58 t$$

avec $a = 40 \text{ cm}$ $b = 50 \text{ cm}$ $T_B = 20,9 \text{ cm}$
 $n = 6$ $G = 10 \text{ kg/cm}^2$

Chap XV

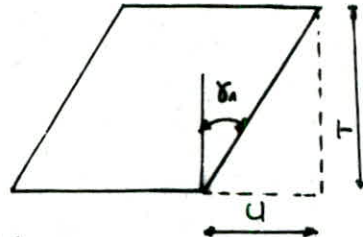
Vérification des appareils d'appuis

Vérification au cisaillement
Sous variation Linéaire

Condition à vérifier

$$\tau_{H1} = G \cdot \operatorname{tg} \gamma_1 \leq 0,5 G$$

$$\operatorname{tg} \gamma_1 \leq 0,5$$



Pour la pile $u_{ep} = 0 \Rightarrow \operatorname{tg} \gamma_1 = 0 < 0,5$ vérifie

Pour la culée $\frac{u_{ec}}{T} = \frac{12,21}{209} = 0,05 < 0,5$ vérifie

Sous variation linéaire + frottement
ou vérifie que :

$$G \operatorname{tg} \gamma_1 + \frac{H_{f2}}{n \cdot G \cdot a \cdot b} \leq 0,7 G \Rightarrow \operatorname{tg} \gamma_1 + \frac{H_{f2}}{n \cdot G \cdot a \cdot b} \leq 0,7$$

Pile $\frac{u_{ep}}{T} + \frac{H_{f2}}{n \cdot G \cdot a \cdot b} = 0 + \frac{5,25 \cdot 10^3}{12 \cdot 10 \cdot 40 \cdot 50} = 0,021 < 7$

Culée $\frac{u_{ec}}{T} + \frac{H_{f2}}{n \cdot G \cdot a \cdot b} = \frac{12,21}{209} + \frac{12,375}{6 \cdot 10 \cdot 40 \cdot 50} = 1,089 < 7$
vérifie

Sous variation linéaire + déform

ou vérifie que : $\tau_H = \operatorname{tg} \gamma_1 + \frac{H_s}{n \cdot G \cdot a \cdot b} < 1,33$

Pile : $\frac{u_{ep}}{T} + \frac{H_s}{n \cdot G \cdot a \cdot b} = 0 + \frac{14,95 \cdot 10^3}{12 \cdot 10 \cdot 40 \cdot 50} = 0,06 < 1,33$
vérifie

Culée $\frac{u_{ec}}{T} + \frac{H_s}{n \cdot G \cdot a \cdot b} = 0,05 + \frac{35,20 \cdot 10^3}{6 \cdot 10 \cdot 40 \cdot 50} = 0,34 < 1,33$

Sous variation linéaire + frottement + déform

la condition à vérifier : $\operatorname{tg} \gamma_1 + \frac{H_{f2}}{2n \cdot G \cdot a \cdot b} + \frac{H_s}{2n \cdot G \cdot a \cdot b} \leq 1,3$

Pile : $0 + \frac{14,95 \cdot 10^3}{2 \cdot 12 \cdot 10 \cdot 40 \cdot 50} + \frac{5,25 \cdot 10^3}{2 \cdot 12 \cdot 10 \cdot 40 \cdot 50} = 0,04 < 1,3$

Culée $0,05 + \frac{10^3}{1 \cdot 6 \cdot 10 \cdot 40 \cdot 50} (12,375 + 35,2) = 0,24 < 1,3$

Sous charge verticale + charge horizontale + rotation d'appui

la condition à vérifier : $\tau = \tau_N + \tau_H + \tau_\alpha \leq 5 G$

$$\tau_N = \frac{1,5 \sigma_{max}}{\rho}$$

(contrainte de cisaillement due à la charge verticale : $\sigma_{max} = 46,54 \text{ kg/cm}^2$)

$$\rho = \frac{a \cdot b}{2t(a+b)}$$

(coefficient de forme de l'appareil d'appui)

t : épaisseur de feuillet élémentaire de l'élastomère (t = 11 mm)

$$\text{d'où } \tau_N = \frac{1,5 \cdot \sigma_{max} \cdot 2t(a+b)}{a \cdot b} = 6,91 \text{ kg/cm}^2$$

$$\tau_H = G \cdot \gamma_1 + \frac{H_3}{h \cdot a \cdot b}$$

contrainte due à la charge horizontale sous variation linéaire + sisme.

$$\tau_H = 10 \cdot 0,05 + \frac{47,57 \cdot 10^3}{6 \cdot 40 \cdot 50}$$

$$\Rightarrow \tau_H = 4,46 \text{ kg/cm}^2$$

$$\tau_\alpha = \frac{1}{2} \frac{a^2}{t^2} \left(\frac{\alpha_T + \alpha_0}{n} \right) G$$

contrainte due à la

α_0 : rotation due aux imperfections de l'appareil d'appui et au défaut d'exécution

$$\alpha_0 = \frac{1}{100} \text{ rad}$$

α_T : rotation d'appui ($\alpha_T = 0,0025 \text{ rad}$ calculée en charge, en surce)

n : nombre de feuillets d'élastomère par appareil d'appui n = 19

$$\tau_\alpha = \frac{1}{2} \frac{40^2}{12^2} \left(\frac{0,01 + 0,0025}{19} \right) \cdot 10 = 4,35 \text{ kg/cm}^2$$

Enfinement, on doit vérifier

$$\tau = \tau_N + \tau_H + \tau_\alpha \leq \bar{\tau} = 5 G$$

$$\tau = 6,91 + 4,46 + 4,35 = 15,72 \text{ kg/cm}^2 < 50 \text{ kg/cm}^2$$

94

Condition de non fendement de l'appui
 ou vérifie que $\sigma_f = \frac{\sigma_T + \sigma_0}{n} \leq \frac{3}{\beta} \frac{t_2}{a^2} \sigma_{max}$

$0,65 < 1,04$ vérifiée

Condition de non cheminement et de non glissement

- 1^{ère} condition $\sigma_{min} \geq 10 \text{ kg/cm}^2$
 condition satisfaite puisque $\sigma_{min} = 17,5 \text{ kg/cm}^2$
- 2^{ème} condition $H \leq f \cdot N$
 N: effort normal minimal provenant du tablier
 $R_{min} = 35 \text{ t}$
 f: coefficient de frottement total

$$f = 0,1 + \frac{6}{\sigma_{max}} \pm 0,15 = 0,379$$

Appareil d'appuis de la dalle

$$H = \frac{1}{6} (12,375 + 35,2) = 7,93$$

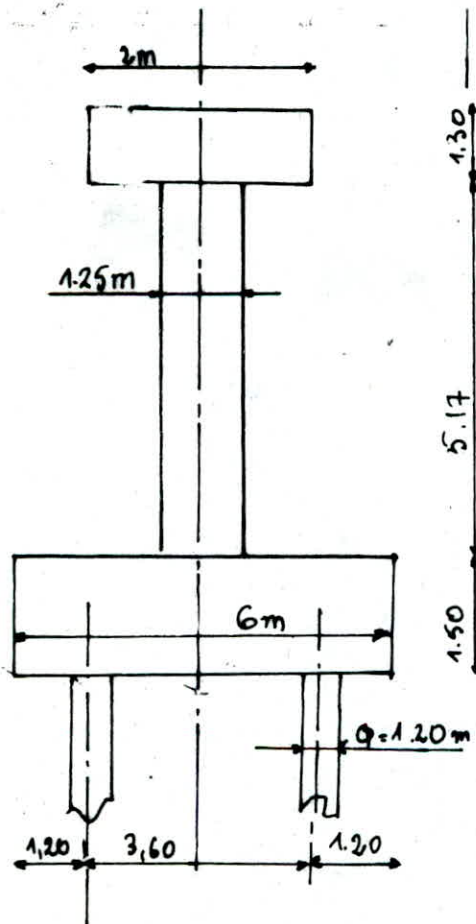
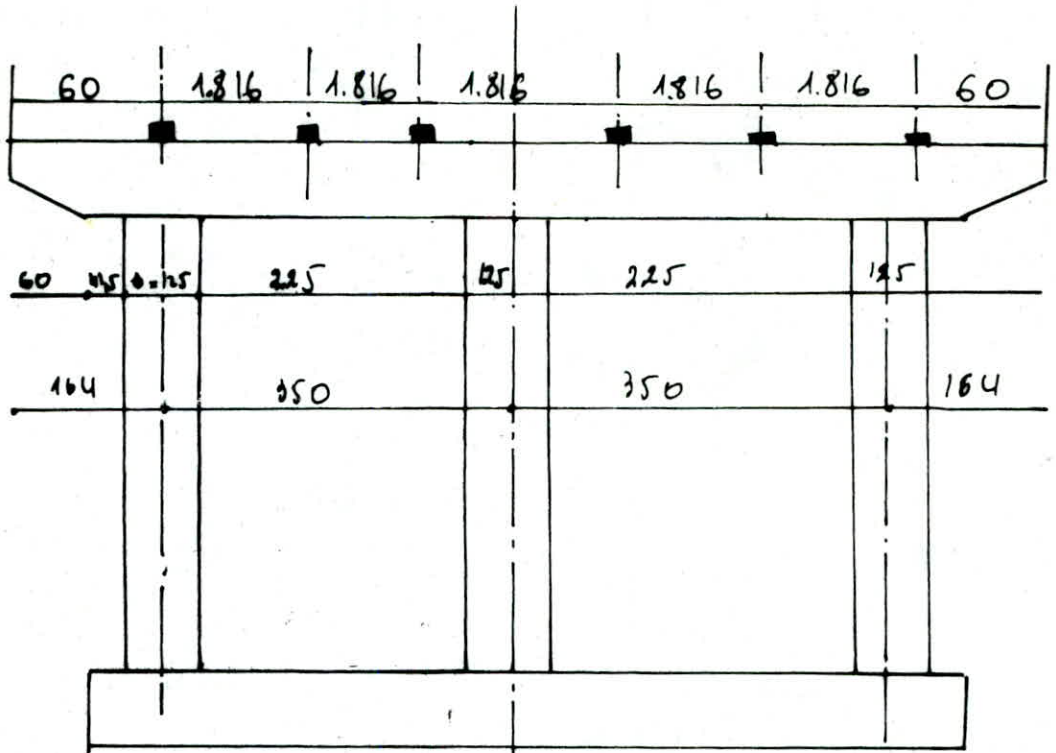
$$f \cdot N = 13,26 \text{ t} > H = 7,93 \text{ t}$$

Pour la pile

$$H = \frac{1}{12} (14,95 + 5,25) = 1,68 \text{ t} < 13,26 \text{ t}$$

Chap. XVI

ETUDE DE LA PILE



Etude du chevetre

Le rôle du chevetre est de transmettre les efforts provenant du tablier aux autres éléments de la pile tels que les futs, la fondation. Le chevetre doit être conçu pour pouvoir reprendre son propre poids et les efforts provenant du tablier. Il doit être étudié comme une poutre dont les appuis sont les futs.

Evaluation des efforts

Poids propre du chevetre : $q_G = 2 \cdot 1,3 \cdot 2,5 = 6,5 \text{ t/ml}$

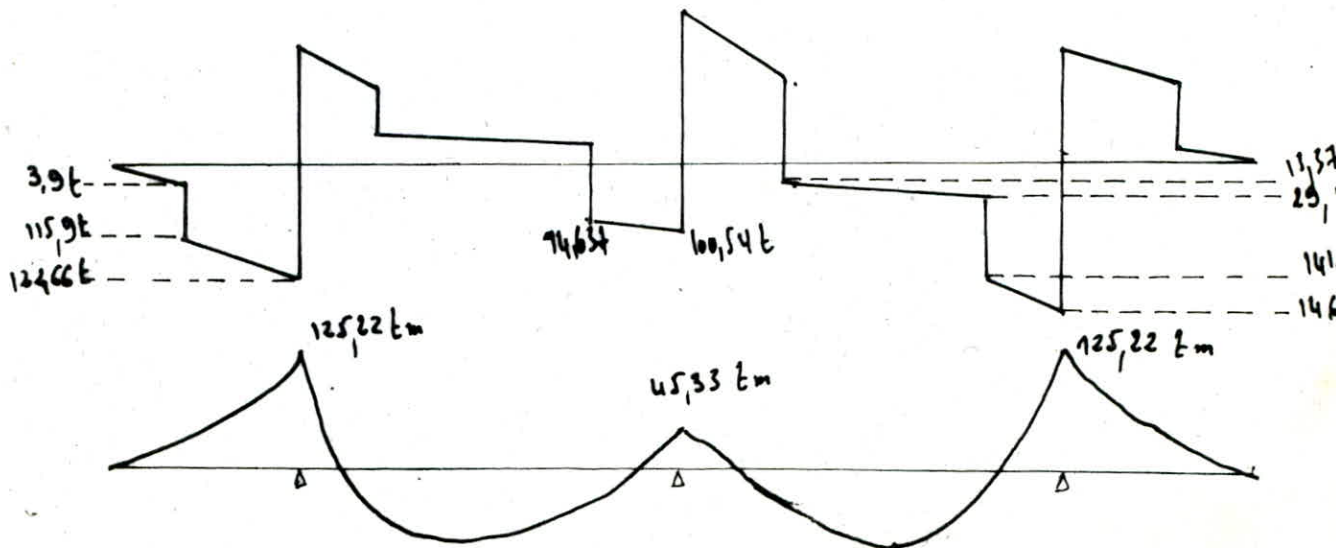
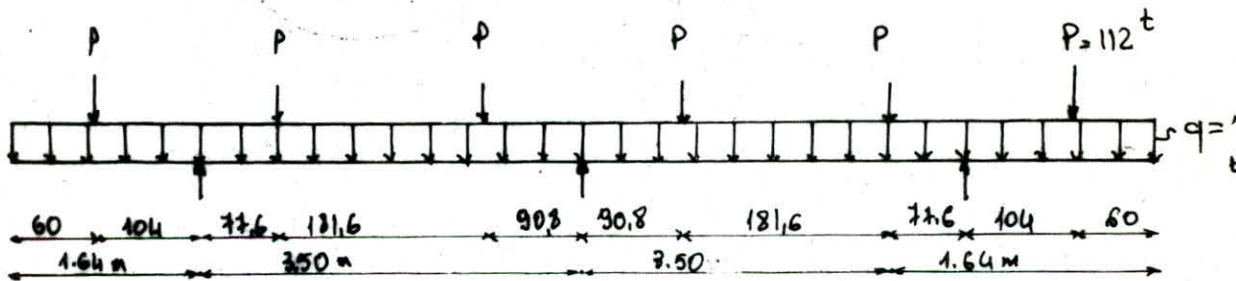
Effort provenant du tablier : $P_G = 420,06 = 70 \text{ t}$

Surcharge : pour la pile chaque poutre transmet : $P_S = \frac{2 \cdot 104,52}{6} = 34,80 \text{ t}$

Charge concentrée : $P = P_G + 1,2 P_S$

$P = 112 \text{ t}$

Schema statique du chevetre



Moment sur appui

$$M_{app A} = M_{app C} = 125,22 \text{ t.m}$$

$$M_{app B} = 45,33 \text{ t.m}$$

Effort tranchant maximum

$$T_{max} = 146,21 \text{ t}$$

Ferraillage du Chevre de (Methode Pierre Simon)

$$\text{sur appui A} \quad M = 125,22 \text{ t.m}$$

$$h = h_f - d = 130 - 6 = 124 \text{ cm}$$

$$\mu = \frac{15M}{\bar{\sigma}_a \cdot b \cdot h^2} = \frac{15 \cdot 125,22 \cdot 10^5}{2670 \cdot 200 \cdot 124^2} = 0,0228 \quad \left\{ \begin{array}{l} \xi = 0,9394 \\ k = 60,95 \end{array} \right.$$

$$\sigma'_a = \frac{\bar{\sigma}_a}{k} = \frac{2670}{60,95} = 43,95 \text{ kg/cm}^2 \quad \geq \quad \bar{\sigma}'_b = 184 \text{ kg/cm}^2$$

$$A = \frac{M}{\bar{\sigma}_a \cdot \xi \cdot h} = \frac{125,22 \cdot 10^5}{2670 \cdot 0,9394 \cdot 124} = 40,50 \text{ cm}^2$$

$$\text{on prend } 40920 = 106,76 \text{ cm}^2$$

Condition de non fissuration

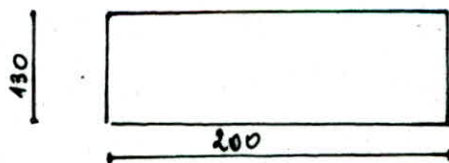
$$\sigma_1 = \frac{kg}{d} \frac{w_f}{1 + \alpha w_f}$$

$$\sigma_2 = 2,14 \frac{kg}{d} \sigma_b$$

$$\begin{array}{l} k = 10^6 \\ \alpha = 16 \end{array}$$

$$\sigma_a = \min(2670; \max(\sigma_1, \sigma_2)) = 2670 \text{ kg/cm}^2$$

la condition de fissuration est vérifiée

Efforts tranchants

$$T_{max} = 146,21 \text{ t}$$

$$\bar{\tau}_b = \frac{T}{b \cdot z} = \frac{146,21 \cdot 10^3}{200 \cdot \frac{7}{8} \cdot 124} = 6,44 \text{ kg/cm}^2$$

$$\sigma'_b < \sigma'_{b0} \Rightarrow \bar{\tau}_b = 3,5 \bar{\sigma}_b = 26,25 \text{ kg/cm}^2$$

$$\tau_b = 6,44 \text{ kg/cm}^2 < \bar{\tau}_b = 26,25 \text{ kg/cm}^2$$

On utilise des cadres perpendiculaires à la ligne moyenne (armature d'axe droite)

$$j_{at} = \max \left(\frac{2}{3}; 1 - \frac{\tau_b}{9 \bar{\sigma}_b} \right) = 0,90$$

$$\sigma_{at} = j_{at} \cdot \sigma_{cu}$$

$$\sigma_{cu} = 4000 \text{ kg/cm}^2 \Rightarrow \sigma_{at} = 3600 \text{ kg/cm}^2$$

Armature transversale

On adopte 6 cadres $\#10$ en U soit $A_t = 12,0785$
 $A_t = 10,5 \text{ cm}^2$

l'espacement de A_t sera :

$$t \leq j \frac{\sigma_{at}}{\tau} A_t = 108,5 \frac{3600}{146,21 \cdot 10^3} \cdot 10,3$$

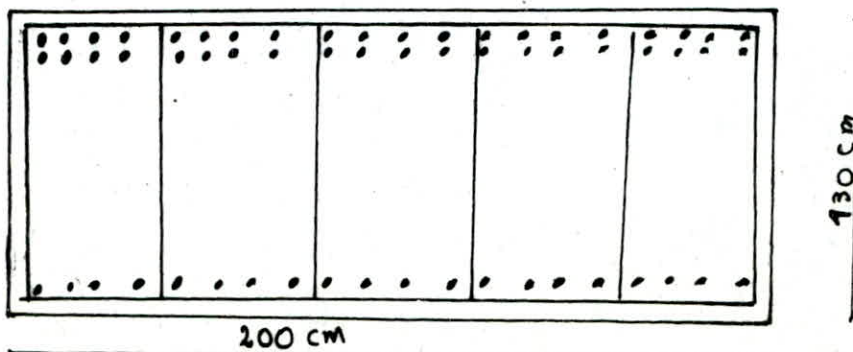
$$t \leq 28 \text{ cm}$$

On prend $t = 15 \text{ cm}$ au appui car l'effort est
 moins important. $t = 20 \text{ cm}$ là où l'effort est

$$\bar{E} = \min \left\{ 0,2h; \left(1 - 0,3 \frac{\tau_b}{\bar{\sigma}_b} \right) h \right\} = 24,8 \text{ cm}$$

$$\text{on a bien } t < \bar{E}$$

Schéma de ferrillage des sections



Etude du fût
 les fûts de la pile sont sollicités par des charges variables (poids de la pile, charge et surcharge du tablier) et des charges horizontales (variations linéaires du tablier freinage, etc.). Les charges horizontales engendrent à la base des fûts des moments fléchissants.

Effort à la base des fûts

Condition normale	G + 1,2P + T			
	Effort Horizontal H(t)	Effort Vertical N(t)	d(m)	M _f /o (t.m)
Chevêtre 2,5(1,3.2.10,28)	0	66,82	0	0
Fûts 2,5(π.1,25 ² .5,17) x 3	0	47,58	0	0
Tablier	0	420	0	0
Surcharge	0	240	0	0
Variation linéaire du tablier	0	0	6	
Freinage	5,25	0	7,87	41,52

Combinaison de 1^{re} genre

$$1 \begin{cases} N_{\max} = 66,82 + 47,58 + 420 + 240 \cdot 1,2 = 822,4 \text{ t} \\ H_{\max} = 1,2 \cdot 5,25 = 6,30 \text{ t} \\ M_{\max} = 41,52 \text{ t.m} \end{cases}$$

$$2 \begin{cases} N_{\min} = 66,82 + 47,58 + 420 + 240 = 774,4 \text{ t} \\ H_{\min} = 0 \text{ t} \\ M_{\min} = 0 \text{ t.m} \end{cases}$$

Calcul des efforts à la base de chaque fût

$$1 \begin{cases} N_{\min} = 258,13 \text{ t} \\ H_{\min} = 0 \\ M_{\min} = 0 \end{cases} \quad 2 \begin{cases} N_{\max} = 274,13 \text{ t} \\ H_{\max} = 2,1 \text{ t} \\ M_{\max} = 13,77 \text{ t} \end{cases}$$

		G+P+T+SI			
Conditions extremes		H(t)	N(t)	d(m)	M _{g/10} (tm)
Chevêtre	1,07		71,50		
	0,93		62,14		
Fut	1,07		50,91		
	0,93		44,25		
Tablees	1,07		449,4		
	0,93		378		
Surcharge			240		
Variation linéaire du tablier					
Freinage		5,25		7,87	41,32
Seisme		14,95	14,95	6,47	96,75

$$N_{max} = 648,1 \text{ t}$$

$$H_{max} = 20,2 \text{ t}$$

$$M_{max} = 138,05$$

Efforts à la base de chaque fut

$$N_{max} = 216 \text{ t}$$

$$H_{max} = 6,75 \text{ t}$$

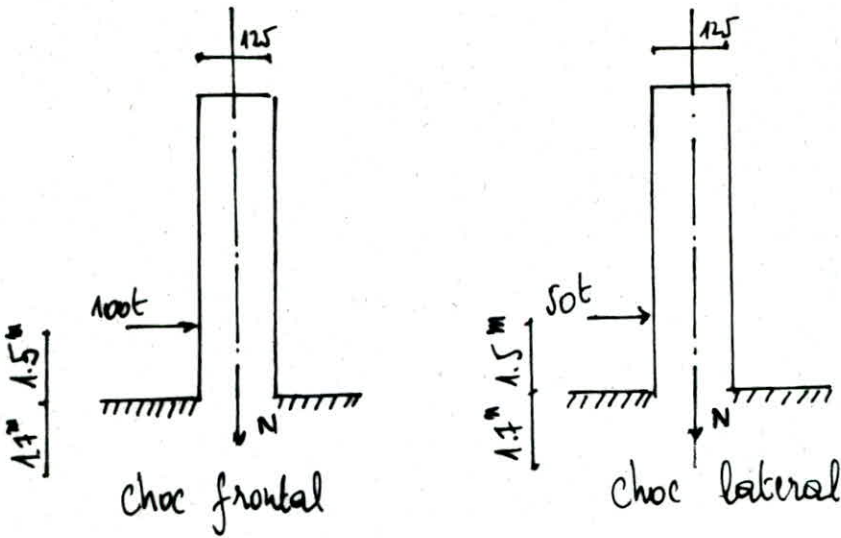
$$M_{max} = 46 \text{ t}$$

Effort résultant d'un choc de véhicules autoroutiers sur le fut :
 Les bulletins SETRA donnent comme valeur nominale de choc de véhicules 100 t
 - choc frontal 50 t
 - choc latéral 50 t
 de force statique équivalente s'applique à 1,5 m au dessus de la chaussée.

Sollicitation de calcul par fut

Charge permanente = $\frac{1}{2}$ (P.P. tablier + P.P. chevêtre + P.P. fut)

$$N = \frac{1}{2} (420 + 66,28) + 47,58 = 239,72 \text{ t}$$



Ferrillage du fût

On veut de voir que le fût est à chaque fois sollicité en flexion composée. On fera la vérification en condition normale. On fera la vérification en condition normale.

Susceptibilité du fût au flambement

$l_e = \beta l_0$ avec $\beta = 1,3$ (poteau flexible encastrement aux extrémités)

$l_e = 6,72m$

On a 1 fût cylindrique $D = 1,25m \Rightarrow I = 0,1198m^4$

l'élongement $A = \pi R^2 = 1,227m^2$
 $\lambda = \frac{l_e}{r} = \frac{l_e}{\sqrt{\frac{I}{A}}} = \sqrt{\frac{A}{I}} = \sqrt{\frac{1,227}{0,1198}} = 0,31m$

$\lambda = 21,68 < 35$

Notre fût se calcule en flexion composée sans tenir compte du flambement.

Ferrillage du fût suivant la condition simple

$N_{max} = 216t$; $H_{max} = 6,75t$; $M_{max} = 46tm$

$\Sigma = 1,17$
 $k = 26,97$
 D'où $A_s = \frac{1,17}{100} \pi (6,75)^2$

$A_s = 163,58 cm^2$

$$\sigma'_b = \frac{\sigma_{cu}}{k} = 148,51 \text{ kg/cm}^2 < 1,5 \sigma'_b = 1,5 \cdot 92 = 138 \text{ kg/cm}^2$$

$$A = 19532 = 152,8 \text{ cm}^2$$

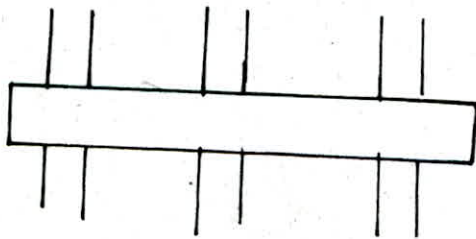
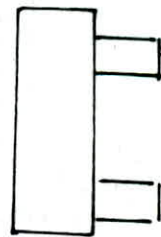
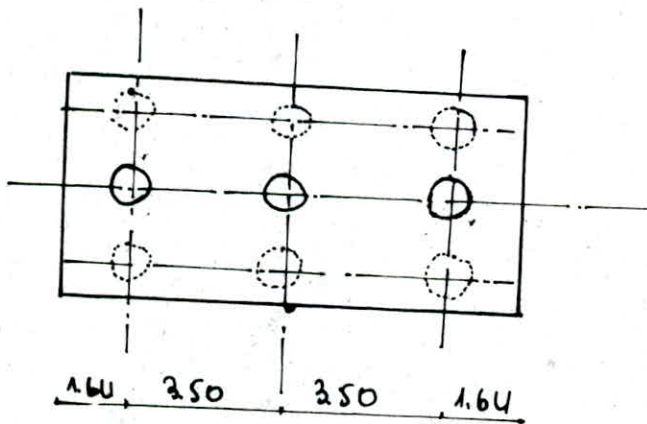
d'espacement $e = \frac{1}{19} (27 \cdot 56,25 - 19 \cdot 3,2) \Rightarrow e = 15 \text{ cm}$
 Dans le sens transversal, on prend des cerces $\phi 10$

$$\begin{cases} t_1 = (100 \phi_t - 15 \phi_{L_{\max}}) \left(2 - \frac{\sigma'_b}{\sigma'_{b0}} \right) \\ t_2 = 15 \phi_{L_{\min}} \left(2 - \frac{\sigma'_b}{\sigma'_{b0}} \right) \end{cases}$$

$$\begin{cases} t_1 = (100 \cdot 1 - 15 \cdot 3,2) \left(2 - \frac{148,51}{138} \right) = 48 \text{ cm} \\ t_2 = 15 \cdot 3,2 \left(2 - \frac{148,51}{138} \right) = 44 \text{ cm} \end{cases}$$

$$t = 40 \text{ cm}$$

Etude de la Semelle



Reactions en tete de poutre

	Normal	Sismique
$R_{max}(t)$	240,491	372,95
$R_{min}(t)$	230,35	62,72

Sur traversée

$$N = R_{max} \cdot \frac{(l/2 - b/4)}{h} = 250,49 \cdot \frac{(\frac{10,28}{2} - \frac{1,25}{4})}{1,15}$$

$$N = 301,68 \text{ t}$$

$$A = \frac{N}{\sigma_a} = \frac{301,68 \cdot 10^3}{2667} = 93,10 \text{ cm}^2$$

$$A = 20T25 (= 98,17)$$

Les armatures de repartitions :

$$A' = \frac{1}{3} A = \frac{93,10}{3} = 31,03 \text{ cm}^2$$

$$A' = 8T20 (= 25,13 \text{ cm}^2)$$

Vérification de la brette :

au niveau du fut :

$$\sigma'_b = \frac{Q}{B \text{ cm}^2} =$$

avec :

$$Q = 259,49 \text{ t}$$

$$B = 1271,85 \text{ cm}^2$$

$$D = 450$$

$$\sigma'_b = 40,82 \text{ kg/cm}^2$$

$$1,6 \sigma'_f = 1,6 \cdot 400 = 640 \text{ kg/cm}^2$$

$$< 184 \text{ kg/cm}^2 = \bar{\sigma}'_b$$

au niveau du poutre

$$B_1 = 11309,73 \text{ cm}^2$$

$$\sigma'_b = 37,62 \text{ kg/cm}^2 < 184 \text{ kg/cm}^2$$

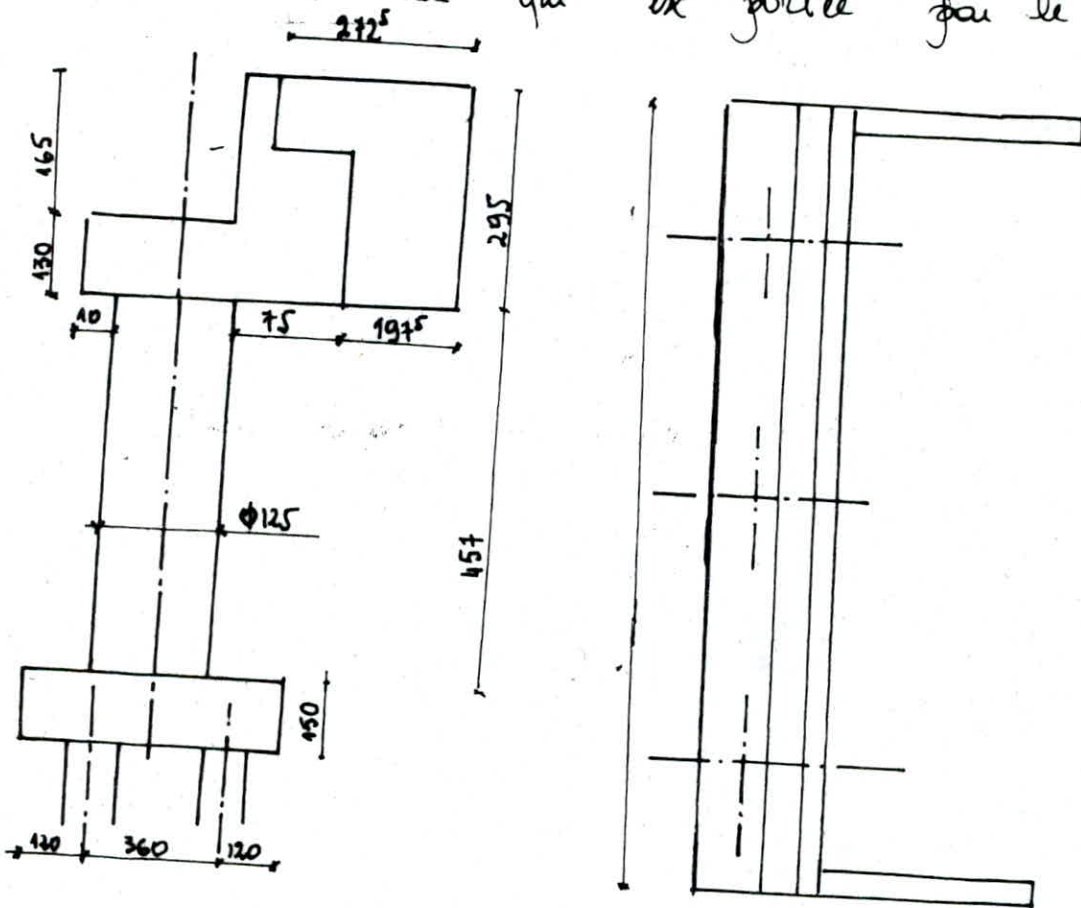
chap XVIII

ETUDE DE LA CULEE

INTRODUCTION

La culee est l'un des éléments fondamentaux de l'ensemble de l'ouvrage d'appui extrêmes ou elle fait que les 2 culées soient des appuis différents selon les conditions d'équilibre horizontale ou verticale.

Les culées assurent le raccordement de l'ouvrage au terrain, leurs positions sont telles qu'il y a continuité entre la chaussée de la route et celle qui est portée par le pont.



Sollicitations à prendre en compte:

les sollicitations à prendre en compte sont:

actions verticales: réaction du tablier, poids propre et surcharge routière

actions horizontales: variations de niveau, freinage, poussée des terres.

Poussée des terrescondition normale

$$H_n = \frac{1}{2} k_a \gamma H^2 l \quad \text{avec} \quad k_a = \frac{1 - \sin \varphi}{1 + \sin \varphi} = 0,33 \quad (\varphi = 30^\circ)$$

$$H_n = \frac{1}{2} \cdot 0,33 \cdot 2 \cdot (2,95)^2 \cdot 10,5 = 30,15 \text{ t}$$

Les 2 culées subissent les mêmes poussées de terres.

Condition homogène

$$H_s = \frac{1}{2} k_a \gamma H^2 l \quad \text{avec} \quad k_a = \frac{\cos^2 (\varphi - \alpha - \beta)}{\cos \alpha \cos \beta \cdot \cos (\delta + \beta + \nu)} \left[1 + \frac{\sin (\varphi + \delta) \sin (\varphi - \nu - \alpha)}{\cos (\delta + \beta + \nu) \cos (\alpha - \beta)} \right]$$

$$k_a = 0,42 \quad \text{avec}$$

$$\varphi = 30^\circ$$

$$\beta = 0$$

$$\alpha = 0$$

$$\delta = 0$$

$$\nu = \arctg \frac{k_a}{1 - k_a}$$

$$k_a = 0,1$$

$$k_a = \pm 0,07$$

$$\text{d'où } H_s = \frac{1}{2} \cdot 0,42 \cdot 2 \cdot (2,95)^2 \cdot 10,5$$

$$H_s = 38,38 \text{ t}$$

Évaluation des efforts à la base de la culée

Désignation	H [t]	R [t]	d (m)	M [t·m]
Chevrete $10,5 \cdot 2 \cdot 1,3 \cdot 2,5 \cdot 1,803$	-	68,25	0,375	25,605
Mur garde grille $10,5 \cdot 1,65 \cdot 0,6 \cdot 2,5$	-	26	0,827	21,502
Murettes & culées d. $2 \cdot 2,725 \cdot 2,95 \cdot 0,4$	-	6,4	1,89	12,096
dalle de transition $2,5 \cdot 10,5 \cdot 0,3 \cdot 6$ 0,5	-	26,23	0,94	22,203
Poids propre du tablier	-	210,03	-	-
Futs $3 \cdot \pi \cdot \frac{1,25^2}{4} \cdot 5,17 \cdot 2,5$	-	47,58	-	-
Surcharge routière	-	107,92	-	-
Surcharge ventral : $10,5 \cdot 2 \cdot 0,6 \cdot 6$	-	37,8	0,94	35,532
Poussée des terres	30,15	-	7,61	-229,44
variations linéaires du tablier	7,58	-	7,27	55,11
Frottement	12,37	-	7,27	-89,93

Designation	H(t)	R(t)	d(m)	M ₁₀ (t.m)
Chevrete 68,25 $\begin{matrix} \nearrow 1,07 \\ \searrow 0,93 \end{matrix}$	-	43,03 63,47	0,575	27,57 23,8
Mur garde-grave de 6 $\begin{matrix} \nearrow 1,07 \\ \searrow 0,93 \end{matrix}$	-	27,82 24,18	0,827	23 20
Murette 2 ondes 6,4 $\begin{matrix} \nearrow 1,07 \\ \searrow 0,93 \end{matrix}$	-	6,85 6,37	1,80	12,95 12,04
Balle de transition 23,62 $\begin{matrix} \nearrow 1,07 \\ \searrow 0,93 \end{matrix}$	-	25,27 21,97	0,94	23,76 20,65
Poids propre du tablier 210,03 $\begin{matrix} \nearrow 1,07 \\ \searrow 0,93 \end{matrix}$	-	224,13 195,33	-	-
Futs 47,58 $\begin{matrix} \nearrow 1,07 \\ \searrow 0,93 \end{matrix}$	-	115,47 100,36	-	-
Surcharge ventiere 107,92 $\begin{matrix} \nearrow 1,07 \\ \searrow 0,93 \end{matrix}$	-	40,45 35,15	0,94	38,02 33,04
Surcharge ventale 37,8 $\begin{matrix} \nearrow 1,07 \\ \searrow 0,93 \end{matrix}$	-	40,45 35,15	0,94	38,02 33,04
Poussée des terres 28,38	28,38	-	7,61	-229,44
Variation linéaire	7,58	-	7,27	-55,11
Frottement	12,57	-	7,27	-89,93
lesme : $0,1 \cdot 210,03 + 35,2$	56,203	-	6,47	
Total	114,533	564,53 490,67		-651,43 662,02

Ferraillage des éléments

Futs

de ferraillage de futs en condition sismique

$$N = \frac{564,53}{3} = 188,18 \text{ t}$$

$$M = \frac{662,02}{3} = 220,67 \text{ t.m}$$

$$\left. \begin{aligned} k_1 &= \frac{128,18 \cdot 0,625}{220,67} = 0,36 \\ k_2 &= \frac{220,67 \cdot 10^5}{62,5 \cdot 2667} = 0,935 \end{aligned} \right\} \frac{d}{2r} = 0,1 \quad \left\{ \begin{aligned} \omega &= 1,11 \\ k &= 21,23 \end{aligned} \right.$$

$$A = \frac{\omega}{100} \cdot \pi \cdot R^2 = \frac{1,11}{100} \cdot \pi \cdot (62,5)^2 \Rightarrow A = 135 \text{ cm}^2$$

Soit $20T32 = 160,8 \text{ cm}^2$ espous de $e = 15 \text{ cm}$

La contrainte du béton : $\sigma'_b = \frac{\sigma_a}{k} = \frac{2667}{21,23} = 125,6 < \bar{\sigma}'_b$

Sommaire : la section de la pile est identique à celle calculée pour la pile.

Chevetra

Evolution des charges
poids propre :

$$q_1 = 2 \cdot 2,5 \cdot S \text{ avec } S = 2,13 + 0,6 \cdot 1,65$$

$$S = 3,59 \text{ cm}^2$$

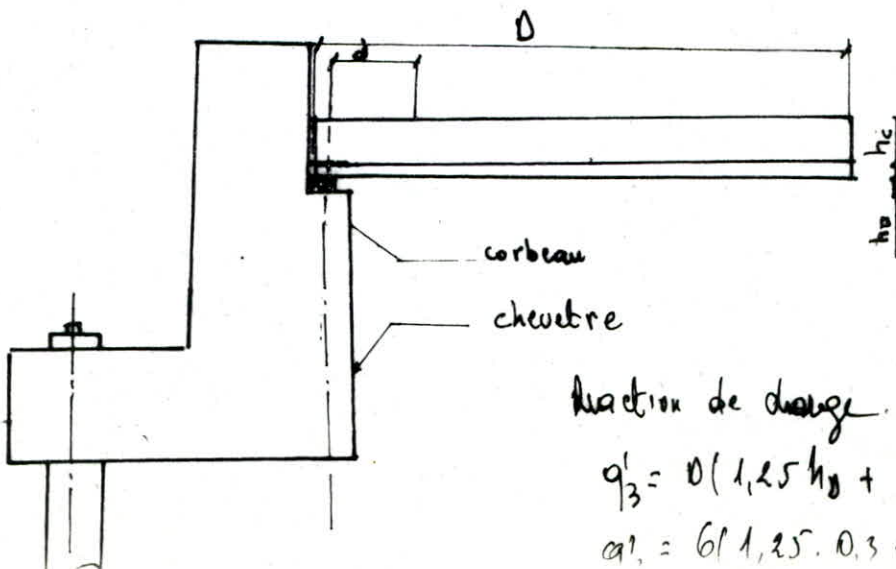
$$q_1 = 17,95 \text{ t/ml}$$

Mur garde-grave

Charge verticale : $q_2 = 0$

Charge horizontale : l'effet maximum est obtenu par combinaison des charges agissant à l'arrière et à l'avant du mur.

Dalle de transition



$$D = 6,00 \text{ m}$$

$$h_c = 68 \text{ cm}$$

$$h_b = 30 \text{ cm}$$

h_b épaisseur moyenne de la chevetra

h_c épaisseur de la dalle de transition

Reaction de charge permanente :

$$q'_3 = 0(1,25 h_b + 1,1 h_c)$$

$$q'_3 = 0(1,25 \cdot 0,3 + 1,1 \cdot 0,68) = 0,165 \text{ t/m}$$

Et la plus défavorable est :

$$q'_{Bc} = 2.5,5 + 1,2. 5,5 \frac{(6-0,4-1,5)}{6.0,4} = 15,83 \text{ t/ml}$$

$$q'_{Bt} = 2.5,5 + 1,2. 5,5 \frac{6-0,4-1,55}{6,1-0,4} = 16,01 \text{ t/ml}$$

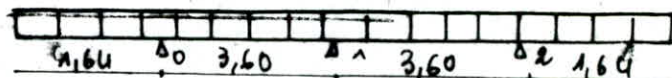
d'où $q_3 = q'_{Bt} + q'_3 = 21,175 \text{ t/ml}$

Murettes en retour : les actions transmises par les murettes en retour au chevet sont principalement :

verticalement : $F_y = 4 \text{ t}$
 horizontalement : $F_H = 2 \text{ t}$ (perpendiculairement au mur)

Tablier $q_4 = \frac{210,03 + 1,2. 37,8}{10,5} = 24,32 \text{ t/ml}$

Calcul des efforts



	M (t.m)		T (t)
	+	-	
Poids propre (y compris le mur garde presse)	24,114	19,386	38,77
Dalle de transition	28,48	22,87	47,738
Murettes en retour	6,56	-	4
Tablier	32,70	26,27	52,53
Total	91,88	68,53	143,038

Moments :

Sur appui : $M_0 = M_2 = -q \frac{a^2}{2}$ $M_1 = -q \frac{l^2}{12}$

En travée : $M_{0,1} = M_{1,2} = q \frac{cl}{12}$

Effort tranchant :

$$T = 0,69 q_c$$

Ferraillage : le ferraillage se fera par la méthode de Pierre Charrier
 $\phi_{200} \rightarrow \sigma_{cu} = 4200 \text{ kg/cm}^2$

Armatures Supérieures :

$$\mu = \frac{15. 91,88. 10^5}{2800. 180,3. (125)^2} = 0,01747 \quad \left\{ \begin{array}{l} \varepsilon = 0,9419 \\ k = 71 \end{array} \right.$$

$$\sigma'_b = \frac{2800}{71} = 39,48 \text{ kg/cm}^2 < \sigma'_b = 184 \text{ kg/cm}^2$$

$$A_s = \frac{91,87 \cdot 10^5}{2800 \cdot 0,9419 \cdot 125} = 27,87 \text{ cm}^2$$

Armatures inférieures

$$\mu = \frac{15,68,53 \cdot 10^5}{2800 \cdot 180,3 \cdot (125)^2} = 0,01303 \quad \left\{ \begin{array}{l} k=83,5 \\ \xi=0,9492 \end{array} \right.$$

$$\sigma'_b = \frac{2800}{83,5} = 33,5 < \sigma'_b = 184 \text{ kg/cm}^2$$

$$A_c = \frac{68,53 \cdot 10^5}{2800 \cdot 0,9492 \cdot 125} = 20,63 \text{ cm}^2$$

Preise au compte de la torsion

Les sections sont majorées de 1,15% : $A_s = 1,15 \cdot 27,87 = 32 \text{ cm}^2$
 $A_c = 1,15 \cdot 20,63 = 23,72 \text{ cm}^2$

Sont donc :

$$A_s = 12 T20 (= 37,68 \text{ cm}^2)$$

$$A_c = 12 T16 (= 27,12 \text{ cm}^2)$$

Preise au compte des sections horizontales

On place des barres filantes horizontales HA12 le long des parois latérales pour améliorer la non fragilité du béton.

Effort tranchant

$$\bar{\tau}_b = \frac{T}{b \cdot z} \quad z = \frac{4}{8} h = 109,4 \text{ cm}$$

$$\bar{\tau}_b = \frac{1431,938 \cdot 10^3}{180,3 \cdot 109,4} = 7,25$$

$$\sigma'_b < \sigma_b \Rightarrow \bar{\tau}_b = 2,5 \bar{\sigma}_b = 20,78 \text{ kg/cm}^2$$

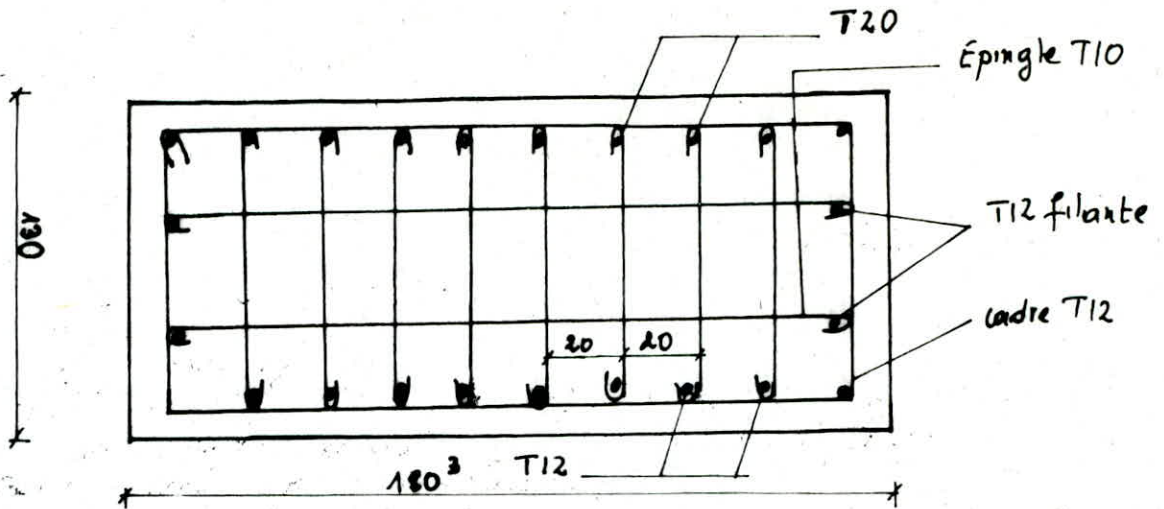
$$\tau < \bar{\tau}_b$$

Armatures transversales

On utilise les épaves $\phi 10$ perpendiculaire à la ligne moyenne

$$A_t = 9,36 \text{ cm}^2 \quad \rightarrow \quad t = \frac{9,36 \cdot 109,4}{285,55 \cdot 10^3}$$

$$t = 20 \text{ cm}$$



Mur garde grave

Le mur garde grave est soumis essentiellement à l'action des forces horizontales due au sol arrière :

- Poussée des terres
- Poussée des charges locales en arrière du mur
- Effort de freinage.

Évaluation des efforts

$$M_T = \frac{1}{6} k_a \cdot \rho \cdot h^3$$

avec $k_a = 0,33$ (coeff. de poussée)

$$M_T = \frac{1}{6} \cdot 0,33 \cdot 1,65^3$$

ρ : masse volumique
 $\rho = 2 \text{ t/m}^3$
 h : hauteur du garde-grave

$$M_T = 0,49 \text{ t.m/mL}$$

Poussée des charges locales

Pour $0,5 < h < 3 \text{ m}$ on a été vu que seule la sollicitation totale due aux lamions Bc (poussée des charges locales + freinage) était la plus défavorable. d'effet le plus défavorable et produit par les 2 roues arrière de 6t chacune de 2 lamions accolés placés de telle sorte que les rectangles d'impact soient au contact de la face arrière du garde-grave. Compte tenu de l'intensité de la transmission des efforts, les charges réelles de 6t sont remplacées par une zone uniforme équivalente de 12t répartie sur un rectangle de dimensions $0,25 \times 0,75 \text{ m}$.

On admet que la pression sur le rectangle d'impact ainsi défini se répartit $\propto x$ latéralement et en sens du mur. On a conséquemment le moment à l'encastrement à

$$M_p = 6k \int_{0,25}^h \frac{h-x}{0,25+x} dx$$

avec $K = K_a \cdot \gamma \cdot \delta \cdot b_c$

K_a : coefficient de poussée
 γ : coefficient de pondération
 $\delta = 1$ (coeff. de majoration dynamique pour charge sur roulement)
 $b_c = 1,1$ (coeff. de réduction)

$$K = 0,33 \cdot 1,2 \cdot 1 \cdot 1,1$$

$$K = 0,44$$

$$M_p / K = \frac{12}{0,25 + 2h} \int_0^h \frac{h-x}{0,25+x} dx \Rightarrow M_p = 2,87 \text{ t.m/mL}$$

Force de freinage

On considère un train lourd d'un camion B_c en contact du garde frein (6t)

$$M_F = \frac{6h}{0,25+2h} \gamma = \frac{6 \cdot 1,65 \cdot 1,2}{0,25 + 2 \cdot 1,65} =$$

$$M_F = 3,34 \text{ t.m/mL}$$

Moment total M:

$$M = M_T + M_p + M_F = 3,34 + 2,87 + 0,49$$

$$M = 6,7 \text{ t.m/mL}$$

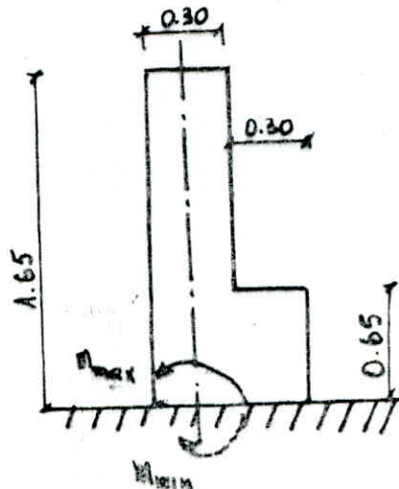
La formule approchée donne: $M = 2,5(h+1) = 6,625 \text{ t.m/mL}$

L'effet le plus défavorable est: $M = 6,7 \text{ t.m/mL}$

Le moment d'inclinaison dans le sens opposé est valeur 2:

$$M_{\min} = 3,34 - 0,49$$

$$M_{\min} = 2,85 \text{ t.m/mL}$$



Ferraillage

Ferraillage vert. (a)

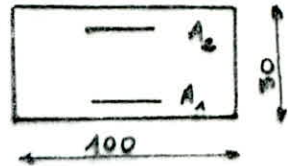
Face avant : $M_{max} = 6,4 \text{ t.m}$

$$\mu = \frac{15 \cdot 6,4 \cdot 10^5}{2800 \cdot 100 \cdot 26^2} = 0,0506 \quad \left\{ \begin{array}{l} \delta = 0,9056 \\ k = 38 \end{array} \right.$$

$$\sigma'_b = \frac{2800}{32} = 73,68 < \bar{\sigma}'_b$$

$$A_1 = \frac{6,4 \cdot 10^5}{2800 \cdot 0,9056 \cdot 26} = 9,71 \text{ cm}^2$$

10T12 = 11,3 cm² espaces de 10 cm



Face avant

$M_{min} = 2,85 \text{ t.m}$

$$\mu = \frac{2,85 \cdot 10^5}{2800 \cdot 100 \cdot 26^2} = 0,02258 \quad \left\{ \begin{array}{l} \delta = 0,9344 \\ k = 61,25 \end{array} \right.$$

$$\sigma'_b = \frac{2800}{61,25} = 45,71 \text{ kg/cm}^2 < \bar{\sigma}'_b = 484 \text{ kg/cm}^2$$

$$A_2 = \frac{2,85 \cdot 10^5}{2800 \cdot 0,9344 \cdot 26} = 4,19 \text{ cm}^2$$

Ou prend 8T12 = 5,66 cm² espaces de 10 cm

Ferraillage horizontal

On prend $\phi 10$ tous les 15 cm dans la mesure où $h < l < 2m$. Comme $h = 1,65 \text{ m}$ c'est le cas.

Mur en retour

Actions et sollicitations

Chaque mur en retour est soumis aux charges suivantes :

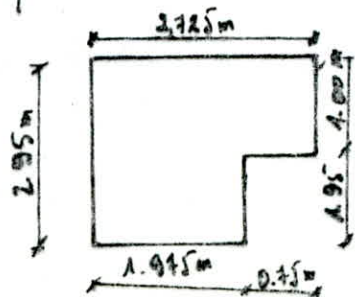
- poids propre
- poids de la superstructure soignée à 93 t.
- Poussée horizontale $(\frac{1}{2} + 0,5) (t/m^2)$
- Forces concentrées $F_v = 4t$ $F_H = 2t$ appliquées à 1m de l'extrémité théorique

Evaluation des efforts

l'évaluation se fait à partir de la section d'inclinaison $(e \cdot h_c = 0,4 \cdot 9,95)$

Force verticale

$$M_v = 1,5 \cdot \frac{12 \cdot h_c}{6} \cdot l + 93 \cdot \frac{l^2}{2} + 4(l-1)$$



$$T_v = 2,5 \cdot l \cdot \frac{h_t}{2} \cdot e + 0,5 \cdot l + 4$$

Force horizontale

$$M_H = \left(\frac{h_t}{3} + 0,5 \right) \frac{l^2 \cdot h_t}{6} + 2(l-1)$$

$$T_H = \left(\frac{h_t}{3} + 0,5 \right) \frac{2h_t}{6} + 2$$

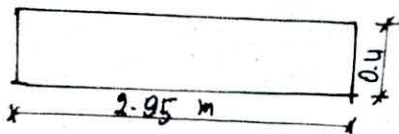
Application au projet

$$\left. \begin{aligned} l &= 2,425 \text{ m} \\ h_t &= 2,95 \text{ m} \\ e &= 0,4 \text{ m} \end{aligned} \right\}$$

	Axe horiz.	Axe. Vertic
M (E.m)	8,86	11,66
T (t)	3,99	8,84

Tableau récapitulatif de moments flexionnants et de effort tranchants

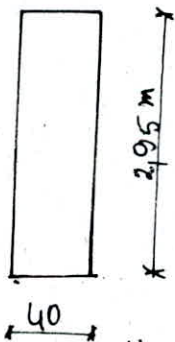
Ferraillage axe vertical



$$u = \frac{15 \cdot 11,66 \cdot 10^5}{2800 \cdot 2,95 \cdot (35)^2} = 0,0171 \quad \left\{ \begin{aligned} \xi &= 0,942 \\ k &= 71,5 \end{aligned} \right.$$

$$A = \frac{11,66 \cdot 10^5}{2800 \cdot 0,942 \cdot 2,95} = 1246 \text{ cm}^2 \quad \text{On prend } A_H = 10 T14 (A = 15396)$$

Axe horizontale



$$u = \frac{15 \cdot 8,86 \cdot 10^5}{2800 \cdot 40 \cdot 2,95^2} = 0,00136 \quad \left\{ \begin{aligned} \xi &= 0,9833 \\ k &= 298 \end{aligned} \right.$$

$$A = \frac{8,86 \cdot 10^5}{2800 \cdot 0,9833 \cdot 2,95} = 1,09 \text{ cm}^2$$

$$A_V = 2 T12 (2,26 \text{ cm}^2)$$

$$M_V = 11,66 \text{ E.m}$$

Section d'attache

$$u = \frac{11,66 \cdot 10^5 \cdot 15}{2800 \cdot (40 \cdot 125)^2} = 0,0099 \quad \left\{ \begin{aligned} \xi &= 0,9554 \\ k &= 97,0 \end{aligned} \right.$$

$$A = \frac{11,66 \cdot 10^5}{2800 \cdot 0,9554 \cdot 125} = 3,48 \text{ cm}^2$$

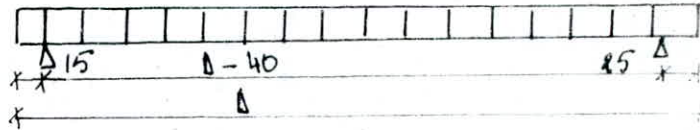
$$\sigma'_b = \frac{2800}{97} = 28,8 < \sigma'_b$$

$$A = 6712 (= 6,78 \text{ cm}^2)$$

Dalle de transition

Rôle C'est une dalle placée sous la chaussée aux entrées du pont. Sa présence a pour but d'éviter le dénivellement qui se produit entre la chaussée courante et celle du pont en cas de tassement de remblai.

Charge et surcharge



$$D = 6 \text{ m}$$

Charge permanente

poide propre: $q_1 = 2,5 \cdot 0,3 = 0,75 \text{ t/m}^2$
remblai: $q_2 = 1,2 \cdot 0,68 = 1,5 \text{ t/m}^2$

Surcharge: la plus défavorable

$$P = 2 \cdot 5,5 = 11 \text{ t/mL}$$

$$P_2 = 1,2 \cdot 7,5 = 9,0 \text{ t/mL}$$

Évaluation des effets

charges permanentes
moment:

$$M_g = \frac{(q_1 + q_2)(0,94)^2}{8} = \frac{(0,75 + 1,5)(6 - 0,94)^2}{8}$$

$$M_g = 8,82 \text{ t} \cdot \text{m/mL}$$

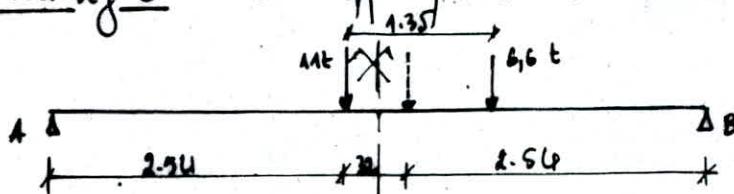
Effort tranchant

$$T_g = \frac{(q_1 + q_2)(0,94)}{2} = \frac{1}{2}(0,75 + 1,5)(6 - 0,94)$$

$$T_g = 3,15 \text{ t/mL}$$

Surcharge

En appliquant le théorème de Bresse, nous avons



$$P_s = \frac{1}{5,6} \cdot 17,6 \cdot 2,54 = 7,98 \text{ t/mL}$$

$$M_s = 7,98 \cdot 2,54 = 20,27 \text{ t} \cdot \text{m/mL}$$

Effort tranchant: $T_s = 16,01 \text{ t/mL}$

Efforts maximums

$$M = M_g + M_s = 8,22 + 20,27 = 29,02 \text{ t.m/mL}$$

$$T = T_g + T_s = 16,01 + 3,15 = 19,15 \text{ t/mL}$$

Finna Nagel

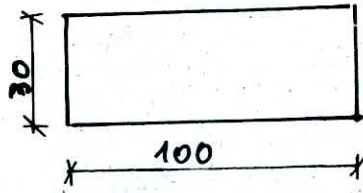
$$\phi = 20 \text{ mm} \Rightarrow \gamma_{cm} = 4200 \text{ kg/cm}^2$$

$$\mu = \frac{15 \cdot 29,02 \cdot 10^5}{2850 \cdot 100 \cdot 27^2} = 0,232$$

$$\left\{ \begin{array}{l} k = 14,78 \\ \xi = 0,8321 \end{array} \right.$$

$$A = \frac{29,02 \cdot 10^5}{2850 \cdot 0,8321 \cdot 27} = 46 \text{ cm}^2$$

Qu prind 20 ϕ 12 .



CALCUL DES FONDATIONS

Capacité portante des pieux

hypothèse générale
 les pieux sont enfoncés au les strikes et travaillent donc en pointe.
 les alluvions traversées ne sont pas des terrains transpressibles. Il n'y a donc pas de frottements négatifs. Pour nous placer dans la sécurité, les frottements seront négligés.

méthode de Terzaghi

$$q_p = 0,3 \cdot \gamma \cdot B N_\gamma + \gamma D_f N_q + 1,3 C N_c \quad \text{avec } D_f = \text{longueur du pieu}$$

B: diamètre du pieu

$$c = 5 \text{ t/m}^3 \quad \rightarrow \quad N_c = 30 \quad N_q = 20 \quad N_\gamma = 22,7$$

$$\varphi = 30^\circ$$

Pour $D_f = 15,6 \text{ m} \quad B = 1,2 \text{ m} \quad \gamma = 2 \text{ t/m}^3 \quad \gamma' = 1 \text{ t/m}^3$

ou a:

$$q_p = 0,3 \cdot 2 \cdot 1,2 \cdot 22,7 + 2 \cdot 15,6 \cdot 20 \cdot 1,3 + 1,3 \cdot 5 \cdot 30$$

$$q_p = 323,34 \text{ t/m}^2 \quad q_r = \frac{323,34}{3} = 261,67 \text{ t/m}^2$$

la hauteur critique :

$$h_c = \frac{B}{11} \cdot N_q^{2/3} = 1,2 \cdot (20)^{2/3} = 2,2 < D_f$$

ou prend : $N_q = 10^{3,04 \cdot \varphi} = 56,9$

d'où $q_p = 1099,98 \text{ t/m}^2$

$$q_r = 549,99 \text{ t/m}^2$$

Actions sur les pieux

Efforts horizontaux et verticaux

Condition normale	H(t)	R(t)	d(m)	M/0(t.m)
chevêtre	-	68,25	0,375	25,605
Mur garde quai + orbecau	-	26	0,227	21,502
Murettes à ailes	-	6,4	1,89	2,09
Dalle de transition	-	26,23	0,94	22,203
Poids du tublier	-	210,03	-	-
Futs	-	47,58	-	-
Jemelle 1,5.2,5.10,28.6,0	-	231,3	-	-
Terre sur Jemelle	-	49,14	0,41	20,1
Poussée des terres	30,15	-	7,61	-229,44
Vibrations linéaires	7,58	-	7,27	-55,11
Surcharge de remblais	-	37,8	-	-
Surcharge Pontons	-	107,92	-	-
Freinage	12,57	-	7,27	-83,93
Total en charge	50,11	810,09	-	-272,97

Sollicitation de 1^{er} ordre

Effort horizontal :

$$H_{\max} = \frac{50,11}{6} = 8,35 \text{ t}$$

Effort vertical

$$F_{\max} = \frac{810,09}{6} + \frac{272,97}{3 \cdot 3,6} = 160,41 \text{ t}$$

$$F_{\min} = \frac{810,09}{6} - \frac{272,97}{3 \cdot 3,6} = 104,8 \text{ t}$$

Ou on : $H = 8,55 \text{ t}$

$R = 160,41 \text{ t}$

Moment de l'eq de base : $\lambda = 0,2647$
 $\lambda_1 = 3,335$

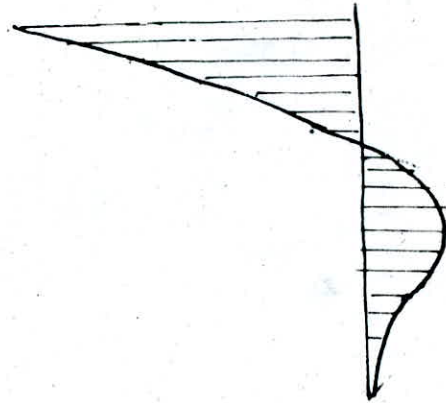
$X_{MH} = 1,193$

$X_{MM} = 1,500$

$M^* = - 1,193 \cdot 8,55 - 1,5 \cdot 0,2647 = - 25,08 \text{ t}\cdot\text{m}$

d'où $M(X/e) = 31,54 X_{MH} - 25,08 X_{MM}$

X/e	X _{MH}	X _{MM}	M(X/e) (t·m)
0,0	0,00	1,00	-25,08
0,1	0,30	0,98	-15,61
0,2	0,52	0,91	-6,42
0,3	0,51	0,77	-3,22
0,4	0,58	0,60	3,24
0,5	0,50	0,43	4,98
0,6	0,36	0,27	4,54
0,7	0,22	0,16	2,92
0,8	0,11	0,06	1,6



Dimensionnement :

En tête de pieu : $N_{max} = 160,41 \text{ t}$

$H = 8,55 \text{ t}$

$M = 25 \text{ t}\cdot\text{m}$

$\delta = \frac{d}{R} = 0,05$

$\rho_0 = \frac{M}{N} = 15,58 > \frac{K}{4}$

section partiellement comprimée.

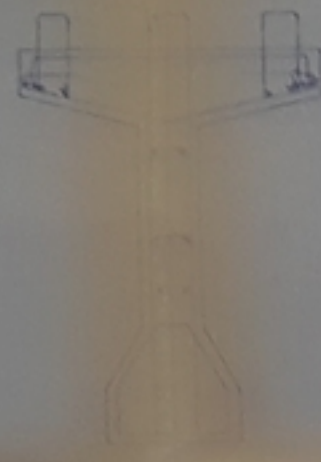
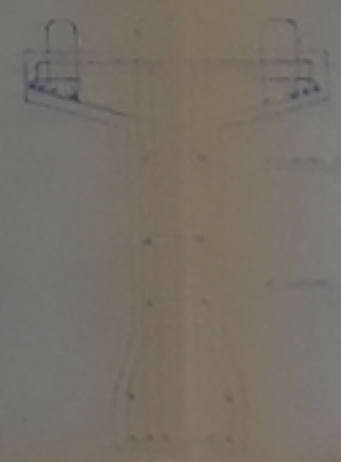
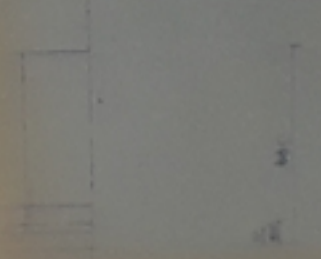
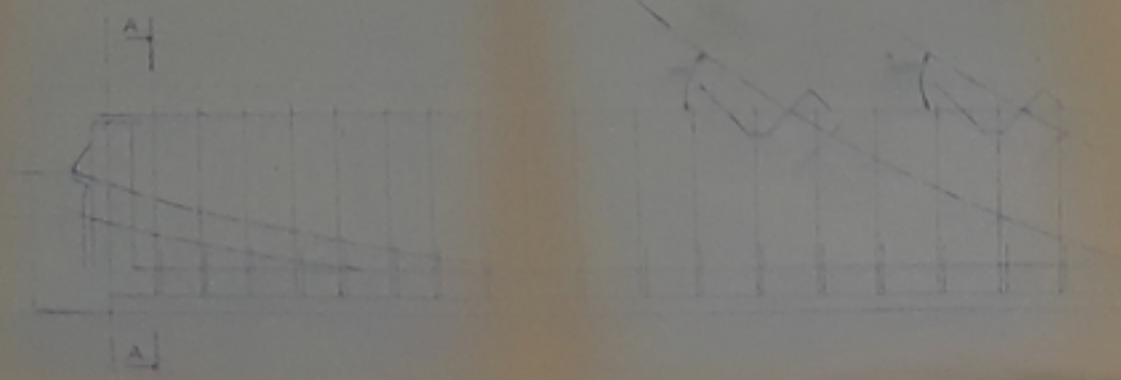
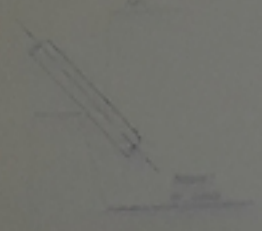
$\left. \begin{matrix} k_1 = 1,58 \\ k_2 = 0,08 \end{matrix} \right\} \Rightarrow w = 0,6 \%$

$A = \frac{w \cdot N^2}{\sigma_{sd}} = 73,6 \text{ cm}^2$

On prend $24T20 = 75,36 \text{ cm}^2$

BIBLIOGRAPHIE

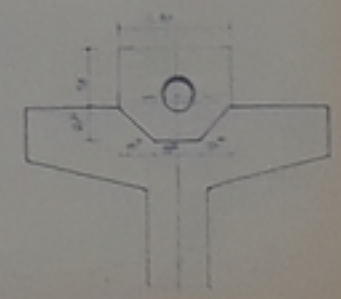
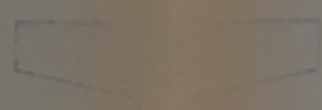
- Regles techniques de conception et de calcul des ouvrages en beton arme. (C.C.B.A 68)
- DREUX G
"Pratique du beton pretoutrait"
edition Eyrolles, 1979.
- BARES MASSONNET
Calcul des grillages de poutre et dalles orthotropes"
Charon P.
"de calcul et la verification des ouvrages en beton arme"
- DAVIDOVICI Y
"Beton arme, collection aide-memoire" edition Eyrolles
Ministere des travaux Publics
"Cahier de prescriptions communes"
- Ministère des transports
"Instructions provisoires no 1. et 2 sur l'emploi du beton pretoutrait"
- WERNER H.
"Beton und stahl. beton bau"
H et F Bauaktienge Sellschaft MUNCHEN 1970
- SETRA (service d'etudes techniques des routes et auto routes "
FRANCE. Publication SETRA
Octobre 1977



ANCIAGE

CHASSE EN MO

CHASSE EN MO



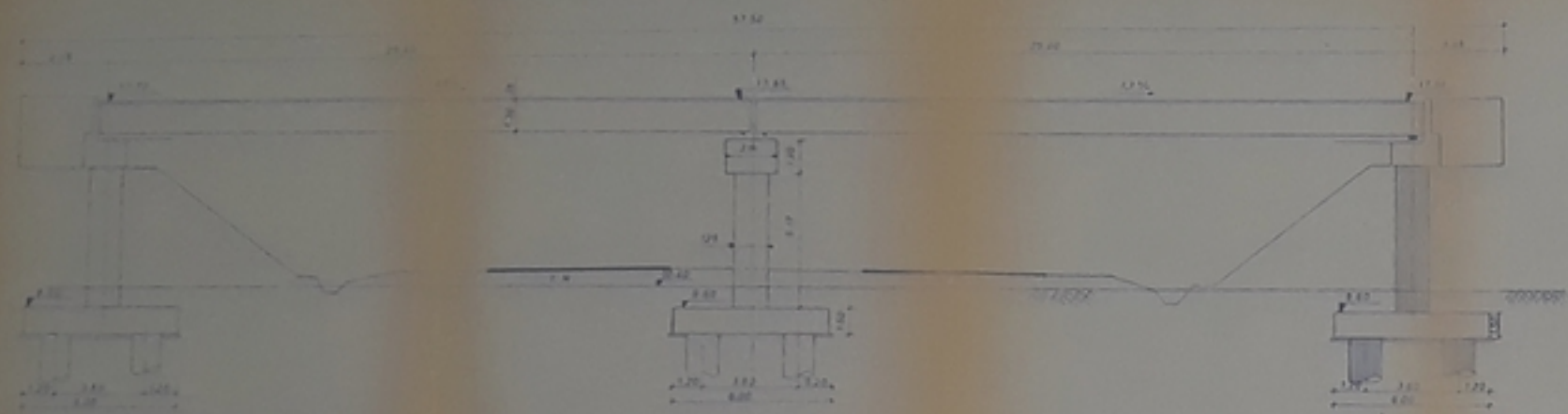
110245

-A-

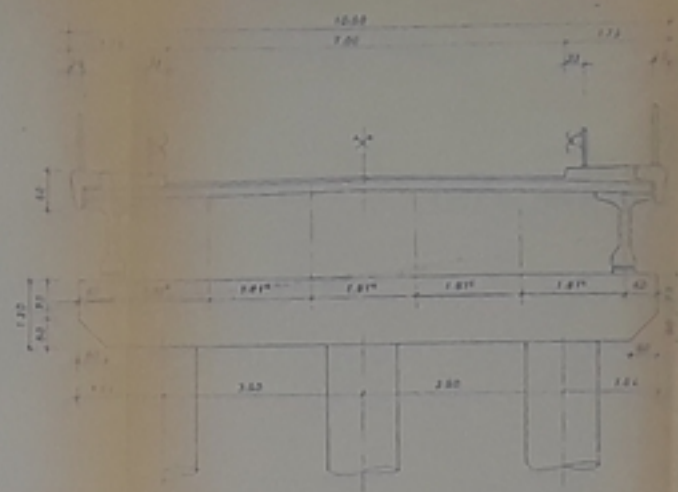


PROJET DE CONSTRUCTION
DE LA S.N.P.
PARALLÈLE OMBRE PORTÉ
L'ÉTAT DE LA CONSTRUCTION

COUPE LONGITUDINALE

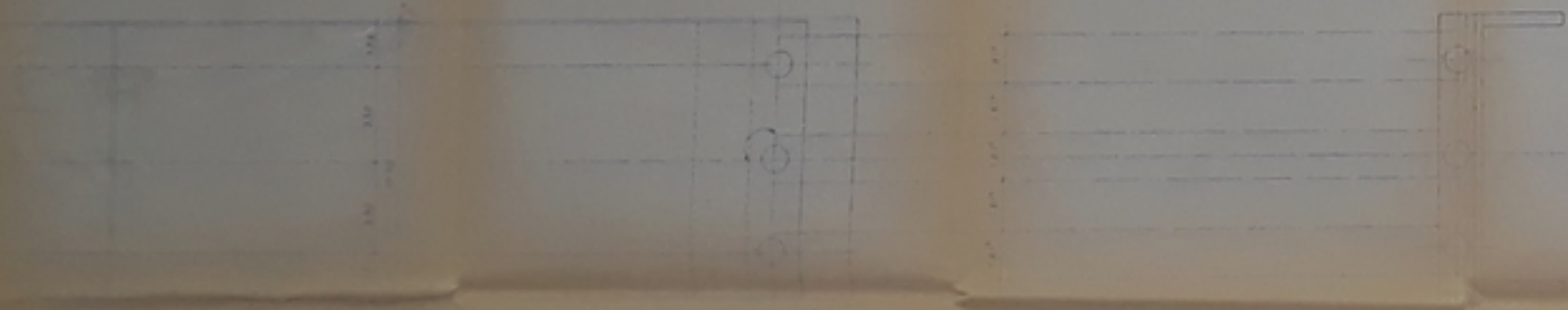


COUPE TRANSVERSALE

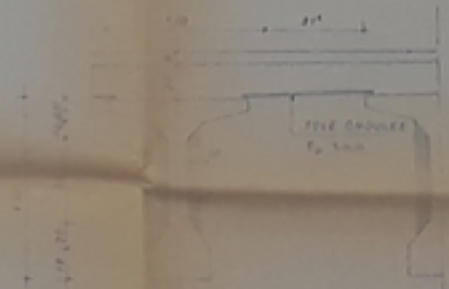


NB LA RAMPE DU PONT EST IDENTIQUE A LA
RAMPE DE L'OA ME HAI

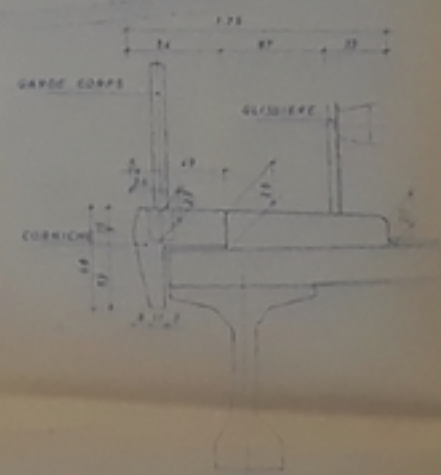
VUE EN PLAN



DETAIL POUTRE

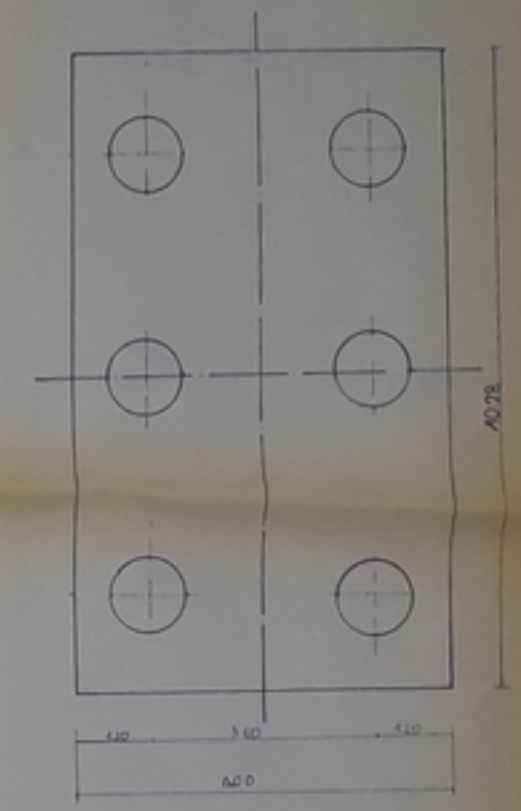
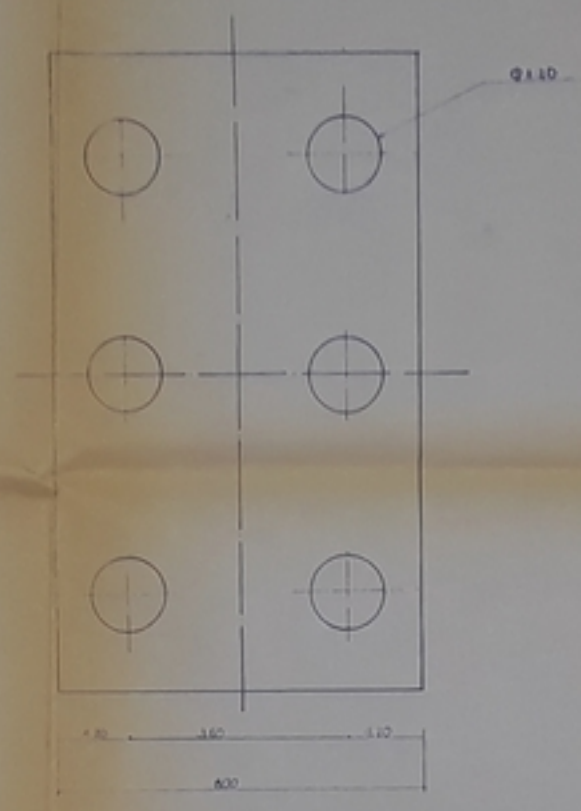
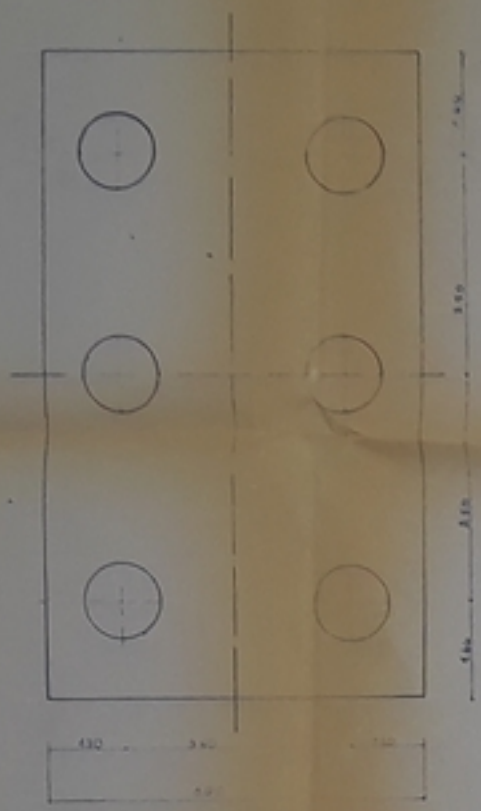


DETAIL TROTTOIR



PROJETS
- 2 -

PLAN D'ENSEMBLE



25.40

25.40

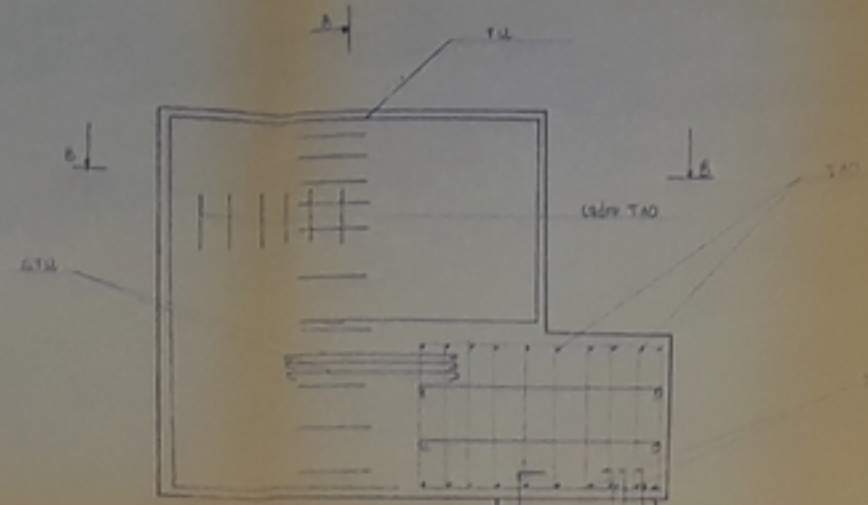


PR03498
- 3 -

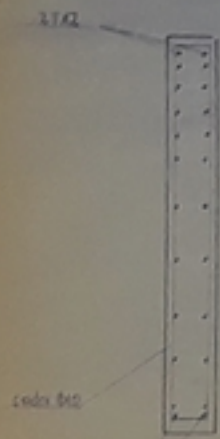
republique algérienne démocratique et populaire
E N P
PLAN DE BATTAGE
proposé : ENGUA étudié : A. TAGUINE dirigé : M. ZOUKH JUIN 88



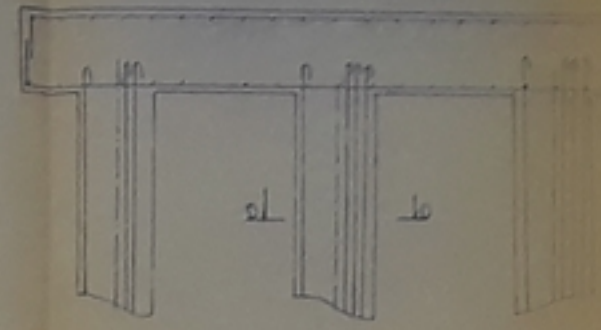
COUPE 11



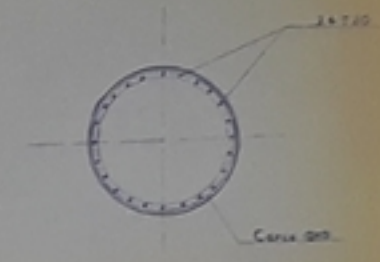
COUPE A A



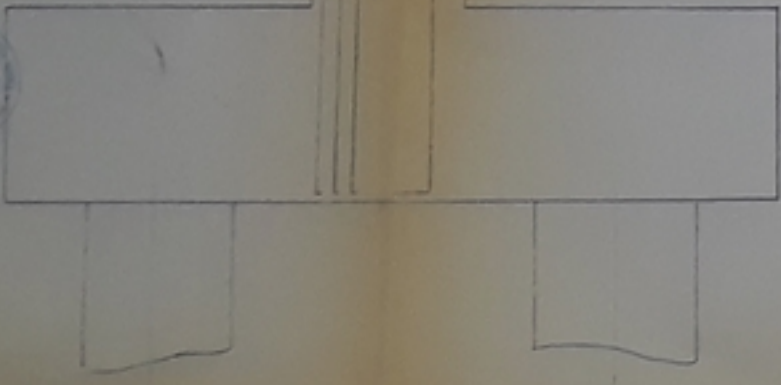
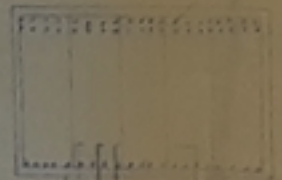
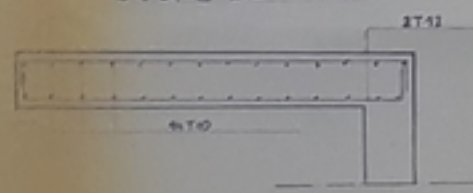
COUPE C C



COUPE D D



COUPE B B



REPUBLIQUE ALGERIENNE DEMOCRATIQUE
 ET POPULAIRE E.N.P.

FERRAILLAGE PILE CLASS

Superviseur	etude	longe	date
INGOA	ATAGINE	MZOUARH	1988

